



**UNIVERSIDADE FEDERAL DO CEARÁ**  
**CENTRO DE CIÊNCIAS**  
**DEPARTAMENTO DE MATEMÁTICA**  
**PROGRAMA DE PÓS-GRADUAÇÃO EM MATEMÁTICA**  
**DOUTORADO EM MATEMÁTICA**

**DAVI LOPES ALVES DE MEDEIROS**

**GEOMETRIA LIPSCHITZ AMBIENTE DAS SUPERFÍCIES NORMALMENTE  
MERGULHADAS**

**FORTALEZA**

**2023**

DAVI LOPES ALVES DE MEDEIROS

GEOMETRIA LIPSCHITZ AMBIENTE DAS SUPERFÍCIES NORMALMENTE  
MERGULHADAS

Tese apresentada ao Programa de Pós-Graduação em Matemática do Centro de Ciências da Universidade Federal do Ceará, como requisito parcial à obtenção do título de doutor em Matemática. Área de Concentração: Singularidades

Orientador: Prof. Dr. Lev Birbrair

FORTALEZA

2023

Dados Internacionais de Catalogação na Publicação  
Universidade Federal do Ceará  
Sistema de Bibliotecas  
Gerada automaticamente pelo módulo Catalog, mediante os dados fornecidos pelo(a) autor(a)

---

- M438g Medeiros, Davi Lopes Alves de.  
Geometria Lipschitz ambiente das superfícies normalmente mergulhadas / Davi Lopes Alves de Medeiros. – 2023.  
112 f. : il. color.
- Tese (doutorado) – Universidade Federal do Ceará, Centro de Ciências, Programa de Pós-Graduação em Matemática, Fortaleza, 2023.  
Orientação: Prof. Dr. Lev Birbrair.
1. Geometria Lipschitz. 2. Mergulho normal. 3. Singularidade de superfícies. 4. Nós métricos. I. Título.  
CDD 510
-

DAVI LOPES ALVES DE MEDEIROS

GEOMETRIA LIPSCHITZ AMBIENTE DAS SUPERFÍCIES NORMALMENTE  
MERGULHADAS

Tese apresentada ao Programa de Pós-Graduação em Matemática do Centro de Ciências da Universidade Federal do Ceará, como requisito parcial à obtenção do título de doutor em Matemática. Área de Concentração: Singularidades

Aprovada em: 01/06/2023.

BANCA EXAMINADORA

---

Prof. Dr. Lev Birbrair (Orientador)  
Universidade Federal do Ceará (UFC)

---

Prof. Dr. Alexandre César Gurgel Fernandes  
Universidade Federal do Ceará (UFC)

---

Prof. Dr. José Edson Sampaio  
Universidade Federal do Ceará (UFC)

---

Prof. Dr. Juan José Nuño Ballesteros  
Universitat de València (UV)

---

Prof. Dr. Maciej Denkowski  
Jagiellonian University (JU)

---

Prof. Dr. Rodrigo Mendes Pereira  
Universidade da Integração Internacional da Lusofonia  
Afro-brasileira (UNILAB)

Dedico este trabalho a Deus, minha família e meus amigos.

## AGRADECIMENTOS

À Deus, pelo milagre da minha existência, e por amar e cuidar de mim em todos os momentos, mesmo sendo eu um mísero pecador, mas que admira a Sua Divina Perfeição, transcrita em todas as coisas por meio da matemática, alfabeto que Ele utilizou para escrever o universo.

Aos meus pais, Francisca e Tarciso, por todo o amor, educação, paciência e dedicação. Ao meu irmão Daniel, por ser o primeiro a acreditar no meu potencial para a matemática, à minha irmã Débora, por seu exemplo de resiliência, e à minha caçulinha Dâmaris, pelos momentos divertidos jogando videogame e batendo papo sobre a vida.

À minha amada esposa, Valeska Kilvia, por toda a serenidade, compreensão e incentivo a seguir com o doutorado até o fim. Que o nosso amor prospere por toda a eternidade, e que os nossos frutos sejam abençoados, assim como Deus me abençoou com a dádiva de ter você na minha vida. Ao nosso filho Miguel, que ainda está no ventre, mas que eu já amo imensamente.

Ao meu orientador Lev Birbrair, por todo o apoio durante esse doutorado, sempre acreditando na minha capacidade de vencer desafios e resolver problemas difíceis, mesmo quando o desânimo e o cansaço tomaram conta de mim durante a pandemia.

Aos professores Alexandre Fernandes, Edson Sampaio e Rodrigo Mendes, por todas as sugestões e correções que elevaram o nível desta tese. Agradeço também aos demais membros da banca, Juan José Ballesteros e Maciej Denkowski, por conseguirem um espaço em suas agendas tão lotadas, para apreciarem meu trabalho.

Aos meus amigos e colegas de doutorado, pelos momentos incríveis e divertidos que compartilhamos dentro e fora dessa universidade. Desejo a vocês todo o sucesso do mundo. Aos professores da PGMAT-UFC, pelo ensino e orientação, e que Deus continue iluminando cada vez mais o dom do magistério em vocês.

Aos professores, coordenadores e diretores do Farias Brito, por ser como uma segunda família que me acolheu e me ajudou a crescer profissionalmente no mundo do ensino. A sabedoria que vocês me passaram e os momentos alegres e vitoriosos estarão eternamente vivos em meu coração.

Aos amigos internautas do meu canal do Youtube e do Instagram. Mesmo eu publicando vídeos e materiais com a frequência totalmente irregular, vocês ainda continuam me seguindo, apoiando e curtindo meu trabalho. A energia positiva que vocês exalam é a força que me faz buscar sempre ser um campeão, mesmo sendo eu um mero matemático por diversão.

Às secretárias Andréia e Jessyca, pela agilidade e pela disposição em colocar os trâmites desta tese em ordem. À bibliotecária Diana Flor, por todo o auxílio prestado em ajustar esta tese para atender às normas técnicas.

O presente trabalho foi realizado com apoio da Coordenação de Aperfeiçoamento de Pessoal de Nível Superior – Brasil (CAPES) – Código de Financiamento 001.

“Shakespeare foi otimista quando se sentiu pessimista. Isto é a definição de uma fé. Fé é aquilo capaz de sobreviver a um estado de ânimo.”(G. K. CHESTERTON)



## RESUMO

Neste texto, é estudada a geometria Lipschitz ambiente de superfícies definíveis em estruturas o-minimais sobre os reais polinomialmente limitadas, com ênfase das superfícies semialgébricas. É demonstrado que se um germe de superfície semialgébrica normalmente mergulhado em  $\mathbb{R}^3$  possui link simples, isto é, isomorfo a um segmento ou a um círculo, então tal superfície é ambiente bi-Lipschitz equivalente a um triângulo de Hölder no primeiro caso, ou a uma corneta, no segundo caso.

**Palavras-chave:** geometria Lipschitz; mergulho normal; singularidade de superfícies; nós métricos.

## ABSTRACT

In this paper, it is studied ambient Lipschitz geometry of definable surfaces in a polynomially bounded o-minimal structure over the reals, with emphasis on semialgebraic surfaces. We show that if a semialgebraic, normally embedded surface germ in  $\mathbb{R}^3$  has a simple link, that is, isomorphic to either a segment or a circle, then such surface is ambient bi-Lipschitz equivalent to a Hölder triangle in the first case, or to a horn in the second case.

**Keywords:** Lipschitz geometry; normal embedding; surface singularities; metric knots.

## LISTA DE FIGURAS

Figura 1 – Demonstração da Proposição 2.2.10 . . . . .	27
Figura 2 – Representações geométricas dos Exemplos 2.2.15 e 2.2.16 . . . . .	31
Figura 3 – Link das superfícies (a) $X_1$ e (b) $X_2$ da Observação 2.3.4 . . . . .	34
Figura 4 – Representação gráfica de $C_a^{n+1}$ , $-C_a^{n+1}$ , $C_a^{n+1}(R)$ e $U_a^{n+1}(R)$ . . . . .	42
Figura 5 – Demonstração da Proposição 3.1.3 . . . . .	45
Figura 6 – Demonstração da Afirmação 3.2.2 . . . . .	48
Figura 7 – Representações gráficas do Lema 3.2.1 (esquerda) e Lema 3.2.3 (direita) . . . . .	52
Figura 8 – Germe de triângulo sincronizado . . . . .	53
Figura 9 – Retângulo curvilíneo delimitado por $(T_1, 0)$ , $(T_2, 0)$ . . . . .	56
Figura 10 – Demonstração da Proposição 4.3.1 . . . . .	64
Figura 11 – Decomposição pelos arcos determinados por $A$ . . . . .	66
Figura 12 – Ajuste do ângulo para a decomposição $\delta$ -convexa em germe convexo . . . . .	67
Figura 13 – Decomposição $\delta$ -convexa num triângulo sincronizado . . . . .	67
Figura 14 – Descrição geométrica da aplicação $\varphi_1$ . . . . .	72
Figura 15 – Demonstração da Proposição 5.2.3 . . . . .	78
Figura 16 – Representação geométrica da $\delta$ -envoltória de suporte de $(T, 0)$ . . . . .	81
Figura 17 – Representação gráfica do Exemplo 6.1.4 . . . . .	82
Figura 18 – Representação gráfica do Exemplo 6.1.5 . . . . .	83
Figura 19 – Resolução do caso 2 da Proposição 6.2.1 . . . . .	86
Figura 20 – $\theta$ -envoltória de amassamento de $Y = \overline{\gamma_1 \gamma_2} \cup \overline{\gamma_2 \gamma_3}$ . . . . .	87
Figura 21 – Construção da $\delta$ -envoltória de suporte de $\Gamma_i(t)$ . . . . .	88
Figura 22 – "Amassamento" dos arcos $\Gamma_1, \Gamma_2, \Gamma_3$ no caso 1. . . . .	89
Figura 23 – $\delta$ -envoltórias e "amassamentos" no caso 2 . . . . .	90
Figura 24 – Prova de que $U_i(t) \cap U_j(t)$ é um ponto de arco de fronteira, ou vazio . . . . .	91
Figura 25 – Demonstração da Proposição 6.2.5 . . . . .	91
Figura 26 – Demonstração do Lema 7.1.2 . . . . .	93
Figura 27 – Determinação das ordens de contato no Lema 7.1.3 . . . . .	95
Figura 28 – Demonstração da Afirmação 7.1.4, caso 1 . . . . .	97
Figura 29 – Demonstração da Afirmação 7.1.4, caso 2 . . . . .	97
Figura 30 – Demonstração do Lema 7.1.3 . . . . .	98
Figura 31 – Resolução do caso $\gamma_{i-1} \gamma_i \gamma_{i+1} = \pi$ da Proposição 7.2.1 . . . . .	100

Figura 32 – Exemplos de triangulações de links de superfícies poligonais . . . . .	101
Figura 33 – Resolução do caso 1.1 da Proposição 7.2.1 . . . . .	102
Figura 34 – Transformação de $(X, 0)$ em poligonal não degenerada . . . . .	103
Figura 35 – Resolução do caso 2.3.1 da Proposição 7.2.1 . . . . .	104
Figura 36 – Resolução do caso 2.3.3 da Proposição 7.2.1 . . . . .	106
Figura 37 – Representação Gráfica de $X(t)$ . . . . .	109

## SUMÁRIO

1	<b>INTRODUÇÃO</b>	13
2	<b>PRELIMINARES</b>	16
2.1	<b>Fundamentos de geometria semialgébrica real</b>	16
2.1.1	<i>Conjuntos semialgébricos</i>	16
2.1.2	<i>Séries de Puiseux e diferenciabilidade</i>	19
2.1.3	<i>Complexos simpliciais e estrutura local</i>	20
2.2	<b>Excertos de geometria Lipschitz</b>	23
2.2.1	<i>Aplicações bi-Lipschitz em espaços métricos</i>	23
2.2.2	<i>Métricas exterior, intrínseca e ambiente</i>	24
2.2.3	<i>Diferenciabilidade em aplicações bi-Lipschitz</i>	27
2.2.4	<i>Conjuntos normalmente mergulhados</i>	30
2.3	<b>Geometria Lipschitz das superfícies</b>	33
2.3.1	<i>Equivalências bi-Lipschitz</i>	33
2.3.2	<i>Arcos, triângulos de Hölder e cornetas</i>	35
2.3.3	<i>Complexos de Hölder e operações</i>	37
2.3.4	<i>Teoremas de classificação e realização</i>	39
3	<b>LEMAS TÉCNICOS EM GEOMETRIA LIPSCHITZ AMBIENTE</b>	42
3.1	<b>Redução a links planos</b>	42
3.2	<b>Lemas de translação e rotação</b>	46
4	<b>TRIÂNGULOS SINCRONIZADOS E APLICAÇÕES</b>	53
4.1	<b>Definições e exemplos</b>	53
4.2	<b>Propriedades básicas</b>	57
4.3	<b>Decomposição convexa</b>	62
5	<b>ISOTOPIA BI-LIPSCHITZ AMBIENTE</b>	68
5.1	<b>Isotopia ambiente em retângulos curvilíneos</b>	68
5.2	<b>Triângulos lineares delimitados por arcos</b>	76
6	<b>TRIÂNGULOS AMASSÁVEIS E APLICAÇÕES</b>	80
6.1	<b>Definições, exemplos e propriedades básicas</b>	80
6.2	<b>Reduções a triângulos lineares</b>	85
7	<b>SUPERFÍCIES POLIGONAIS E MERGULHO NORMAL</b>	92

<b>7.1</b>	<b>Definições e lemas preliminares . . . . .</b>	<b>92</b>
<b>7.2</b>	<b>Reduções de arestas em superfícies poligonais . . . . .</b>	<b>99</b>
<b>7.3</b>	<b>Resultado principal . . . . .</b>	<b>107</b>
<b>8</b>	<b>CONCLUSÕES E TRABALHOS FUTUROS . . . . .</b>	<b>108</b>
	<b>REFERÊNCIAS . . . . .</b>	<b>111</b>

## 1 INTRODUÇÃO

A Geometria Lipschitz é uma área na Matemática que busca compreender a geometria das variedades métricas através de um ponto de vista analítico. Nas últimas décadas, essa teoria experimentou um rápido desenvolvimento no estudo de conjuntos e funções semialgébricas, ou, mais geralmente, conjuntos e funções definíveis em uma estrutura o-minimal polinomialmente limitada. A compreensão geométrica de tais conceitos tem se mostrado muito relevantes em diversos campos, como teoria de singularidades, teoria das folheações, análise e topologia. Uma das principais questões abordadas pela Geometria Lipschitz é a classificação de singularidades mediante equivalência bi-Lipschitz. Tal problema é uma fonte prolífica de pesquisa, uma vez que a equivalência bi-Lipschitz é uma classificação intermediária entre a equivalência bi-regular, que é muito restritiva, e a equivalência topológica, que é muito abrangente. Dado um conjunto semialgébrico conexo  $X \subseteq \mathbb{R}^n$  (ou um conjunto subanalítico em  $\mathbb{C}^n$ ), existem duas métricas naturais sobre ele: a métrica intrínseca, que é definida como o ínfimo dos comprimentos das curvas que conectam dois pontos em  $X$ , e a métrica exterior, que é a distância euclidiana em  $\mathbb{R}^n$  (ou  $\mathbb{C}^n$ ), conectando dois pontos em  $X$ . Dessa forma, podemos classificar conjuntos  $X$  e  $Y$  como bi-Lipschitz equivalentes na métrica intrínseca ou exterior, se existe uma aplicação  $\varphi : X \rightarrow Y$  que é Lipschitz em uma dessas duas métricas, e cuja aplicação inversa possui a mesma propriedade. Podemos ainda classificar conjuntos  $X$  e  $Y$  como ambiente bi-Lipschitz equivalentes se existir uma aplicação  $\varphi : \mathbb{R}^n \rightarrow \mathbb{R}^n$  (ou  $\varphi : \mathbb{C}^n \rightarrow \mathbb{C}^n$ ) bi-Lipschitz exterior, tal que  $\varphi(X) = Y$ .

A compreensão dessas equivalências bi-Lipschitz é fundamental para entender como os conjuntos semialgébricos e subanalíticos “distorcem” o espaço ambiente em que eles estão, bem como eles “entrelaçam” entre si. O primeiro resultado dessa natureza a se ter notícia foi o artigo de Pham e Teissier (PHAM; TEISSIER, 1969), onde foi demonstrado que dois germes de curvas complexas algébricas planas são meromorficamente (pela métrica exterior) bi-Lipschitz equivalentes se, e somente se, são bi-Lipschitz ambiente equivalentes. O entendimento de como são tais aplicações bi-Lipschitz é igualmente importante, e seu estudo é objeto de ampla pesquisa. Em (FERNANDES, 2003), Fernandes melhorou tal resultado, assumindo a condição de que o homeomorfismo bi-Lipschitz entre os germes de curvas pode ser subanalítico. Em (NEUMANN; PICHON, 2014), Neumann e Pichon provaram que a condição de o homeomorfismo ser subanalítico não era necessária para obter a equivalência ambiente entre curvas, e em (FERNANDES *et al.*, 2018), Fernandes, Sampaio e Silva provaram que a classe de equivalência bi-Lipschitz

de germes de curvas complexas planas é completamente determinada pelos pares essenciais de Puiseux dos seus ramos irreduzíveis, e pela ordem de contato entre os ramos.

No que diz respeito à equivalências bi-Lipschitz entre superfícies definíveis reais, as ideias seminais de equisingularidade e estratificação Lipschitz foram desenvolvidas por Mostowski em (MOSTOWSKI, 1985) e por Parusinski em (PARUSIŃSKI, 1994). Os teoremas de finitude obtidos nesses trabalhos motivaram pesquisas em busca de classificações bi-Lipschitz de germes de superfícies semialgêbricas reais. Em (BIRBRAIR, 1999), Birbrair utilizou os conceitos de complexos de Hölder para estabelecer uma classificação completa de germes de superfícies semialgêbricas reais 2-dimensionais fechadas sob equivalência bi-Lipschitz intrínseca. A classificação de tais germes sob equivalência bi-Lipschitz exterior e ambiente, entretanto, é um problema mais profundo, e uma breve análise dos avanços obtidos nessa questão é realizada no Capítulo 2, subseção 2.3.4. Um tipo específico de superfícies, que é objeto de intensa pesquisa nos últimos anos e em que o referido problema de classificação demonstra progressos promissores são as superfícies normalmente mergulhadas, isto é, superfícies onde as métricas intrínseca e exterior são equivalentes. Essas superfícies “distorcem” de modo mais rígido o espaço ambiente, de modo que a classificação de superfícies sob equivalência bi-Lipschitz ambiente é simplificada nesse caso. A presente tese visa estudar essa questão no caso de germes de superfícies normalmente mergulhadas em  $\mathbb{R}^3$ , com link simples, isto é, homeomorfo a  $[0, 1]$  ou a  $\mathbb{S}^1$ . De modo mais preciso, objetiva-se aqui demonstrar o seguinte teorema:

**Teorema 1.0.1.** *Seja  $(X, 0) \subset (\mathbb{R}^3, 0)$  um germe de superfície semialgêbrica normalmente mergulhado.*

1. *Se o link de  $X$  é homeomorfo a  $[0, 1]$ , então  $(T, 0)$  é bi-Lipschitz ambiente equivalente ao germe de um  $\alpha$ -triângulo de Hölder com vértice principal na origem, para algum racional  $\alpha \geq 1$ .*
2. *Se o link de  $X$  é homeomorfo a  $\mathbb{S}^1$ , então  $(T, 0)$  é bi-Lipschitz ambiente equivalente ao germe da  $\beta$ -corneta padrão  $(H_\beta, 0)$ , para algum racional  $\beta \geq 1$ .*

No Capítulo 2, são estabelecidos os conceitos preliminares para a devida compreensão desta tese. Na seção 2.1, é dada uma ênfase a resultados clássicos de geometria semialgêbrica real; na seção 2.2 são definidos alguns dos fundamentos de geometria Lipschitz e de conjuntos normalmente mergulhados, e também são demonstrados proposições básicas para os propósitos de nosso trabalho; na seção 2.3 é realizado um estudo introdutório com ênfase específica na geometria Lipschitz das superfícies.



No Capítulo 3, é demonstrado que o problema de classificação bi-Lipschitz ambiente pode ser reduzido à análise de superfícies no interior de cones adequadamente escolhidos, bem como a manipulação delas ao longo de links planos. No mesmo capítulo, desenvolvemos alguns lemas que nos permitem realizar translações e dilatações como aplicações bi-Lipschitz ambiente em tais cones.

No Capítulo 4, são introduzidos os conceitos elementares envolvendo triângulos sincronizados, retângulos curvilineares e regiões delimitadas por dois triângulos sincronizados. As propriedades básicas de tais elementos também são desenvolvidas nessa parte, bem como a demonstração de que toda superfície semialgébrica admite uma decomposição convexa.

O Capítulo 5 é o coração da presente tese, uma vez que nele é estabelecida a isotopia bi-Lipschitz ambiente e condições suficientes para a referida aplicação acontecer, o que permite analisar o problema de classificação bi-Lipschitz ambiente em superfícies de maneira local nos links planos. Dentre as várias aplicações dessa técnica, é realizada neste capítulo uma demonstração de que todo triângulo linear delimitado por arcos é ambiente bi-Lipschitz equivalente a um triângulo de Hölder padrão.

No Capítulo 6, a noção de triângulos amassáveis é feita, motivada pela isotopia bi-Lipschitz ambiente, e alguns exemplos e propriedades básicas acerca deles são provados, com ênfase no fato de que todo triângulo sincronizado é amassável. Ao final, é demonstrado que o problema de classificação bi-Lipschitz ambiente para superfícies normalmente mergulhadas em  $\mathbb{R}^3$  é reduzido ao caso em que tal superfície é a união de triângulos lineares, e resolvemos tal problema no caso específico de a superfície ser a união de três desses triângulos.

No Capítulo 7, focamos nosso estudo em superfícies cujo link é simples, e para isso estabelecemos a definição de superfícies poligonais. Provamos que toda superfície poligonal, de modo geral, é bi-Lipschitz ambiente equivalente a uma superfície poligonal composta por um número menor de triângulos lineares, reduzindo a prova do resultado principal aos casos particulares estudados nos capítulos anteriores, finalizando assim a demonstração.

Por fim, na Conclusão é realizada uma série de observações sobre a tese, sobre o porquê de a demonstração vista no Capítulo 7 não poder se estender para superfícies em  $\mathbb{R}^n$ ,  $n \geq 4$ , e também listamos sugestões de pesquisa futura sobre temas envolvendo a tese.

## 2 PRELIMINARES

### 2.1 Fundamentos de geometria semialgébrica real

#### 2.1.1 Conjuntos semialgébricos

Nesta seção, faremos uma breve exposição dos conceitos e definições iniciais em geometria semialgébrica real, bem como algumas versões do teorema de Tarski-Seidenberg e como tal propriedade estrutural pode ser usada para deduzir que certos conjuntos e aplicações são semialgébricas. Um estudo mais aprofundado pode ser encontrado em (COSTE, 2000b).

**Definição 2.1.1.** *Um conjunto semialgébrico de  $\mathbb{R}^n$  é qualquer conjunto de pontos  $(x_1, \dots, x_n) \in \mathbb{R}^n$  satisfazendo uma combinação booleana de equações e inequações polinomiais com coeficientes reais. Dito de outra forma, definimos os conjuntos semialgébricos de  $\mathbb{R}^n$  como a menor classe  $SA_n$  de subconjuntos de  $\mathbb{R}^n$  tais que:*

1. *Para cada  $P \in \mathbb{R}[x_1, \dots, x_n]$ , os conjuntos  $\{x \in \mathbb{R}^n : P(x) = 0\}$  e  $\{x \in \mathbb{R}^n : P(x) > 0\}$  pertencem a  $SA_n$ .*
2. *Para todos  $A, B \in SA_n$ , cada um dos conjuntos  $A \cup B$ ,  $A \cap B$ , e  $\mathbb{R}^n \setminus A$  pertencem a  $SA_n$ .*

**Exemplo 2.1.2.** *Os exemplos a seguir são obtidos de modo imediato pela definição.*

1. *Todo conjunto finito  $A \subset \mathbb{R}^n$  é semialgébrico.*
2. *Todo conjunto algébrico é semialgébrico.*
3. *Se  $A \subset \mathbb{R}^n$  é semialgébrico, então  $A \times \mathbb{R}^m \subset \mathbb{R}^{m+n}$  é semialgébrico.*
4. *Os conjuntos semialgébricos de  $\mathbb{R}$  são uniões finitas de pontos e intervalos abertos ou fechados.*
5. *O produto cartesiano  $A \times B$  de conjuntos semialgébricos  $A \in SA_m$  e  $B \in SA_n$  é semialgébrico.*
6. *Seja  $F : \mathbb{R}^m \rightarrow \mathbb{R}^n$  uma aplicação polinomial. Se  $A \in SA_n$ , então  $F^{-1}(A) \in SA_m$ .*
7. *Para cada  $p = (p_1, \dots, p_n) \in \mathbb{R}^n$  e  $r > 0$  fixos, a bola de centro  $x$  e raio  $r$ :*

$$\{x = (x_1, \dots, x_n) \in \mathbb{R}^n \mid \sum_{i=1}^n (x_i - p_i)^2 \leq r^2\}$$

*é um conjunto semialgébrico.*

8. *Dado  $n \in \mathbb{N}$ , seja  $\Delta_n = \{x = (x_1, \dots, x_n) \in \mathbb{R}^n \mid x_i \geq 0; x_1 + \dots + x_n = 1\}$  o  $n$ -simplexo de probabilidades. Para qualquer lista fixa de números reais  $a_{ij}$ ,  $i = 1, \dots, n$  e  $j = 1, \dots, m$ ,*

o conjunto de estratégias ótimas e valor do jogo de soma zero para duas pessoas, isto é:

$$\{(x, y, v) \in \mathbb{R}^{n+m+1} \mid x \in \Delta_n; y \in \Delta_m; v \in \mathbb{R}; \forall j, \sum_{i=1}^n x_i a_{ij} \geq v; \forall i, \sum_{j=1}^m y_j a_{ij} \leq v\}$$

é um conjunto semialgébrico.

**Definição 2.1.3.** *Seja  $A \subseteq \mathbb{R}^m$  um conjunto semialgébrico. Uma aplicação  $f : A \rightarrow \mathbb{R}^n$  é semialgébrica se seu gráfico  $\Gamma(f) \subset \mathbb{R}^m \times \mathbb{R}^n = \mathbb{R}^{m+n}$  é semialgébrico. Se  $m = n = 1$ , dizemos que  $f$  é uma função semialgébrica.*

**Exemplo 2.1.4.** *Os exemplos a seguir são aplicações semialgébricas.*

1. *A aplicação  $f : [-1, 1] \rightarrow \mathbb{R}$  definida por  $f(x) = \sqrt{1-x^2}$ , para todo  $|x| \leq 1$ , é semialgébrica.*
2. *Toda aplicação polinomial é semialgébrica. De modo geral, toda aplicação regular (i.e. aplicações cujas coordenadas são funções racionais cujo denominadores não se anulam sobre um domínio semialgébrico) são aplicações semialgébricas.*

**Observação 2.1.5.** *A estrutura  $\{SA_n\}_{n \in \mathbb{N}}$  é um exemplo específico de uma estrutura O-minimal polinomialmente limitada sobre  $\mathbb{R}$ , e os conjuntos e aplicações semiagébricos, exemplos de conjuntos definíveis. Para um estudo mais aprofundado sobre tais estruturas, a leitura de (DRIES, 1998) e (COSTE, 2000a) é recomendada.*

A propriedade de estabilidade mais fundamental dos conjuntos semialgébricos é o teorema de Tarski-Seidenberg, que é enunciado a seguir.

**Teorema 2.1.6** (Tarski-Seidenberg: Versão de Projeção). *Seja  $A \subset \mathbb{R}^{n+1}$  um conjunto semialgébrico e seja  $\pi : \mathbb{R}^{n+1} \rightarrow \mathbb{R}^n$  a projeção nas primeiras  $n$  coordenadas. Então  $\pi(A) \subset \mathbb{R}^n$  é um conjunto semialgébrico.*

*Demonstração.* Veja (COSTE, 2000b), Theorem 2.3. □

**Exemplo 2.1.7.** *As propriedades a seguir são consequências do teorema de Tarski-Seidenberg.*

1. *Seja  $k < n$  inteiros positivos,  $A \subset \mathbb{R}^n$  um conjunto semialgébrico e seja  $\pi : \mathbb{R}^n \rightarrow \mathbb{R}^k$  a projeção em  $k$  das  $n$  coordenadas. Então  $\pi(A) \subset \mathbb{R}^k$  é um conjunto semialgébrico.*
2. *Se  $f : A \rightarrow B$  é uma aplicação semialgébrica, então  $A$  e  $f(A) \subseteq B$  são conjuntos semialgébricos. Além disso, dado  $C \subseteq B$  semialgébrico,  $f^{-1}(C) \subseteq A$  é semialgébrico.*

3. Um homeomorfismo semialg\u00e9brico  $h : A \rightarrow B$  \u00e9 uma aplica\u00e7\u00e3o semialg\u00e9brica, cont\u00ednua e bijetiva. Se  $h$  \u00e9 homeomorfismo semialg\u00e9brico, ent\u00e3o  $h^{-1}$  tamb\u00e9m \u00e9 homeomorfismo semialg\u00e9brico.
4. Se  $f : A \rightarrow B$  e  $g : B \rightarrow C$  s\u00e3o aplica\u00e7\u00f5es semialg\u00e9bricas, ent\u00e3o  $g \circ f : A \rightarrow C$  \u00e9 aplica\u00e7\u00e3o semialg\u00e9brica.
5. Seja  $A \subset \mathbb{R}^m$  e sejam  $f, g : A \rightarrow \mathbb{R}^n$ ,  $h : A \rightarrow \mathbb{R}$  aplica\u00e7\u00f5es semialg\u00e9bricas. Ent\u00e3o  $f \pm g : A \rightarrow \mathbb{R}^n$  e  $hf : A \rightarrow \mathbb{R}$  s\u00e3o aplica\u00e7\u00f5es semialg\u00e9bricas.
6. Se  $A \subset \mathbb{R}^n$  \u00e9 semialg\u00e9brico, ent\u00e3o o fecho  $\bar{A}$ , o interior  $\text{int}(A)$  e a fronteira  $\partial A$  s\u00e3o conjuntos semialg\u00e9bricos.

Do teorema de Tarski-Seidenberg resulta que imagens e imagens inversas de conjuntos semialg\u00e9bricos por aplica\u00e7\u00f5es semialg\u00e9bricas s\u00e3o semialg\u00e9bricos. Tamb\u00e9m, composi\u00e7\u00f5es de aplica\u00e7\u00f5es semialg\u00e9bricas s\u00e3o semialg\u00e9bricas, e tamb\u00e9m o fecho e o interior de todo conjunto semialg\u00e9brico \u00e9 semialg\u00e9brico.

Outra aplica\u00e7\u00e3o do teorema de Tarski-Seidenberg diz respeito \u00e0 defini\u00e7\u00e3o de conjuntos semialg\u00e9bricos por meio de uma linguagem l\u00f3gica, mediante as f\u00f3rmulas de primeira ordem.

**Defini\u00e7\u00e3o 2.1.8.** Uma f\u00f3rmula de primeira ordem \u00e9 o menor conjunto de f\u00f3rmulas que seguem as seguintes regras:

1. Se  $P \in \mathbb{R}[x_1, \dots, x_n]$ , ent\u00e3o  $P = 0$  e  $P > 0$  s\u00e3o f\u00f3rmulas de primeira ordem.
2. Se  $\gamma, \delta$  s\u00e3o f\u00f3rmulas de primeira ordem, ent\u00e3o  $\gamma \wedge \delta$ ,  $\gamma \vee \delta$  e  $\gamma \neg \delta$  s\u00e3o f\u00f3rmulas de primeira ordem.
3. Se  $\gamma$  \u00e9 uma f\u00f3rmula de primeira ordem e  $x$  uma vari\u00e1vel sobre  $\mathbb{R}$ , ent\u00e3o  $\exists x \gamma$  e  $\forall x \gamma$  s\u00e3o f\u00f3rmulas de primeira ordem.

As f\u00f3rmulas obtidas utilizando apenas as regras (1) e (2) s\u00e3o denominadas livres de quantificadores. Pela defini\u00e7\u00e3o, um subconjunto  $A \subset \mathbb{R}^n$  \u00e9 semialg\u00e9brico se, e somente se, existe uma f\u00f3rmula livre de quantificadores  $\gamma(x_1, \dots, x_n)$  tal que  $(x_1, \dots, x_n) \in A \Leftrightarrow \gamma(x_1, \dots, x_n)$ .

**Theorem 2.1.9** (Tarski-Seidenberg: Vers\u00e3o de Elimina\u00e7\u00e3o de Quantificadores). Se  $\gamma(x_1, \dots, x_n)$  \u00e9 uma f\u00f3rmula de primeira ordem, ent\u00e3o o conjunto dos pontos  $(x_1, \dots, x_n) \in \mathbb{R}^n$  que satisfazem  $\gamma(x_1, \dots, x_n)$  \u00e9 semialg\u00e9brico. Em outras palavras, toda f\u00f3rmula de primeira ordem \u00e9 equivalente a uma f\u00f3rmula livre de quantificadores.

*Demonstra\u00e7\u00e3o.* Veja (COSTE, 2000b), Theorem 2.6. \(\square\)

### 2.1.2 Séries de Puiseux e diferenciabilidade

Nesta seção, definiremos as séries de Newton-Puiseux, suas operações e propriedades básicas, e veremos sua utilidade no estudo de funções semialgébricas, sobretudo para obter as propriedades de monotonicidade e diferenciabilidade ao redor de um ponto específico. Mais detalhes podem ser encontrados em (NEYMAN, 2003).

**Definição 2.1.10.** *Uma série de Puiseux sobre um corpo  $F$  é uma série formal  $f$  da forma  $f = \sum_{i=k}^{\infty} a_i x^{i/M}$ , onde  $a_i \in F$ ,  $k$  é inteiro e  $M$  é um inteiro positivo. Em outras palavras, uma série de Puiseux é uma série formal de Laurent em potências fracionárias de  $x$ .*

Duas séries de Puiseux  $f = \sum_{i=k}^{\infty} a_i x^{i/M}$  e  $g = \sum_{j=l}^{\infty} b_j x^{j/N}$  são consideradas idênticas se, e somente se, para todo  $i \geq k$  com  $a_i \neq 0$ , temos que  $j = \frac{iN}{M}$  é um inteiro maior ou igual a  $l$  satisfazendo  $b_j = a_i$ , e para todo  $j \geq l$  com  $b_j \neq 0$ , temos que  $i = jMN$  é um inteiro maior ou igual a  $k$  satisfazendo  $b_j = a_i$ . Em particular, dado inteiros positivos  $M, N$ , a série de Puiseux  $f = \sum_{i=k}^{\infty} a_i x^{i/M}$  é identificada com a série de Puiseux  $f = \sum_{j=kN}^{\infty} \tilde{a}_j x^{j/MN}$ , onde  $\tilde{a}_{iN} = a_i$  para todo  $i \geq k$  e  $\tilde{a}_j = 0$  caso  $j$  não é divisível por  $N$ .

Portanto, dadas duas séries de Puiseux  $f = \sum_{i=k}^{\infty} a_i x^{i/M}$  e  $g = \sum_{j=l}^{\infty} b_j x^{j/N}$ , podemos assumir sem perda de generalidade que  $M = N$  e  $k = l$ , e com essa suposição podemos definir a soma, a subtração e o produto de séries de Puiseux como as seguinte séries formais:

$$f \pm g = \sum_{i=k}^{\infty} a_i x^{i/M} \pm \sum_{i=k}^{\infty} b_i x^{i/M} = \sum_{i=k}^{\infty} (a_i \pm b_i) x^{i/M}$$

$$f \cdot g = \left( \sum_{i=k}^{\infty} a_i x^{i/M} \right) \left( \sum_{i=k}^{\infty} b_i x^{i/M} \right) = \sum_{i=2k}^{\infty} \left( \sum_{j=k}^{i-k} a_j b_{i-j} \right) x^{i/M}$$

A coleção  $F(x)^\wedge$  de todas as séries de Puiseux sobre um corpo  $F$  é um corpo, e se  $F$  é ordenado,  $F(x)^\wedge$  também é ordenado ao se definir  $\sum_{i=k}^{\infty} a_i x^{i/M} > 0$  sempre que  $a_k > 0$ . A coleção  $\mathbb{R}(x)^{c^\wedge}$  de todas as séries de Puiseux convergentes sobre  $\mathbb{R}$ , isto é,  $\sum_{i=k}^{\infty} |a_i| x^{i/M}$  converge para todo  $x > 0$  suficientemente pequeno, também é um corpo ordenado. Dado  $f = \sum_{i=k}^{\infty} a_i x^{i/M} \in \mathbb{R}(x)^{c^\wedge}$ , temos que existe  $\varepsilon > 0$  suficientemente pequeno tal que  $f$  é diferenciável em  $(-\varepsilon, \varepsilon) \setminus \{0\}$ , e para cada  $x \in (-\varepsilon, \varepsilon) \setminus \{0\}$ ,  $f'(x) = \sum_{i=k}^{\infty} \frac{i}{M} a_i x^{i/M-1}$ . Caso  $\lim_{x \rightarrow 0} f'(x)$  exista e seja um número real, definimos tal limite como  $f'(0)$ .

**Theorem 2.1.11.** *Seja  $\varphi : (0, \varepsilon) \rightarrow \mathbb{R}$  uma função semialgébrica. Então, existe um inteiro positivo  $M$ , um inteiro  $k$ , um real  $\delta \in (0, \varepsilon)$  e uma sequência de números reais  $a_k, a_{k+1}, \dots \in \mathbb{R}$*

tal que  $\sum_{i=k}^{\infty} a_i x^{i/M}$  converge e é igual a  $\varphi(x)$ , para todo  $0 < x < \delta$ . Em particular,  $\varphi(x)$  é diferenciável e monótona, para todo  $x$  suficientemente pequeno.

*Demonstração.* Veja (NEYMAN, 2003), Theorem 2. □

**Observação 2.1.12.** Se  $\varphi : (0, \varepsilon) \rightarrow \mathbb{R}$  uma função semialgébrica, com série de Pusieux  $\sum_{i=k}^{\infty} a_i x^{i/M}$ , escrevemos  $\varphi(x) = a_k x^{k/M} + o(x^{k/M})$ .

### 2.1.3 Complexos simpliciais e estrutura local

Apresentaremos, de modo breve, os conceitos e resultados mais básicos sobre teoria dimensional em conjuntos semialgébricos. Mostraremos também alguns fatos elementares sobre topologia local de conjuntos semialgébricos, que culminam nas definições de vizinhança e link. A consulta de (COSTE, 2000b) pode ser feita para um maior aprofundamento.

**Theorem 2.1.13.** Seja  $S \subset \mathbb{R}^n$  um conjunto semialgébrico e sejam  $T_1, \dots, T_m$  uma coleção finita de subconjuntos semialgébricos de  $S$ . Então  $S$  pode ser decomposto como uma união finita  $S = \cup_{i=1}^p C_i$ , onde:

- cada  $C_i$  é semialgebricamente homeomorfo a um cubo aberto  $(0, 1)^{d_i}$ , isto é, existe um homeomorfismo semialgébrico  $h_i : C_i \rightarrow (0, 1)^{d_i}$ ;
- o fecho de  $C_i$  em  $S$  é a união de  $C_i$  e alguns  $C_j$  com  $d_j < d_i$ ;
- todo  $T_k$  é a união de alguns  $C_i$ .

*Demonstração.* Veja (COSTE, 2000b), Corollary 3.8. □

**Observação 2.1.14.** Cada decomposição de  $S$  como acima é chamada de **estratificação de  $S$  compatível com  $T_1, \dots, T_m$**  e cada  $C_i$  é denominado **strata** dessa estratificação. Para cada  $k \in \mathbb{Z}_{\geq 0} \cup \infty$ , a estratificação é dita  $C^k$  se cada  $h_i$  é aplicação  $C^k$ . A dimensão de  $S$  é, por definição,  $d = \max\{d_i : i = 1, \dots, p\}$ . Tal dimensão independe da estratificação escolhida (veja (COSTE, 2000b), Proposition 3.15).

As definições seguintes acerca de complexos simpliciais foram baseadas no exposto em (LEE, 2010).

**Definição 2.1.15.** Sejam  $0 \leq d \leq n$  inteiros e sejam  $a_0, \dots, a_d$  pontos de  $\mathbb{R}^n$  que são estão contidos num subespaço afim de dimensão  $d - 1$ . O simplexo  $d$ -dimensional de vértices  $a_0, \dots, a_d$

é definido como sendo o conjunto de dimensão  $d$ :

$$[a_0, \dots, a_d] = \left\{ x \in \mathbb{R}^n \mid \exists \lambda_0, \dots, \lambda_d \in [0, 1]; \sum_{i=0}^d \lambda_i = 1; x = \sum_{i=0}^d \lambda_i a_i \right\}$$

O simplexo aberto correspondente a  $\sigma = [a_0, \dots, a_d]$  é denotado por:

$$\text{int}(\sigma) = (a_0, \dots, a_d) = \left\{ x \in \mathbb{R}^n \mid \exists \lambda_0, \dots, \lambda_d \in (0, 1); \sum_{i=0}^d \lambda_i = 1; x = \sum_{i=0}^d \lambda_i a_i \right\}$$

Definimos ainda uma face do simplexo  $\sigma = [a_0, \dots, a_d]$  como qualquer simplexo  $\tau = [a_{i_0}, \dots, a_{i_k}]$  tal que  $0 \leq k < d$  e  $\{i_0, \dots, i_k\} \subset \{0, \dots, d\}$ .

**Definição 2.1.16.** Um complexo simplicial  $K$  é um conjunto de simplexos que satisfaz as seguintes condições:

1. Para todo  $\sigma \in K$  e toda face  $\tau$  de  $\sigma$ ,  $\tau \in K$ ;
2. Se  $\sigma_1, \sigma_2 \in K$  e  $\sigma_1 \cap \sigma_2 \neq \emptyset$ , então  $\sigma_1 \cap \sigma_2$  é uma face de  $\sigma_1$  e  $\sigma_2$ .

Um complexo simplicial  $K$  é  $d$ -dimensional se a maior dimensão de um simplexo em  $K$  é igual a  $d$ . Um complexo simplicial  $K$  é  $d$ -dimensional puro se todo simplexo de  $K$ , de dimensão menor que  $d$ , é uma face de um simplexo de  $K$ .

Dado um complexo simplicial  $K$ , definimos  $|K| = \cup_{\sigma_i \in K} \sigma_i$ ; este é um conjunto semialgébrico de  $\mathbb{R}^n$ , formado pela união disjunta dos conjuntos  $\text{int}(\sigma_i)$ ,  $\sigma_i \in K$ .

**Teorema 2.1.17** (Teorema da Triangulação de Lojasiewicz). *Seja  $S \subset \mathbb{R}^n$  um conjunto semialgébrico localmente fechado e sejam  $T_1, \dots, T_m$  subconjuntos semialgébricos de  $S$ . Então, existe um par  $(K, h)$  de um complexo simplicial localmente finito  $K$  e um homeomorfismo semialgébrico  $h: |K| \rightarrow S$  tal que  $\{h(\text{int}(\sigma)); \sigma \in K\}$  é uma estratificação  $C^k$  de  $S$  compatível com  $T_1, \dots, T_m$ . Em particular, se  $S$  é um conjunto semialgébrico compacto,  $K$  é um complexo simplicial finito.*

*Demonstração.* Veja (LOJASIEWICZ, 1964), Theorem 2, e (SHIOTA, 1997), II.2.1. □

**Observação 2.1.18.** *Dado um conjunto semialgébrico  $S$  e um complexo simplicial  $K$  satisfazendo o Teorema da Triangulação de Lojasiewicz, dizemos que  $S$  é um conjunto semialgébrico  $d$ -dimensional puro se  $K$  é um complexo simplicial  $d$ -dimensional puro.*

Os dois resultados estruturais a seguir são de grande importância para a fundamentação da topologia local dos conjuntos semialgébricos.

**Lema 2.1.19** (Lema de Seleção de Curva). *Seja  $A \subset \mathbb{R}^n$  um conjunto semialgébrico e seja  $a$  um ponto de acumulação de  $A$ . Então, existe uma aplicação semialgébrica e contínua  $\gamma: [0, 1] \rightarrow \mathbb{R}^n$  tal que  $\gamma(0) = a$  e  $\gamma((0, 1]) \subset S$ .*

*Demonstração.* Veja (COSTE, 2000b), Theorem 3.13. □

**Teorema 2.1.20** (Estrutura Cônica Local). *Seja  $A \subset \mathbb{R}^n$  semialgébrico e  $a$  um ponto não isolado de  $A$ . Para  $\varepsilon > 0$ , seja  $\mathbb{B}(a, \varepsilon)$  (resp.  $\mathbb{S}(a, \varepsilon)$ ) a bola aberta (resp. a esfera) de centro  $a$  e raio  $\varepsilon$ , isto é:*

$$\mathbb{B}(a, \varepsilon) = \{p \in \mathbb{R}^n \mid \|p - a\| < \varepsilon\}; \mathbb{S}(a, \varepsilon) = \{p \in \mathbb{R}^n \mid \|p - a\| = \varepsilon\}$$

*Seja ainda  $a * (\mathbb{S}(a, \varepsilon) \cap A)$  o cone de vértice  $a$  e base  $\mathbb{S}(a, \varepsilon) \cap A$ , isto é:*

$$a * (\mathbb{S}(a, \varepsilon) \cap A) = \{\lambda a + (1 - \lambda)x \mid \lambda \in [0, 1]; x \in \mathbb{S}(a, \varepsilon) \cap A\}$$

*Então, existe  $\varepsilon > 0$  suficientemente pequeno e um homeomorfismo semialgébrico  $h: \mathbb{B}(a, \varepsilon) \cap A \rightarrow a * (\mathbb{S}(a, \varepsilon) \cap A)$  tal que  $\|h(x) - a\| = \|x - a\|$ , para todo  $x \in \mathbb{B}(a, \varepsilon) \cap A$ , e  $h|_{\mathbb{S}(a, \varepsilon) \cap A} = id_{\mathbb{S}(a, \varepsilon) \cap A}$ .*

*Demonstração.* Veja (COSTE, 2000b), Theorem 4.4. □

**Corolário 2.1.21.** *Todo conjunto semialgébrico conexo é conexo por caminhos.*

*Demonstração.* Seja  $A \subset \mathbb{R}^n$  semialgébrico conexo. Como o cone  $a * (\mathbb{S}(a, \varepsilon) \cap A)$  é conexo por caminhos, temos que  $A$  é localmente conexo por caminhos, e como  $A$  é conexo, segue que  $A$  é conexo por caminhos. □

Como consequência do Teorema da estrutura cônica local, as definições seguintes de vizinhança e link estão bem definidas.

**Definição 2.1.22.** *Seja  $X \subset \mathbb{R}^n$  um conjunto semialgébrico e seja  $p \in X$ . Definimos a vizinhança de  $X$  em  $p$  como o tipo topológico do conjunto:*

$$X_p[t] = X \cap \{x \in \mathbb{R}^n : \|x - p\| < t\}$$

*E o link de  $X$  em  $p$  como o tipo topológico do conjunto:*

$$X \cap \mathbb{S}^{n-1}(p, t); S(t) = \{x \in X : \|x\| = t\}$$

*para cada  $t > 0$  suficientemente pequeno.*



## 2.2 Excertos de geometria Lipschitz

### 2.2.1 Aplicações bi-Lipschitz em espaços métricos

A seção a seguir visa estabelecer o conceito de aplicações bi-Lipschitz em espaços métricos e expor alguns resultados clássicos a respeito, cuja demonstração será realizada para fins de completude.

**Definição 2.2.1.** *Dados dois espaços métricos  $(X_1, d_1), (X_2, d_2)$ , dizemos que uma aplicação  $\varphi : X_1 \rightarrow X_2$  é **bi-Lipschitz com respeito às métricas  $d_1, d_2$**  (abreviadamente *bi-Lipschitz*) se existe um número real  $C \geq 1$  tal que:*

$$\frac{1}{C} \cdot d_1(p, q) \leq d_2(\varphi(p), \varphi(q)) \leq C \cdot d_1(p, q), \quad \forall p, q \in X_1$$

*Para cada  $C \geq 1$  que satisfaz tal condição, dizemos que a aplicação  $\varphi$  é  $C$ -bi-Lipschitz. Dizemos ainda que os espaços métricos  $(X_1, d_1), (X_2, d_2)$  são bi-Lipschitz equivalentes (ou bi-Lipschitz homeomorfos) se existe uma aplicação bi-Lipschitz  $\varphi : X_1 \rightarrow X_2$ .*

**Observação 2.2.2.** *A equivalência bi-Lipschitz é, evidentemente, uma relação de equivalência sobre o conjunto dos espaços métricos.*

**Proposição 2.2.3.** *Sejam  $(X_1, d_1)$  e  $(X_2, d_2)$  espaços métricos, e sejam  $U_1 \subseteq X_1, U_2 \subseteq X_2$  conjuntos abertos tais que  $\overline{U_1} = X_1, \overline{U_2} = X_2$ . Se  $\varphi : X_1 \rightarrow X_2$  é um homeomorfismo, tal que  $\varphi(U_1) = U_2$  e  $\varphi|_{U_1} : U_1 \rightarrow U_2$  é uma aplicação  $C$ -bi-Lipschitz, então  $\varphi$  é uma aplicação  $C$ -bi-Lipschitz de  $X_1$  em  $X_2$  (com respeito às métricas  $d_1, d_2$ ).*

*Demonstração.* Dados  $p, q \in X_1$ , existem seqüências  $\{p_n\}_{n \in \mathbb{N}}, \{q_n\}_{n \in \mathbb{N}} \subseteq U_1$  tais que  $p_n \rightarrow p$  e  $q_n \rightarrow q$  quando  $n \rightarrow \infty$ . Sendo  $\varphi$  contínua (por conta do homeomorfismo), temos que para todo  $\varepsilon > 0$ , existe  $N_0 > 0$  inteiro tal que, para todo  $n > N_0$ :

$$d_1(p, p_n), d_1(q, q_n), d_2(\varphi(p), \varphi(p_n)), d_2(\varphi(q), \varphi(q_n)) < \varepsilon$$

Além disso,  $\varphi|_{U_1}$  é  $C$ -bi-Lipschitz, donde, para todo  $n > N_0$ , temos:

$$d_2(\varphi(p), \varphi(q)) \leq d_2(\varphi(p), \varphi(p_n)) + d_2(\varphi(p_n), \varphi(q_n)) + d_2(\varphi(q_n), \varphi(q)) <$$

$$< \varepsilon + C \cdot d_1(p_n, q_n) + \varepsilon \leq 2\varepsilon + C \cdot (d_1(p_n, p) + d_1(p, q) + d_1(q, q_n)) <$$

$$< 2\varepsilon + C \cdot (\varepsilon + d_1(p, q) + \varepsilon) = 2(C+1)\varepsilon + C \cdot d_1(p, q)$$

Como tal desigualdade vale para todo  $\varepsilon > 0$ , segue que  $d_2(\varphi(p), \varphi(q)) \leq C \cdot d_1(p, q)$ . De modo análogo, temos que  $d_1(p, q) \leq C \cdot d_2(\varphi(p), \varphi(q))$ . Portanto,  $\varphi$  é  $C$ -bi-Lipschitz e o resultado está demonstrado.  $\square$

**Proposição 2.2.4.** *Sejam  $(X_1, d_1)$  e  $(X_2, d_2)$  espaços métricos e seja  $\varphi : X_1 \rightarrow X_2$  uma aplicação  $C$ -bi-Lipschitz com respeito às métricas  $d_1, d_2$ , para algum  $C \geq 1$ . Então, para toda curva retificável  $\gamma : [0, 1] \rightarrow X$ , temos  $\frac{1}{C} \cdot l_1(\gamma) \leq l_2(\varphi(\gamma)) \leq C \cdot l_1(\gamma)$ . Ademais,  $l_1(\gamma) = \infty \Leftrightarrow l_2(\varphi(\gamma)) = \infty$ . Aqui,  $l_1, l_2$  denotam comprimento da curva nas métricas  $d_1, d_2$ , respectivamente.*

*Demonstração.* Seja  $S = \{(n, T) : n \in \mathbb{N}; T = \{t_0, t_1, \dots, t_{n+1} : 0 = t_0 < t_1 < \dots < t_n + 1 = 1\}\}$ . Dado um inteiro positivo  $n$  e reais  $0 = t_0 < t_1 < \dots < t_{n+1} = 1$ , temos que:

$$\begin{aligned} \sum_{k=0}^n d_1(\gamma(t_k), \gamma(t_{k+1})) &\leq \left( \sum_{k=0}^n C \cdot (d_2(\varphi(\gamma(t_k)), \varphi(\gamma(t_{k+1})))) \right) \leq \\ &\leq C \cdot \sup_{(n, T) \in S} \left( \sum_{k=0}^n d_2(\varphi(\gamma(t_k)), \varphi(\gamma(t_{k+1}))) \right) = C \cdot l_2(\varphi(\gamma)) \Rightarrow \\ &\Rightarrow l_1(\gamma) = \sup_{(n, T) \in S} \left( \sum_{k=0}^n d_1(\gamma(t_k), \gamma(t_{k+1})) \right) \leq C \cdot l_2(\varphi(\gamma)) \end{aligned}$$

Analogamente,  $l_2(\varphi(\gamma)) \leq C \cdot l_1(\gamma)$ , provando o resultado. Tais desigualdades implicam  $l_1(\gamma) < \infty \Leftrightarrow l_2(\varphi(\gamma)) < \infty$ , o que resulta na segunda afirmação da proposição.  $\square$

## 2.2.2 Métricas exterior, intrínseca e ambiente

Nesta seção, estabelecemos as métricas exterior, intrínseca e ambiente para conjuntos em  $\mathbb{R}^n$  e provamos algumas proposições envolvendo tais métricas.

**Definição 2.2.5.** *Dado  $X \subset \mathbb{R}^n$ , definimos a **métrica exterior de  $X$**  como a aplicação  $d : X \times X \rightarrow \mathbb{R}_+$ , dada por  $d(x, y) = \|x - y\|$ , para todos  $x, y \in X$ .*

*Se  $X$  é conexo por caminhos, definimos também a **métrica intrínseca de  $X$**  como a aplicação  $d_X : X \times X \rightarrow \mathbb{R}_+$ , dada por  $d_X(x, y) = \inf \{l(\alpha)\}$ , para todos  $x, y \in X$ , onde o ínfimo é tomado sobre todos os caminhos retificados  $\alpha \subset X \setminus \{0\}$  de  $x$  a  $y$ , e  $l(\alpha)$  é o comprimento de  $\alpha$ . Se tal caminho retificado  $\alpha$  não existe, defina  $d_X(x, y) = \infty$ .*

**Observação 2.2.6.** *É evidente que as definições vistas acima satisfazem as propriedades de uma métrica.*

**Definição 2.2.7.** Dados dois conjuntos  $X_1 \subset \mathbb{R}^m$ ,  $X_2 \subset \mathbb{R}^n$ , uma **aplicação bi-Lipschitz exterior** entre  $X_1, X_2$  é uma aplicação bi-Lipschitz com respeito às métricas exteriores de  $X_1, X_2$ , e uma **aplicação bi-Lipschitz intrínseca** entre  $X_1, X_2$  (assuma  $X_1, X_2$  conexos por caminhos) é uma aplicação bi-Lipschitz com respeito às métricas intrínsecas de  $X_1, X_2$ . Finalmente, uma **aplicação bi-Lipschitz ambiente** entre  $X_1, X_2$  é uma aplicação bi-Lipschitz  $\varphi : \mathbb{R}^m \rightarrow \mathbb{R}^n$ , com respeito à métrica euclidiana, tal que  $\varphi(X_1) = X_2$  (se tal aplicação bi-Lipschitz a existir, então  $m = n$ ).

**Definição 2.2.8.** Dados dois conjuntos  $X_1 \subset \mathbb{R}^m$ ,  $X_2 \subset \mathbb{R}^n$ , e dados  $p \in X_1$ ,  $q \in X_2$ , uma **aplicação bi-Lipschitz exterior** (resp. **intrínseca**) entre  $(X_1, p), (X_2, q)$  é uma aplicação bi-Lipschitz exterior (resp. intrínseca)  $\varphi : X_1 \cap U \rightarrow X_2 \cap V$ , onde  $U$  é uma vizinhança de  $p$  e  $V$  é uma vizinhança de  $q$ . Uma **aplicação bi-Lipschitz ambiente** entre  $(X_1, p), (X_2, q)$  é uma aplicação bi-Lipschitz  $\varphi : U \rightarrow V$ , com respeito à métrica euclidiana ( $U$  é uma vizinhança de  $p$  em  $\mathbb{R}^m$  e  $V$  é uma vizinhança de  $q$  em  $\mathbb{R}^n$ ), tal que  $\varphi(X_1 \cap U) = X_2 \cap V$ . Denotaremos tais aplicações entre germes por  $\varphi : (X_1, p) \rightarrow (X_2, q)$ .

**Proposição 2.2.9.** Sejam  $U, V \subseteq \mathbb{R}^n$  abertos e não vazios, e sejam  $\psi : \bar{U} \rightarrow \bar{V}$ ,  $\varphi : \bar{V} \rightarrow \bar{V}$  aplicações bi-Lipschitz exteriores. Se  $\varphi(p) = p$  para todo  $p \in \partial V$ , então, a aplicação  $\Phi : \mathbb{R}^n \rightarrow \mathbb{R}^n$ , dada por:

$$\Phi(p) = \begin{cases} p, & p \notin U \\ \psi^{-1} \circ \varphi \circ \psi(p), & p \in \bar{U} \end{cases}$$

é uma aplicação bi-Lipschitz exterior.

*Demonstração.* Suponha que  $\varphi, \psi$  sejam  $C$ -bi-Lipschitz, para algum  $C \geq 1$ . Assim, a aplicação  $\psi^{-1} \circ \varphi \circ \psi : \bar{U} \rightarrow \bar{U}$  é aplicação  $C^3$ -bi-Lipschitz. Note também que, para  $p \in \partial U$ ,  $\psi(p) \in \partial V$  (pois  $\psi$  é homeomorfismo), de modo que  $\psi^{-1} \circ \varphi \circ \psi(p) = \psi^{-1} \circ \varphi(\psi(p)) = p$ , o que mostra que  $\Phi$  está bem definida.

Agora, provemos que  $\Phi$  é  $C^3$ -bi-Lipschitz. Se  $p, q \in U$  ou  $p, q \notin U$ , o resultado é imediato. Caso  $p \in U, q \notin U$ , seja  $r \in \partial U$  um ponto no segmento de reta  $\overline{pq}$ . Assim:

$$\begin{aligned} |\Phi(p) - \Phi(q)| &\leq |\Phi(p) - \Phi(r)| + |\Phi(r) - \Phi(q)| = |\Phi(p) - \Phi(r)| + |r - q| \leq \\ &\leq C^3 \cdot |p - r| + |r - q| \leq C^3 \cdot (|p - r| + |r - q|) = C^3 \cdot |p - q| \end{aligned}$$

Analogamente, temos que  $|p - q| \leq C^3 \cdot |\Phi(p) - \Phi(q)|$ , e o resultado está provado.  $\square$

**Proposição 2.2.10.** *Sejam  $X_1, X_2 \subseteq \mathbb{R}^n$  conjuntos conexos por caminhos tais que  $X_1 \cap X_2 \neq \emptyset$ , e sejam ainda  $Y_1, Y_2 \subseteq \mathbb{R}^m$ , tais que  $\varphi_1 : X_1 \rightarrow Y_1$  e  $\varphi_2 : X_2 \rightarrow Y_2$  sejam aplicações bi-Lipschitz intrínsecas satisfazendo  $\varphi_1(p) = \varphi_2(p)$  para todo  $p \in X_1 \cap X_2$ . Então, se  $X = X_1 \cup X_2$  e  $Y = Y_1 \cup Y_2$ , a aplicação  $\varphi : X \rightarrow Y$ , dada por  $\varphi(p) = \varphi_i(p)$ , se  $p \in X_i$  ( $i = 1, 2$ ), é uma aplicação bi-Lipschitz intrínseca.*

*Demonstração.* Note inicialmente que  $\varphi_1(p) = \varphi_2(p), \forall p \in X_1 \cap X_2$ , o que implica que  $\varphi$  está bem definida. Além disso, como  $\varphi_1, \varphi_2$  são homeomorfismos (pois são aplicações bi-Lipschitz), então  $\varphi$  é homeomorfismo, pelo lema da colagem para homeomorfismos. Observe também que, como  $X_1, X_2$  são conexos por caminhos,  $X = X_1 \cup X_2$  é conexo por caminhos e como  $\varphi$  é homeomorfismo,  $Y$  também é conexo por caminhos.

Para  $k = 1, 2$ , note que, de  $X_k \subseteq X$  e  $Y_k \subseteq Y$ , temos  $d_{X_k}(a, b) \geq d_X(a, b), \forall a, b \in X_k$  e  $d_{Y_k}(a, b) \geq d_Y(a, b), \forall a, b \in Y_k$ . Suponha que  $\varphi_k$  seja aplicação  $C_k$ -bi-Lipschitz intrínseca e que  $C = \max\{C_1, C_2\}$ . Provaremos que se  $d_X(p, q) < \infty$ , então:

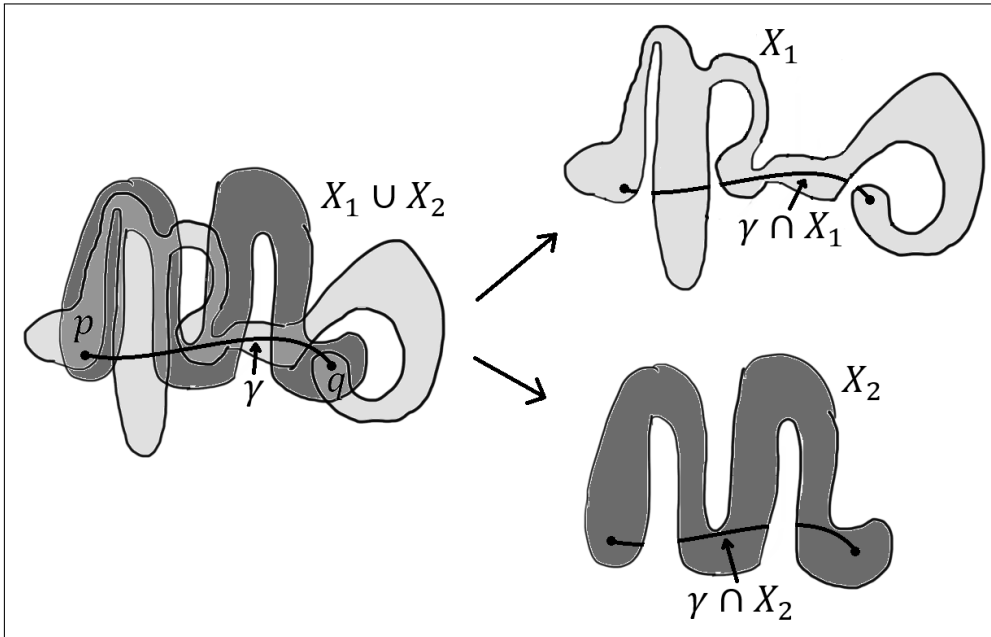
$$\frac{1}{2C} \cdot d_X(p, q) \leq d_Y(\varphi(p), \varphi(q)) \leq 2C \cdot d_X(p, q), \quad \forall p, q \in X$$

Considere uma curva retificável  $\gamma : [0, 1] \rightarrow X$  tal que  $\gamma(0) = p, \gamma(1) = q$  e  $l_X(\gamma) < l + \varepsilon$ , para  $\varepsilon > 0$  suficientemente pequeno. Temos que  $\gamma \cap X_1$  e  $\gamma \cap X_2$  são uniões de curvas e pontos, cada um, cuja soma dos comprimentos em  $X_1, X_2$  é menor ou igual ao comprimento da curva em  $X$ .

Pela Proposição 2.2.4, a soma dos comprimentos em  $Y_1$  de  $\varphi(\gamma \cap X_1) = \varphi_1(\gamma \cap X_1)$  é menor ou igual a  $C_1 \cdot l(\gamma) < C \cdot (l + \varepsilon)$ , e a soma dos comprimentos em  $Y_2$  de  $\varphi(\gamma \cap X_2) = \varphi_2(\gamma \cap X_2)$  é menor ou igual a  $C_2 \cdot l(\gamma) < C \cdot (l + \varepsilon)l$ . Portanto, o comprimento em  $Y$  de  $\varphi(\gamma) = \varphi_1(\gamma \cap X_1) \cup \varphi_2(\gamma \cap X_2)$  é menor ou igual à soma dos comprimentos de  $\varphi_1(\gamma \cap X_1)$  em  $Y_1$  e de  $\varphi_2(\gamma \cap X_2)$  em  $Y_2$ , que é menor que  $C \cdot (l + \varepsilon) + C \cdot (l + \varepsilon) = 2C \cdot (l + \varepsilon)$ . Como podemos tomar  $\varepsilon > 0$  arbitrário, temos que  $l_Y(\varphi(\gamma)) \leq 2C \cdot l_X(\gamma)$ .

Trabalhando com  $\varphi^{-1}$ , provamos de modo similar que  $l_X(\gamma) \leq 2C \cdot l_Y(\varphi(\gamma))$ , o que encerra a demonstração no caso  $d_X(p, q) < \infty$ . Um argumento análogo prova a proposição no caso  $d_Y(\varphi(p), \varphi(q)) < \infty$ , e isso faz com que  $d_X(p, q) = \infty \Leftrightarrow d_Y(\varphi(p), \varphi(q)) = \infty$ , encerrando a demonstração.  $\square$

Figura 1 – Demonstração da Proposição 2.2.10



Fonte: elaborado pelo autor.

### 2.2.3 Diferenciabilidade em aplicações bi-Lipschitz

Esta seção será devotada à demonstração de proposições relacionadas a aplicações Lipschitz diferenciáveis. As ideias de estimativas de curva pelo jacobiano foram baseadas no trabalho realizado em (KURDYKA; ORRO, 1997), e as estimativas acerca da norma da matriz inversa são baseadas nos argumentos vistos em (DAHLEH *et al.*, 2004).

**Proposição 2.2.11.** *Seja  $U \subseteq \mathbb{R}^n$  aberto e conexo por caminhos, e seja  $f : U \rightarrow \mathbb{R}$  uma função diferenciável. Seja  $X = \{(p, f(p)) \mid p \in U\} \subset \mathbb{R}^{n+1}$  o gráfico de  $f$ ,  $\{e_1, \dots, e_{n+1}\}$  a base ortonormal canônica de  $\mathbb{R}^{n+1}$ ,  $R = \text{span}\{e_1, \dots, e_n\} \simeq \mathbb{R}^n$  e  $\pi : \mathbb{R}^{n+1} \rightarrow R$  a projeção, ou seja,  $\pi(p, t) = p$ , para todo  $p \in R$ . Se existe  $\delta > 0$  tal que  $\angle(T_q(X), R) < \frac{\pi}{2} - \delta$ , para todo  $q \in X$ , então  $\pi|_{\bar{X}}$  é uma aplicação bi-Lipschitz intrínseca.*

*Demonstração.* Primeiramente, note que  $\pi|_{\bar{X}}$  é injetiva (pois é projeção de gráfico de função), e a condição  $\angle(T_p(X), R) < \frac{\pi}{2} - \delta$  implica que  $\pi|_X$  é difeomorfismo local. Portanto,  $\pi|_X$  é difeomorfismo global, cuja inversa é  $\varphi : U \rightarrow X$ ;  $\varphi(x_1, \dots, x_n) = (x_1, \dots, x_n, f(x_1, \dots, x_n))$ . Ademais, a condição  $\angle(T_p(X), R) < \frac{\pi}{2} - \delta$  implica também que  $\left| \frac{\partial f}{\partial x_i} \right| < \tan\left(\frac{\pi}{2} - \delta\right) = M$ . O jacobiano de  $\varphi$  é dado por:

$$J_\varphi = \begin{pmatrix} 1 & 0 & \dots & 0 \\ 0 & 1 & \dots & 0 \\ \vdots & \vdots & \ddots & \vdots \\ 0 & 0 & \dots & 1 \\ \frac{\partial f}{\partial x_1} & \frac{\partial f}{\partial x_2} & \dots & \frac{\partial f}{\partial x_n} \end{pmatrix}_{(n+1) \times n}$$

Assim, dados  $a, b \in U$  e  $\varepsilon > 0$ , sendo  $\gamma: [0, 1] \rightarrow X$  uma curva suave de comprimento  $l(\gamma)$  tal que  $\gamma(0) = a, \gamma(1) = b$  e  $l(\gamma) < d_U(a, b) + \varepsilon$ , temos:

$$\begin{aligned} d_X(\varphi(a), \varphi(b)) &\leq l(\varphi(\gamma)) = \int_0^1 \|(\varphi \circ \gamma)'(t)\| dt = \int_0^1 \|J_\varphi(\gamma(t)) \cdot \gamma'(t)\| dt = \\ &= \int_0^1 \sqrt{\|\gamma'(t)\|^2 + (\nabla f(\gamma(t)) \cdot \gamma'(t))^2} dt \leq \int_0^1 \sqrt{1 + M^2} \|\gamma'(t)\| dt = \\ &= \sqrt{1 + M^2} \int_0^1 \|\gamma'(t)\| dt = \sqrt{1 + M^2} \cdot l(\gamma) < \sqrt{1 + M^2} (d_X(a, b) + \varepsilon) \\ &\Rightarrow d_Y(\varphi_0(a), \varphi_0(b)) < \sqrt{1 + M^2} \cdot d_X(a, b) + \sqrt{1 + M^2} \cdot \varepsilon \end{aligned}$$

Como tal desigualdade vale para todo  $\varepsilon > 0$ , então  $d_X(\varphi(a), \varphi(b)) \leq \sqrt{1 + M^2} \cdot d_X(a, b)$ . Isso, somado ao fato de que  $d_X(\varphi(a), \varphi(b)) \geq d_U(a, b)$  (consequência direta da projeção) mostram que  $\varphi$  é bi-Lipschitz intrínseca, donde  $\pi|_X$  também é. Pela Proposição 2.2.3,  $\pi|_{\bar{X}}$  é bi-Lipschitz intrínseca, completando a demonstração.  $\square$

**Proposição 2.2.12.** *Sejam  $X, Y \subseteq \mathbb{R}^n$  conjuntos conexos e abertos, e seja  $\varphi: \bar{X} \rightarrow \bar{Y}$  um homeomorfismo tal que  $\varphi_0 := \varphi|_X: X \rightarrow Y$  é um difeomorfismo. Se  $J_{\varphi_0}$  é positivamente limitado em  $X$ , isto é, se existe  $M > 0$  tal que, para todo  $p \in X$ ,  $\frac{1}{M} < \|J_{\varphi_0}(p)\| < M$  ( $J$  denota o jacobiano) e se uma das duas condições acontecer:*

1.  $J_{\varphi_0}^{-1}$  é positivamente limitado em  $Y$ ;
2. Existe uma constante  $C > 0$  tal que, para todo  $p \in X$ ,  $C > |\det J_{\varphi_0}(p)| > \frac{1}{C}$

Então  $\varphi$  é uma aplicação bi-Lipschitz intrínseca.

**Observação 2.2.13.**  $\|\cdot\|$  denota uma norma matricial fixa. Observe que, como todas as normas matriciais em  $\mathbb{R}^{n^2}$  são equivalentes, então o fato de uma matriz ser positivamente limitado em todo  $X$  ou em todo  $X^{-1}$  independe da norma escolhida. Salvo mencionado contrário, em todas as vezes em que o módulo do jacobiano será calculado, utilizaremos a norma do máximo.

*Demonstração.* Inicialmente, provemos que a condição (2) implica a condição (1). Considere a norma em  $M_n(\mathbb{R})$ :

$$\|A\| := \sup_{\substack{v \in \mathbb{R}^n \\ \|v\|=1}} \|Av\|$$

Sabe-se que, para toda matriz invertível  $A$  de ordem  $n$ :

$$1 = \|I_n\| = \|AA^{-1}\| \leq \|A\| \cdot \|A^{-1}\| \Rightarrow \frac{1}{\|A\|} \leq \|A^{-1}\|$$

E se  $\sigma_1(A), \sigma_2(A), \dots, \sigma_n(A)$  são os valores singulares de  $A$ , com  $\sigma_1(A) \leq \dots \leq \sigma_n(A)$ , então  $\|A\| = \sigma_n(A)$ ,  $\|A^{-1}\| = \frac{1}{\sigma_1(A)}$  e  $\det A = \sigma_1(A) \cdot \sigma_2(A) \dots \sigma_n(A)$ , donde:

$$\begin{aligned} \frac{\|A\|^{n-1}}{\det A} &= \frac{\sigma_n(A)^{n-1}}{\sigma_1(A) \cdot \sigma_2(A) \dots \sigma_n(A)} = \frac{1}{\sigma_1(A)} \cdot \prod_{k=2}^n \left( \frac{\sigma_n(A)}{\sigma_k(A)} \right) \geq \\ &\geq \frac{1}{\sigma_1(A)} \cdot \prod_{k=2}^n \left( \frac{\sigma_k(A)}{\sigma_k(A)} \right) = \frac{1}{\sigma_1(A)} = \|A^{-1}\| \end{aligned}$$

Portanto:

$$\frac{1}{\|A\|} \leq \|A^{-1}\| \leq \frac{\|A\|^{n-1}}{\det A}$$

Dessa forma, se  $A = J_{\varphi_0}(p)$ , temos que  $A^{-1} = J_{\varphi_0^{-1}}(\varphi(p))$ , e como  $\frac{1}{M} < \|A\| < M$  e  $C > \det A, \det A^{-1} > \frac{1}{C}$ , vem:

$$\frac{1}{M} < \frac{1}{\|A\|} \leq \|A^{-1}\| \leq \frac{\|A\|^{n-1}}{\det A} < M^{n-1} \cdot C$$

Demonstrando que  $J_{\varphi_0^{-1}}$  é positivamente limitado em  $Y$ . Portanto, basta provar que  $\varphi$  é bi-Lipschitz assumindo apenas a condição (1). Por simplicidade, suponha que para todo  $p \in X$ ,  $\frac{1}{M} < \|J_{\varphi_0}(p)\|, \|J_{\varphi_0^{-1}}(\varphi(p))\| < M$ .

Dados  $a, b \in X$  e  $\varepsilon > 0$ , seja  $\gamma: [0, 1] \rightarrow X$  uma curva suave de comprimento  $l(\gamma)$  tal que  $\gamma(0) = a, \gamma(1) = b$  e  $l(\gamma) < d_X(a, b) + \varepsilon$ . Temos que:

$$\begin{aligned} d_Y(\varphi_0(a), \varphi_0(b)) &\leq l(\varphi_0(\gamma)) = \int_0^1 \|(\varphi_0 \circ \gamma)'(t)\| dt = \int_0^1 \|J_{\varphi_0}(\gamma(t)) \cdot \gamma'(t)\| dt \leq \\ &\leq \int_0^1 \|J_{\varphi_0}(\gamma(t))\| \cdot \|\gamma'(t)\| dt \leq \int_0^1 M \cdot \|\gamma'(t)\| dt = M \int_0^1 \|\gamma'(t)\| dt = \\ &= M \cdot l(\gamma) < M(d_X(a, b) + \varepsilon) \Rightarrow d_Y(\varphi_0(a), \varphi_0(b)) < M \cdot d_X(a, b) + M\varepsilon \end{aligned}$$

Como a desigualdade acima vale para todo  $\varepsilon > 0$ , temos  $d_Y(\varphi_0(a), \varphi_0(b)) \leq M \cdot d_X(a, b)$ , para todos  $a, b \in X$ . Trabalhando com  $\varphi_0^{-1}$ , obtemos de modo análogo que  $d_X(a, b) \leq M \cdot d_Y(\varphi_0(a), \varphi_0(b))$ , provando assim que  $\varphi_0$  é uma aplicação bi-Lipschitz. Como  $\varphi$  é um homeomorfismo, a Proposição 2.2.3 garante que  $\varphi$  é aplicação bi-Lipschitz.  $\square$

#### 2.2.4 Conjuntos normalmente mergulhados

Aqui, definiremos o conceito de conjunto Lipschitz normalmente mergulhado e mostraremos alguns resultados técnicos elementares que serão úteis no decorrer desta tese.

**Definição 2.2.14.** Dizemos que um conjunto conexo por caminhos  $X \subset \mathbb{R}^n$  é **Lipschitz Normalmente Mergulhado (LNE)** se a métrica exterior e a métrica intrínseca são bi-Lipschitz equivalentes, isto é, existe uma constante  $C \geq 1$  tal que:

$$\frac{1}{C} \cdot d_X(x, y) \leq d(x, y); \quad \forall x, y \in X$$

Neste caso, dizemos que  $X$  é  $C$ -LNE. Dado  $p \in X$ , dizemos que  $X$  é **Lipschitz normalmente mergulhado em  $p$**  (abreviadamente LNE em  $p$ ) se existe uma vizinhança  $U$  de  $p$  tal que  $X \cap U$  é LNE, ou, equivalente, que o germe  $(X, p)$  é LNE. Caso  $X \cap U$  seja  $C$ -LNE, para algum  $C \geq 1$ , dizemos que  $(X, p)$  é  $C$ -LNE.

**Exemplo 2.2.15.** O gráfico da função modular  $X = \{(t, \|t\|) : t \in \mathbb{R}\}$  é normalmente mergulhado. Com efeito, dados  $x = (a, \|a\|)$  e  $y = (b, \|b\|)$ , temos dois casos a analisar:

- Se  $ab \geq 0$ , então  $d(x, y) = \sqrt{2}|a - b| = d_X(x, y)$ .
- Se  $ab < 0$  então  $d(x, y) = \sqrt{(a\sqrt{2})^2 + (b\sqrt{2})^2} \geq |a| + |b| = \frac{1}{\sqrt{2}}d_X(x, y)$

Em todo caso,  $X$  é  $\sqrt{2}$ -LNE.

**Exemplo 2.2.16.** O gráfico da cúspide  $X = \{(t, |t|^{1/2}) : t \in \mathbb{R}\}$  não é normalmente mergulhado. De fato, para cada  $n \in \mathbb{N}$ , defina  $x_n = (\frac{1}{n}, \frac{1}{\sqrt{n}})$  e  $y_n = (-\frac{1}{n}, \frac{1}{\sqrt{n}})$ . Temos que  $d(x_n, y_n) = 2n^{-1}$  e  $d_X(x_n, y_n) = 2n^{-1/2} + o(n^{-1/2})$ . Assim:

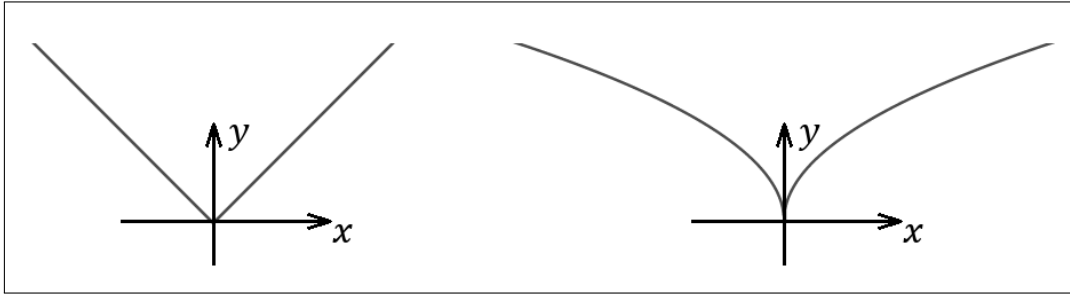
$$d_X(x_n, y_n) = (\sqrt{n} + o(\sqrt{n}))d(x_n, y_n)$$

Como  $\sqrt{n} + o(\sqrt{n}) \rightarrow \infty$  quando  $n \rightarrow \infty$ , não existe  $C > 1$  tal que  $X$  é  $C$ -LNE.

As duas proposições seguintes são bastante conhecidos dentro da teoria de Geometria Lipschitz, mas daremos uma demonstração a cada uma delas, por completude.



Figura 2 – Representações geométricas dos Exemplos 2.2.15 e 2.2.16



Fonte: elaborado pelo autor.

**Proposição 2.2.17.** *Seja  $X \subseteq \mathbb{R}^n$  um conjunto semialgébrico normalmente mergulhado e seja  $\Phi : \mathbb{R}^n \rightarrow \mathbb{R}^n$  uma aplicação bi-Lipschitz exterior. Então,  $\Phi(X) \subseteq \mathbb{R}^n$  é um conjunto semialgébrico normalmente mergulhado.*

*Demonstração.* Suponha que  $C > 1$  é tal que  $X$  é  $C$ -LNE e  $\Phi$  é  $C$ -bi-Lipschitz exterior. Dados  $a = \Phi(p), b = \Phi(q) \in X$ , seja  $\gamma \subset X$  uma curva conectando  $p$  a  $q$ , de comprimento  $l$ . Como  $X$  é  $C$ -LNE, temos  $l \leq C \cdot \|p - q\|$ , e como  $\Phi$  é  $C$ -bi-Lipschitz exterior, pela Proposição 2.2.4, temos que o comprimento de  $\Phi(\gamma)$  é menor ou igual a  $C \cdot l$ . Portanto:

$$d_{\Phi(X)}(a, b) \leq C \cdot l \leq C^2 \cdot \|p - q\| \leq C^3 \cdot \|a - b\|$$

Mostrando que  $\Phi(X)$  é  $C^3$ -LNE. □

**Proposição 2.2.18.** *Sejam  $x_1 < x_2$  números reais e sejam  $f, g : [x_1, x_2] \rightarrow \mathbb{R}$  funções suaves por partes satisfazendo  $f(x) \geq g(x)$ , para todo  $x \in [x_1, x_2]$ . Se existe  $M > 0$  tal que  $|f'(x)|, |g'(x)| < M$ , para todo  $x$  onde  $f, g$  são diferenciáveis, então o conjunto:*

$$X = \{(x, y) \in \mathbb{R}^2 \mid x_1 \leq x \leq x_2 ; g(x) \leq y \leq f(x)\}$$

*É normalmente mergulhado.*

*Demonstração.* Inicialmente, provemos o seguinte lema auxiliar:

**Lema 2.2.19.** *Sejam  $A, B, C \in \mathbb{R}^n$  pontos distintos. Se existe  $T > 1$  tal que  $\cos(\angle ABC) \leq 1 - \frac{2}{T^2}$ , então:*

$$d(A, B) + d(B, C) \leq T \cdot d(A, C)$$

*Demonstração.* Por simplicidade, seja  $x = d(A, B)$  e  $y = d(B, C)$ . Pela lei dos cossenos em  $ABC$ , temos que:

$$d(A, C)^2 = x^2 + y^2 - 2xy \cdot \cos(\angle ABC) \geq x^2 + y^2 - 2xy \left(1 - \frac{2}{T^2}\right) =$$

$$= \frac{1}{T^2} (x+y)^2 + \left(1 - \frac{1}{T^2}\right) (x-y)^2 \geq \frac{1}{T^2} (x+y)^2 = \left(\frac{d(A,B) + d(B,C)}{T}\right)^2$$

E o resultado está demonstrado.  $\square$

Voltando à demonstração da proposição, sejam  $A = (x_A, y_A), B = (x_B, y_B) \in X$ . Se  $x_A = x_B$ ,  $\|A - B\| = d_X(A, B)$ . Caso  $x_A \neq x_B$ , suponha sem perda de generalidade  $x_A < x_B$  e suponha que  $\lambda \in [0, 1]$  satisfaça  $y_A = \lambda g(x_A) + (1 - \lambda)f(x_A)$ . Defina:

$$\gamma: [x_A, x_B] \rightarrow \mathbb{R}; \gamma(x) = \lambda g(x) + (1 - \lambda)f(x), \forall x \in [x_A, x_B]$$

E seja  $C = (x_B, f(x_B))$ . Observe que, para todo  $x$  onde  $f, g$  são diferenciáveis:

$$|\gamma'(x)| \leq \lambda |g'(x)| + (1 - \lambda)|f'(x)| < \lambda M + (1 - \lambda)M = M$$

Daí, o comprimento de  $\gamma$  é:

$$l(\gamma) = \int \sqrt{1 + f'(x)^2} dx \leq \int \sqrt{1 + M^2} dx = \sqrt{1 + M^2}(x_C - x_A) \leq \sqrt{1 + M^2} \cdot \|A - C\|$$

Onde a integral foi tomada sobre todos os pontos suaves de  $f$  e  $g$ . Caso  $C \neq B$ , seja  $\alpha$  o ângulo entre os segmentos  $\overline{AC}$  e  $\overline{CB}$ . Note que, de  $|\gamma'(x)| \leq M$  e de  $x_C = x_B$ , vem:

$$|\cot \alpha| = \frac{|y_C - y_A|}{x_C - x_A} \leq M \Rightarrow \cos \alpha = \frac{1}{\frac{1}{\cot^2 \alpha} + 1} \leq \frac{1}{\frac{1}{M^2} + 1} = 1 - \frac{2}{T^2}$$

Para algum  $T > 1$ . Daí, sendo  $N = \sqrt{1 + M^2} \cdot T$  e usando o Lema 2.2.19, vem:

$$\begin{aligned} d_X(A, B) &\leq d_X(A, C) + d_X(C, B) = d_X(A, C) + \|C - B\| \leq l(\gamma) + \|C - B\| \leq \\ &\leq \sqrt{1 + M^2} \cdot \|A - C\| + \|C - B\| \leq \sqrt{1 + M^2} \cdot (\|A - C\| + \|C - B\|) \\ &\leq \sqrt{1 + M^2} \cdot T \cdot \|A - B\| \Rightarrow d_X(A, B) \leq (T \sqrt{1 + M^2}) \cdot \|A - B\| \end{aligned}$$

Observe que tal conclusão também vale para  $B = C$ , pois:

$$d_X(A, B) \leq l \leq \sqrt{1 + M^2} \cdot \|A - B\| \leq \sqrt{1 + M^2}(T \cdot \|A - B\|) = (T \sqrt{1 + M^2}) \cdot \|A - B\|$$

Logo como  $d_X(A, B) \geq \|A - B\|$ , segue que  $X$  é LNE, finalizando a prova.  $\square$

Para finalizar essa seção, enunciaremos dois resultados relevantes envolvendo conjuntos normalmente mergulhados. O primeiro desses resultados é o seguinte:

**Teorema 2.2.20** (Decomposição em Panquecas). *Seja  $X \subset \mathbb{R}^n$  um conjunto semialgébrico fechado. Então existe uma estratificação  $(X, 0) = \cup (X_k, 0)$  tal que:*

- *Cada  $X_k$  é normalmente mergulhado em  $\mathbb{R}^n$ ;*
- *$\dim(X_i \cap X_j) < \min\{\dim X_i, \dim X_j\}$ , para cada  $i \neq j$ .*

*Uma decomposição satisfazendo tais condições é denominada **Decomposição em Panquecas** de  $X$ .*

**Observação 2.2.21.** *O termo "decomposição em panquecas" foi introduzido em (BIRBRAIR; MOSTOWSKI, 2000), mas o conceito foi introduzido inicialmente em (KURDYKA, 1992), sob outro nome.*

O resultado a seguir, demonstrado por Mendes e Sampaio em (MENDES; SAMPAIO, 2021), será de suma importância para a conclusão de muitas proposições presentes neste trabalho.

**Teorema 2.2.22.** *Seja  $X \subset \mathbb{R}^n$  um conjunto semialgébrico fechado, com  $0 \in X$ , tal que  $(X - 0, 0)$  é um germe conexo. Então,  $X$  é LNE em 0 se, e somente se, existe uma constante  $C \geq 1$  tal que  $X \cap \{x \in \mathbb{R}^n : \|x\| = t\}$  é C-LNE para todo  $t > 0$  suficientemente pequeno.*

## 2.3 Geometria Lipschitz das superfícies

### 2.3.1 Equivalências bi-Lipschitz

Nesta seção, introduziremos os conceitos de equivalência bi-Lipschitz intrínseca, exterior e ambiente. Observaremos também, mediante exemplos, que tais classificações em conjuntos semialgébricos não são equivalentes de maneira geral.

**Definição 2.3.1.** *Dados dois conjuntos  $X_1 \subset \mathbb{R}^m$ ,  $X_2 \subset \mathbb{R}^n$ , dizemos que  $X_1, X_2$  são bi-Lipschitz exterior (resp. intrínseca, ambiente) equivalentes se existe uma aplicação bi-Lipschitz exterior (resp. intrínseca, ambiente) entre  $X_1$  e  $X_2$ . Dados  $p \in X_1$ ,  $q \in X_2$ , dizemos que dois germes  $(X_1, p)$ ,  $(X_2, q)$  são bi-Lipschitz exterior (resp. intrínseca, ambiente) equivalentes se existem vizinhanças  $U$  de  $p$  e  $V$  de  $q$  e uma aplicação bi-Lipschitz exterior (resp. intrínseca, ambiente) entre  $X_1 \cap U$  e  $X_2 \cap V$ .*

**Observação 2.3.2.** *Não é difícil ver que as equivalências bi-Lipschitz exterior, intrínseca e ambiente definem uma relação de equivalência tanto nos conjuntos semialgébricos quanto no conjunto dos germes de conjuntos semialgébricos.*

**Observação 2.3.3.** *Pela Proposição 2.2.4, se  $X_1, X_2$  são bi-Lipschitz exterior equivalentes, então  $X_1, X_2$  são bi-Lipschitz intrínseca equivalentes. A recíproca, entretanto, não é verdadeira. Por exemplo, se:*

$$X_1 = \{(t, |t|) : -1 \leq t \leq 1\} \quad ; \quad X_2 = \{(t, |t|^{1/2}) : -1 \leq t \leq 1\}$$

*Então a aplicação  $\varphi : X_1 \rightarrow X_2, (t, |t|) \mapsto (t, |t|^{1/2})$  é  $\sqrt{2}$ -bi-Lipschitz intrínseca, mostrando que  $X_1, X_2$  são bi-Lipschitz intrínseca equivalentes. Entretanto se existisse uma aplicação  $\Phi : X_1 \rightarrow X_2$  bi-Lipschitz exterior, então como  $X_1$  é LNE (Exemplo 2.2.15), pela Proposição 2.2.17,  $\Phi(X_1) = X_2$  é LNE, o que é uma contradição pelo Exemplo 2.2.16.*

**Observação 2.3.4.** *É evidente que se  $X_1, X_2$  são bi-Lipschitz ambiente equivalentes, então  $X_1, X_2$  são bi-Lipschitz exterior equivalentes. A recíproca, entretanto, não é verdadeira. Por exemplo, considere  $k > 4$  inteiro e considere os conjuntos  $X_1 = U_1 \cup U_2 \cup U_3$  e  $X_2 = U_1 \cup V_2 \cup V_3$ , onde:*

$$U_1 = \left\{ (x, y, t) \in \mathbb{R}^3 \mid t \geq 0; ((x-t)^2 + y^2 - t^2)((x+t)^2 + y^2 - t^2) = t^k \right\}$$

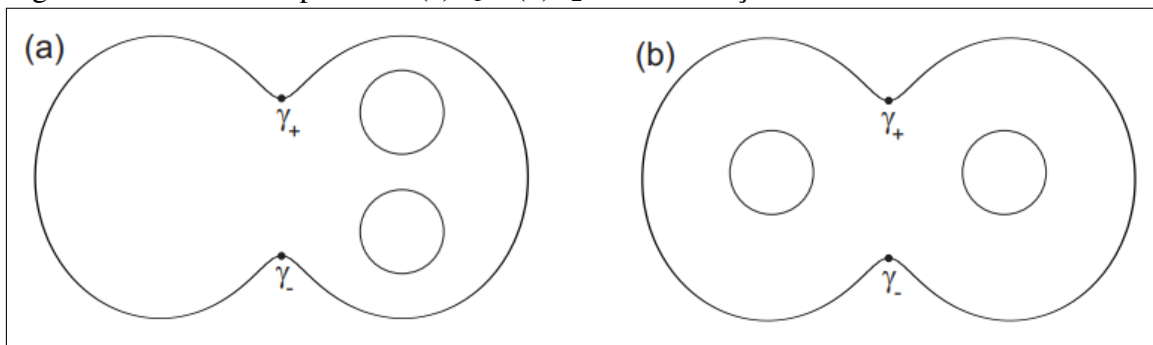
$$U_2 = \left\{ (x, y, t) \in \mathbb{R}^3 \mid t \geq 0; (x-t)^2 + (y - \frac{t}{2})^2 = \frac{t^2}{16} \right\}$$

$$U_3 = \left\{ (x, y, t) \in \mathbb{R}^3 \mid t \geq 0; (x-t)^2 + (y + \frac{t}{2})^2 = \frac{t^2}{16} \right\}$$

$$V_2 = \left\{ (x, y, t) \in \mathbb{R}^3 \mid t \geq 0; (x-t)^2 + y^2 = \frac{t^2}{16} \right\}$$

$$V_3 = \left\{ (x, y, t) \in \mathbb{R}^3 \mid t \geq 0; (x+t)^2 + y^2 = \frac{t^2}{16} \right\}$$

Figura 3 – Link das superfícies (a) $X_1$  e (b) $X_2$  da Observação 2.3.4



Fonte: (BIRBRAIR; GABRIELOV, 2019)

Os germes, na origem, das superfícies  $X_1$  e  $X_2$  são bi-Lipschitz exterior equivalentes, ambiente topologicamente equivalentes (isto é, existe um homeomorfismo  $\psi : (\mathbb{R}^3, 0) \rightarrow (\mathbb{R}^3, 0)$  tal que  $\psi(X_1, 0) = \psi(X_2, 0)$ ), mas não são bi-Lipschitz equivalentes. A prova pode ser vista em (BIRBRAIR; GABRIELOV, 2019), Theorem 2.1., e a ideia principal de tal demonstração é a utilização do Teorema 2.3.26.

### 2.3.2 Arcos, triângulos de Hölder e cornetas

A seguir, definiremos as estruturas básicas necessárias para o estudo da geometria Lipschitz de superfícies semialgébricas. Enunciaremos também algumas proposições elementares acerca dessas estruturas.

**Definição 2.3.5.** Um arco em  $\mathbb{R}^n$  com ponto inicial  $p$  é um germe na origem de uma aplicação semialgébrica  $\gamma : [0, t_0) \rightarrow \mathbb{R}^n$ , para algum  $t_0 > 0$ , tal que  $\gamma(0) = p$ . Usualmente vamos identificar um arco  $\gamma$  com sua imagem  $\gamma(t) \in \mathbb{R}^n$  obtida ao intersectar  $\gamma$  com uma esfera de centro  $p$  e raio  $t$ , para  $t$  suficientemente pequeno. Note que tal definição é consistente, pelo Teorema da Estrutura Cônica Local.

Todo arco com ponto inicial na origem será denotado simplesmente como arco. Dado um germe na origem de um conjunto  $X$ , o conjunto de todos os arcos  $\gamma \subset X$  é denominado **link de Valette de  $X$**  e é denotado por  $V(X)$  (Veja (VALETTE, 2007)).

**Definição 2.3.6.** Dado um conjunto  $X$  e dois arcos distintos  $\gamma_1, \gamma_2 \subset V(X)$ , definimos a **ordem de tangência de  $\gamma_1, \gamma_2$  na métrica exterior**, denotada por  $tord(\gamma_1, \gamma_2)$ , como o expoente  $\beta \in \mathbb{Q}$  tal que existe uma constante  $c > 0$  satisfazendo:

$$\|\gamma_1(t) - \gamma_2(t)\| = ct^\beta + o(t^\beta)$$

Observe que, se  $\gamma_1 \neq \gamma_2$ , pelo teorema de Newton-Puiseux, tais constantes  $c, \beta$  existem. Definimos ainda  $tord(\gamma, \gamma) = \infty$  para toda curva  $\gamma \in V(X)$ . De modo similar, definimos a **ordem de tangência de  $\gamma_1, \gamma_2$  na métrica intrínseca**, e denotamos tal ordem por  $tord_X(\gamma_1, \gamma_2)$ .

Tais ordens de contato são números racionais (ou elementos do corpo de expoentes de uma estrutura o-minimal) satisfazendo  $1 \leq tord(\gamma_1, \gamma_2) \leq tord_X(\gamma_1, \gamma_2)$ , para todos  $\gamma_1, \gamma_2 \in V(X)$ . Ademais,  $X$  é LNE se, e somente se,  $tord(\gamma_1, \gamma_2) \leq tord_X(\gamma_1, \gamma_2)$ , para todos  $\gamma_1, \gamma_2 \in V(X)$  (veja (BIRBRAIR; MENDES, 2018)).

As definições seguintes foram extraídas de (BIRBRAIR, 1999).

**Definição 2.3.7.** Um conjunto  $A \subset \mathbb{R}^n$  é um **triângulo curvilinear com vértices**  $a_1, a_2, a_3$  se:

- $A$  é uma subvariedade topológica 2-dimensional com fronteira;
- A fronteira  $\partial A$  de  $A$  é a união dos pontos  $a_1, a_2, a_3$  e as curvas suaves conectando esses pontos, que são chamadas de arestas do triângulo;
- $\text{int}(A)$  é suave.

Podemos escolher um de seus vértices e denotá-lo como **vértice principal do triângulo**. Se  $a_1$  é vértice principal de  $A$ , denotamos os **arcos de fronteira de**  $A$  como sendo os germes, em  $a_1$ , de cada uma das arestas conectando  $a_1$  com  $a_2$  e  $a_1$  com  $a_3$ .

**Observação 2.3.8.** Dada uma superfície  $n$ -dimensional  $X$ , o conjunto dos pontos suaves de  $X$  é formado por todos os pontos  $p \in X$  tais que o cone tangente a  $X$  em  $p$  é isomorfo a  $\mathbb{R}^n$ . Os demais pontos de  $X$  serão chamados de singulares e denotamos o conjunto de tais pontos como  $\text{sing}(X)$ .

**Definição 2.3.9.** Dado um número racional  $\alpha \geq 1$ , definimos o  **$\alpha$ -triângulo de Hölder padrão** como o conjunto  $T_\alpha = \{(x, y) \in \mathbb{R}^2 \mid 0 \leq x \leq 1; 0 \leq y \leq x^\alpha\}$ . Definimos também as curvas  $l_0 := \{(x, 0) \in \mathbb{R}^2 : 0 \leq x \leq 1\}$  e  $l_1 := \{(x, x^\alpha) \in \mathbb{R}^2 : 0 \leq x \leq 1\}$  como os **arcos de fronteira de**  $T_\alpha$ . Dizemos que um conjunto  $X \subset \mathbb{R}^n$  é um  **$\alpha$ -triângulo de Hölder com vértice principal em**  $a \in X$  se existe uma aplicação bi-Lipschitz intrínseca  $\varphi : (T_\alpha, 0) \rightarrow (X, a)$ . Aqui,  $T_\alpha, X$  são vistos como espaços métricos com a métrica induzida de  $\mathbb{R}^2, \mathbb{R}^n$ , respectivamente, e os conjuntos  $\varphi(l_0, 0), \varphi(l_1, 0)$  são definidos como os arcos de fronteira de  $X$ .

**Definição 2.3.10.** Dado um número racional  $\beta \geq 1$ , definimos a  **$\beta$ -corneta padrão** como o conjunto  $H_\beta = \{(x, y, t) \in \mathbb{R}^3 \mid 0 \leq t \leq 1; x^2 + y^2 = t^{2\beta}\}$ . Dizemos que um conjunto  $X \subset \mathbb{R}^n$  é uma  **$\beta$ -corneta com vértice principal em**  $a \in X$  se existe uma aplicação bi-Lipschitz intrínseca  $\varphi : (H_\beta, 0) \rightarrow (X, a)$ . Aqui,  $H_\beta$  e  $X$  são vistos como espaços métricos com a métrica induzida de  $\mathbb{R}^2$  e  $\mathbb{R}^n$ , respectivamente.

**Observação 2.3.11.** Para cada  $n \geq 2$  inteiro, se considerarmos o mergulho  $f : \mathbb{R}^2 \rightarrow \mathbb{R}^n$ ;  $f(x, y) = (y, 0, \dots, 0, x)$ ;  $\forall (x, y) \in \mathbb{R}^2$ , definimos, para cada número racional  $\alpha \geq 1$ , o  **$\alpha$ -triângulo de Hölder padrão mergulhado em  $\mathbb{R}^n$**  como o conjunto  $f(T_\alpha)$ . É fácil ver que o  **$\alpha$ -triângulo de Hölder padrão mergulhado em  $\mathbb{R}^n$**  é um  **$\alpha$ -triângulo de Hölder com vértice principal na origem**.

**Proposição 2.3.12.** *Sejam  $\alpha_1, \alpha_2, \beta_1, \beta_2 \in \mathbb{Q}_{\geq 1}$ , com  $\alpha_1 \neq \alpha_2$  e  $\beta_1 \neq \beta_2$ . Então, os germes  $(T_{\alpha_1}, 0)$ ,  $(T_{\alpha_2}, 0)$  não são bi-Lipschitz intrínseca equivalentes, e os germes  $(H_{\beta_1}, 0)$ ,  $(H_{\beta_2}, 0)$  não são bi-Lipschitz intrínseca equivalentes.*

*Demonstração.* Veja (BIRBRAIR, 1999), Proposition 3.1, Lemma 5.1. □

**Proposição 2.3.13.** *Seja  $f : (0, t_0) \rightarrow \mathbb{R}$  uma função semialgébrica cuja expansão na série de Newton-Puiseux é dada por  $f(t) = at^\alpha + o(t^\alpha)$ , com  $a > 0$  e  $\alpha \in \mathbb{Q}_{\geq 1}$ . Seja ainda  $X = (0, 0) \cup \{(x, y) \in \mathbb{R}^2 \mid 0 \leq y \leq f(x); 0 < x < t_0\}$ . Então  $X$  é um  $\alpha$ -triângulo de Hölder com vértice principal na origem.*

*Demonstração.* Veja (BIRBRAIR, 1999), Proposition 4.1. □

**Proposição 2.3.14.** *Seja  $X \subset \mathbb{R}^n$  um conjunto semialgébrico fechado e seja  $a \in X$ .*

- *Se o link de  $X$  em  $a$  é isomorfo a  $[0, 1]$ , então  $X$  é um  $\alpha$ -triângulo de Hölder, para algum racional  $\alpha \geq 1$ . Em particular, todo triângulo curvilíneo é um triângulo de Hölder.*
- *Se o link de  $X$  em  $a$  é isomorfo a  $\mathbb{S}^1$ , então  $X$  é uma  $\beta$ -corneta, para algum racional  $\beta \geq 1$ .*

*Demonstração.* Imediato por Lemma 4.2, 4.3 e 5.1 de (BIRBRAIR, 1999). □

### 2.3.3 Complexos de Hölder e operações

Ainda de acordo com as definições feitas em (BIRBRAIR, 1999), neste seção veremos o conceito de complexo de Hölder, tanto abstrato quanto geométrico, e suas propriedades básicas.

**Definição 2.3.15.** *Seja  $G$  um grafo sem laço nem vértices isolados,  $V(G)$  é o conjunto dos vértices de  $G$  e  $E(G)$  é o conjunto das arestas de  $G$ . Definimos um **complexo de Hölder (abstrato) associado a  $G$**  como qualquer par  $(G, f)$  onde  $f : E(G) \rightarrow \mathbb{Q}$  é uma função de valor racional tal que  $f(e) \geq 1$ , para todo  $e \in E(G)$ . Dizemos que dois complexos de Hölder  $(G_1, f_1)$  e  $(G_2, f_2)$  são **equivalentes (ou isomorfos)** se existir um isomorfismo de grafos  $i : G_1 \rightarrow G_2$  tal que, para todo  $e \in E(G_1)$ , temos  $f_2(i(e)) = f_1(e)$ . Não é difícil ver que o isomorfismo de complexos de Hölder é uma relação de equivalência nos complexos de Hölder.*

**Definição 2.3.16.** *Seja  $(G, f)$  um complexo de Hölder. O conjunto  $X \subset \mathbb{R}^n$  é chamado de **complexo de Hölder geométrico correspondente de  $(G, f)$**  com vértice principal  $a \in X$  se:*

1. existe um homeomorfismo  $\Psi : CG \rightarrow X$ , onde  $CG$  é o cone topológico sobre  $G$ , tal que  $\Psi(A) = a$ , onde  $A$  é o vértice de  $CG$ ;
2. para cada  $e \in E(G)$ , o conjunto  $\Psi(Ce)$  é um  $f(e)$ -triângulo de Hölder (semialgêbrico) com vértice principal em  $a$ , onde  $Ce \subset CG$  é um subcone sobre  $e$ .

A aplicação  $\Psi$  é denominada aplicação representação de  $(G, f)$ .

**Theorem 2.3.17.** *Seja  $X \subset \mathbb{R}^n$  um conjunto semialgêbrico 2-dimensional puro fechado e seja  $a \in X$ . Então existe um número  $\varepsilon > 0$ , um complexo de Hölder  $(G, f)$  tal que  $\overline{\mathbb{B}^n(a, \varepsilon)} \cap X$  é um complexo de Hölder geométrico semialgêbrico correspondente a  $(G, f)$ , com vértice principal  $a$ . Aqui,  $\overline{\mathbb{B}^n(a, \varepsilon)} \subset \mathbb{R}^n$  denota a bola fechada centrada em  $a$  e de raio  $\varepsilon$ . Em outras palavras, o germe  $(X, a)$  é um complexo de Hölder geométrico semialgêbrico correspondente a  $(G, f)$*

*Demonstração.* Veja (BIRBRAIR, 1999), Theorem 6.1. □

**Definição 2.3.18.** *Seja  $G$  um grafo sem laço nem vértices isolados e seja  $v_0 \in V(G)$ .*

1. Dizemos que  $v_0 \in V(G)$  é um vértice não crítico de  $G$  se for incidente com exatamente duas arestas diferentes  $e_1, e_2 \in E(G)$  e essas arestas conectam dois vértices respectivos diferentes  $v_1, v_2 \in V(G)$  com  $v_0$ .
2. Dizemos que  $v_0 \in V(G)$  é um vértice de laço de  $G$  se  $v_0$  é conectado com exatamente duas arestas diferentes  $e_1, e_2 \in E(G)$  e essas arestas conectam um mesmo vértice  $v_0$ .
3. Dizemos que  $v_0$  é vértice crítico de  $G$  se  $v_0$  não é vértice não crítico, nem vértice de laço de  $G$ .

**Definição 2.3.19.** *Seja  $G$  um grafo sem laço nem vértices isolados e seja  $v_0 \in V(G)$  um vértice não crítico. Uma cirurgia  $\Omega_{v_0}$  é uma operação que transforma o grafo  $G$  no grafo  $\Omega_{v_0}(G)$ , obtido ao excluir  $v_0$ , suas duas arestas incidentes  $e_1, e_2$  conectadas respectivamente a  $v_1, v_2$ , e em seguida conectar  $v_1, v_2$  por uma aresta  $e$ . Dizemos que  $G$  é um grafo simplificado se houver apenas vértices críticos e de laço de  $G$ . Finalmente, dizemos que  $G'$  é a simplificação de  $G$  se  $G'$  é grafo simplificado e  $G'$  é obtido de  $G$  usando um número finito (possivelmente nenhum) de cirurgias  $\Omega_v$ .*

**Proposição 2.3.20.** *As seguintes afirmações sobre grafos finitos sem laços, nem vértices isolados  $G, G_1, G_2$  são verdadeiras:*

1.  $G$  possui uma simplificação e tal simplificação é única a menos de isomorfismo.
2. Se  $G'_1, G'_2$  são as respectivas simplificações de  $G_1$  e  $G_2$ , e se  $G_1, G_2$  são grafos homeomorfos na topologia natural de grafos, então  $G'_1$  e  $G'_2$  são isomorfos.



*Demonstração.* Veja (BIRBRAIR, 1999), Theorem 7.2. □

**Definição 2.3.21.** *Seja  $(G, f)$  um complexo de Hölder. Dizemos que o complexo de Hölder  $(G', f')$  é obtido de  $(G, f)$  se realizarmos em  $(G, f)$  uma das duas operações seguintes:*

- **Operação  $\Omega_{v_0}$ :** *Suponha que o grafo  $G$  não é simplificado e que  $v_0 \in V(G)$  é um vértice não crítico, com arestas incidentes  $e_1, e_2$  conectadas respectivamente a  $v_1, v_2$ . Então defina  $G' = \Omega_{v_0}(G)$  e se  $e$  é a aresta conectando  $v_1$  e  $v_2$ , defina  $f'(e) = \min\{f(e_1), f(e_2)\}$ ; para as demais arestas  $e$ , defina  $f'(e) = f(e)$ .*
- **Operação  $\Delta_{v_0}$ :** *Suponha que  $v_0$  é um vértice de laço de  $G$ , conectado a  $\tilde{v}_0$  por duas arestas  $e_1, e_2$ . Então defina  $G' = G$  e  $f'(e_1) = f'(e_2) = \min\{f(e_1), f(e_2)\}$ ; para as demais arestas  $e$ , defina  $f'(e) = f(e)$ .*

*Dizemos que o complexo de Hölder  $(G, f)$  é simplificado se as operações  $\Omega_{v_0}$  e  $\Delta_{v_0}$  não podem ser aplicadas a  $(G, f)$ . Finalmente, dizemos que o complexo de Hölder  $(G', f')$  é a simplificação de  $(G, f)$  se:*

1.  $(G', f')$  é simplificado.
2.  $(G', f')$  é obtido de  $(G, f)$  usando as operações  $\Omega_{v_0}$  ou  $\Delta_{v_0}$  um número finito de vezes.

**Observação 2.3.22.** *Cada complexo de Hölder possui uma simplificação. Duas simplificações do mesmo complexo de Hölder são isomorfas (Veja (BIRBRAIR, 1999), Theorem 7.2).*

**Lema 2.3.23** (Lema de Simplificação). *Seja  $X \subset \mathbb{R}^n$  um conjunto semialgébrico 2-dimensional puro fechado e seja  $a \in X$ . Seja  $(G, f)$  o complexo de Hölder tal que  $(X, a)$  é um complexo de Hölder geométrico semialgébrico correspondente a  $(G, f)$ . Seja  $(G', f')$  a simplificação de  $(G, f)$ . Então,  $(X, a)$  é um complexo de Hölder geométrico semialgébrico correspondente a  $(G', f')$ . A simplificação  $(G', f')$  de  $(G, f)$  é chamada de **Complexo de Hölder Canônico de  $X$  em  $a$** .*

*Demonstração.* Veja (BIRBRAIR, 1999), Lemma 8.1. □

### 2.3.4 Teoremas de classificação e realização

Nesta última parte, enunciaremos alguns dos resultados mais relevantes acerca da classificação de germes de superfícies e conjuntos semialgébricos sob equivalência Lipschitz, bem como algumas conjecturas a respeito.

O estudo das cornetas, triângulos e complexos de Hölder realizados em (BIRBRAIR, 1999) resultaram na completa classificação de germes de superfícies 2-dimensionais sob equivalência bi-Lipschitz intrínseca. O critério de classificação é o que segue.

**Teorema 2.3.24** (Teorema de Classificação Intrínseca). *Sejam  $X_1, X_2 \subset \mathbb{R}^n$  conjuntos semialgêbricos 2-dimensionais puros fechados e sejam  $a_1 \in X_1, a_2 \in X_2$ . Então os germes  $(X_1, a_1)$  e  $(X_2, a_2)$  são bi-Lipschitz intrínseca equivalentes se, e somente se, os complexos de Hölder canônicos de  $X_1$  em  $a_1$  e de  $X_2$  em  $a_2$  são equivalentes.*

*Demonstração.* Veja (BIRBRAIR, 1999), Theorem 8.2. □

Em 1999, Birbrair e Sobolevsky demonstraram em (BIRBRAIR; SOBOLEVSKY, 1999) que qualquer complexo de Hölder pode ser realizado num complexo de Hölder semialgêbrico e geométrico.

**Teorema 2.3.25** (Teorema de Realização). *Seja  $(G, f)$  um complexo de Hölder. Então existe  $n \in \mathbb{N}$  e um conjunto semialgêbrico 2-dimensional puro fechado  $X \subset \mathbb{R}^n$  tal que  $(X, 0)$  é um complexo de Hölder geométrico semialgêbrico correspondente a  $(G, f)$ .*

A classificação de superfícies sob equivalência bi-Lipschitz exterior e ambiente ainda é um problema em aberto. Entretanto, alguns avanços notáveis na resolução desta questão foram realizados. Uma estrutura interessante que revela a profundidade deste problema no caso bi-Lipschitz exterior é o conceito de pizza, que é estudado em (BIRBRAIR *et al.*, 2017). Outro resultado, tratando sobre a equivalência bi-Lipschitz ambiente entre conjuntos, foi demonstrado por Sampaio em (SAMPAIO, 2016), e o seguinte:

**Theorem 2.3.26.** *Sejam  $X, Y \subset \mathbb{R}^n$  conjuntos semialgêbricos e sejam  $x_0 \in X, y_0 \in Y$ . Se os germes  $(X, x_0)$  e  $(Y, y_0)$  são bi-Lipschitz ambiente equivalentes, então os germes de cones tangentes  $(C(X, x_0), x_0)$  e  $(C(Y, y_0), y_0)$  são bi-Lipschitz ambiente equivalentes.*

O resultado a seguir foi provado por Birbrair e Mostowsky em (BIRBRAIR; MOSTOWSKI, 2000), indicando que a análise dessa classificação nos conjuntos LNE é essencial.

**Teorema 2.3.27.** *Todo conjunto semialgêbrico e compacto  $X$  de dimensão  $k$  é bi-Lipschitz intrínseca equivalente a um conjunto normalmente mergulhado  $Y \subset \mathbb{R}^m$ , para algum inteiro positivo  $m$ .*

**Observação 2.3.28.** Em (BIRBRAIR et al., 2021), Birbrair, Fernandes e Jelonek provaram em (BIRBRAIR et al., 2021) que é possível realizar tal mergulho normal se  $m = 2k + 1$ .

Em (BIRBRAIR; GABRIELOV, 2020), a seguinte conjectura foi formulada.

**Conjectura 2.3.29.** *Sejam  $(X, 0)$  e  $(Y, 0)$  duas superfícies semialgébricas 2-dimensionais puras em  $(\mathbb{R}^n, 0)$  que são bi-Lipschitz exterior equivalentes. Suponha também que  $(X, 0)$  e  $(Y, 0)$  são ambiente topologicamente equivalentes.*

- *Se  $n \geq 5$ , então  $(X, 0)$  e  $(Y, 0)$  são bi-Lipschitz ambiente equivalentes.*
- *Se  $(X, 0)$  e  $(Y, 0)$  são LNE, então  $(X, 0)$  e  $(Y, 0)$  são bi-Lipschitz ambiente equivalentes.*

As condições LNE e  $n \geq 5$  são motivadas pelo Teorema 2.3.27 e pelo fato de que há contra-exemplos para  $n = 3, 4$  em (BIRBRAIR; GABRIELOV, 2019). Caso a condição LNE seja ignorada, temos um resultado bastante surpreendente, baseada na "construção de ponte". Para mais detalhes, veja (BIRBRAIR et al., 2023).

**Teorema 2.3.30.** *Para qualquer germe de superfície semialgébrica  $(X, 0) \subset (\mathbb{R}^4, 0)$ , existem infinitos germes de superfícies  $(X_i, 0) \subset (\mathbb{R}^4, 0)$  tais que:*

1. *Para todo  $i$ , os germes  $(X_i, 0)$  são topologicamente ambiente equivalentes a  $(X, 0)$ ;*
2. *Todos os germes  $(X_i, 0)$  são bi-Lipschitz exterior equivalentes a  $(X, 0)$ ;*
3. *Os cones tangentes de todos os germes  $X_i$  na origem são topologicamente ambiente equivalentes;*
4. *Para  $i \neq j$ , os germes  $X_i$  e  $X_j$  não são bi-Lipschitz ambiente equivalentes.*

O grau de liberdade em  $\mathbb{R}^4$  para fazer a construção de ponte não está presente em  $\mathbb{R}^3$ , e por conta disso é possível conjecturar o seguinte:

**Conjectura 2.3.31.** *Para qualquer germe de superfície semialgébrica  $(X, 0) \subset (\mathbb{R}^3, 0)$ , existe apenas um número finito de germes de superfícies  $(X_i, 0) \subset (\mathbb{R}^4, 0)$  tais que:*

1. *Para todo  $i$ , os germes  $(X_i, 0)$  são topologicamente ambiente equivalentes a  $(X, 0)$ ;*
2. *Todos os germes  $(X_i, 0)$  são bi-Lipschitz exterior equivalentes;*
3. *Os cones tangentes de todos os germes  $X_i$  na origem são topologicamente ambiente equivalentes;*
4. *Para  $i \neq j$ , os germes  $X_i$  e  $X_j$  não são bi-Lipschitz ambiente equivalentes.*

O trabalho na presente tese de doutorado visa a resolução parcial da Conjectura 2.3.29 em  $\mathbb{R}^3$ .

### 3 LEMAS TÉCNICOS EM GEOMETRIA LIPSCHITZ AMBIENTE

#### 3.1 Redução a links planos

Demonstraremos nessa seção que o problema principal desta tese pode ser reduzido à análise em superfícies dentro de um tipo de cone específico, cujas seções ortogonais a um eixo são bolas fechadas que podem ser interpretadas como o link plano do mesmo. Tal redução será importante para a consecução de cálculos de aplicações bi-Lipschitz ambiente em capítulos posteriores.

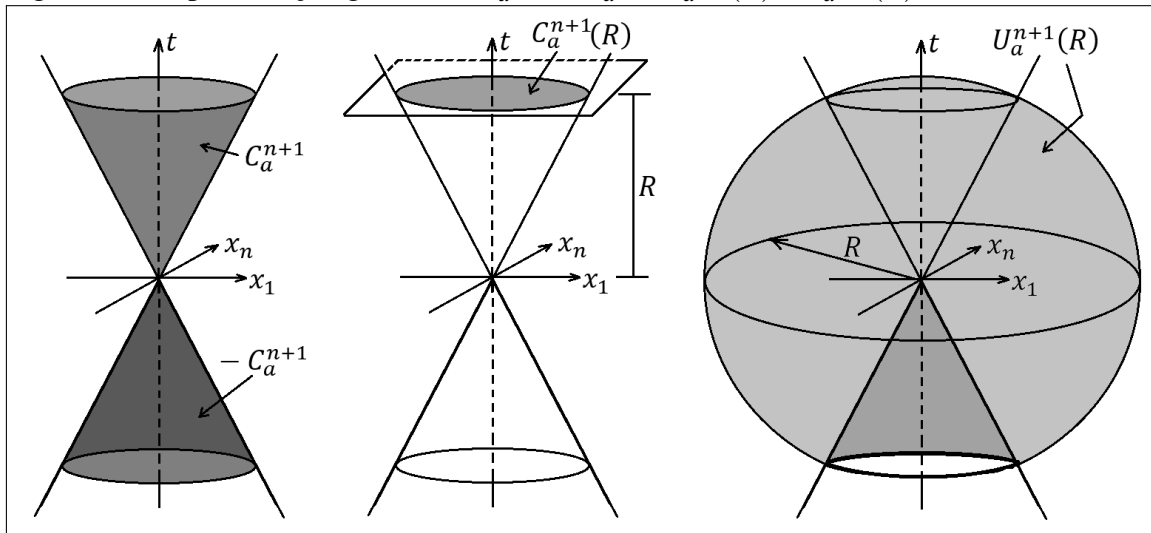
**Definição 3.1.1.** Dados  $n \in \mathbb{N}$  e  $a, R > 0$ , defina os conjuntos:

$$C_a^{n+1} = \{(x_1, \dots, x_n, t) \in \mathbb{R}^{n+1} \mid t \geq 0; x_1^2 + \dots + x_n^2 \leq (at)^2\}$$

$$-C_a^{n+1} = \{-p \mid p \in C_a^{n+1}\}; C_a^{n+1}(R) = C_a^{n+1} \cap \{t = R\}; U_a^{n+1} = \mathbb{R}^{n+1} \setminus -C_a^{n+1}$$

$$S^n(0, R) = \{(x_1, \dots, x_n, t) \in \mathbb{R}^{n+1} \mid x_1^2 + \dots + x_n^2 + t^2 = R^2\}; U_a^{n+1}(R) := U_a^{n+1} \cap S^n(0, R)$$

Figura 4 – Representação gráfica de  $C_a^{n+1}$ ,  $-C_a^{n+1}$ ,  $C_a^{n+1}(R)$  e  $U_a^{n+1}(R)$



Fonte: elaborado pelo autor.

Sabemos que, para cada  $R > 0$ , a projeção estereográfica:

$$\psi_R : S^n(0, R) - \{(0, \dots, 0, -R)\} \rightarrow \mathbb{R}^n \times \{R\}$$

$$(x_1, \dots, x_n, x_{n+1}) \mapsto (\lambda x_1, \dots, \lambda x_n, R); \lambda = \frac{2R}{x_{n+1} + R}$$

é um difeomorfismo, cuja inversa é:

$$\begin{aligned} \psi_R^{-1} : \mathbb{R}^n \times \{R\} &\rightarrow \mathbb{S}^n(0, R) - \{(0, \dots, 0, -R)\} \\ (x_1, \dots, x_n, R) &\mapsto (\lambda' x_1, \dots, \lambda' x_n, (2\lambda' - 1)R) ; \lambda' = \frac{4R^2}{x_1^2 + \dots + x_n^2 + 4R^2} \end{aligned}$$

Ademais, para cada  $a > 2$  suficientemente grande, existe  $a' > 0$  suficientemente pequeno tal que  $\psi_R|_{\overline{U_{a'}^{n+1}(R)}}$  é um difeomorfismo sobre sua imagem  $C_a^{n+1}(R)$ , e que  $a'$  depende apenas de  $a$  (mais precisamente,  $a' = \frac{4a}{a^2+4}$ ).

**Proposição 3.1.2.** *A aplicação  $\psi : \overline{U_{a'}^{n+1}} \rightarrow C_a^{n+1}$  dada por  $\psi(x_1, \dots, x_n, R) = \psi_R(x_1, \dots, x_n, R)$ , para todo  $(x_1, \dots, x_n, R) \in \overline{U_{a'}^{n+1}}$ , é uma aplicação bi-Lipschitz exterior.*

*Demonstração.* Inicialmente, provemos que  $\overline{U_{a'}^{n+1}}$  é LNE. De fato, pelo Teorema 2.2.22, basta provar que existe  $C \geq 1$  tal que  $U_{a'}^{n+1}(R)$  é  $C$ -LNE, para cada  $R > 0$ . Dados  $p, q \in U_{a'}^{n+1}(R)$  e sendo  $o = (0, \dots, 0, -R)$ , temos que existe  $\frac{\pi}{2} > \varepsilon > 0$  de modo que  $\angle poq < \pi - \varepsilon$ . Assim, como a interseção de  $U_{a'}^{n+1}(R)$  com o plano passando por  $p, o, q$  é um arco da circunferência circunscrita ao triângulo  $poq$  (que vamos assumir ter raio  $r$ ), cujo comprimento  $d$  é no máximo  $2(\pi - \varepsilon)r$ , concluímos que:

$$\frac{d_{\overline{U_{a'}^{n+1}}}(p, q)}{d(p, q)} \leq \frac{d}{d(p, q)} \leq \frac{2(\pi - \varepsilon)r}{2r \sin \varepsilon} = \frac{\pi - \varepsilon}{\sin \varepsilon} = C$$

E a afirmação está provada. Como  $\overline{U_{a'}^{n+1}}$  é conexo por caminhos, basta verificar se  $\psi$  satisfaz as condições da Proposição 2.2.12, uma vez que as métricas exterior e intrínseca são equivalentes. De fato,  $\psi|_{U_{a'}^{n+1}}$  é uma aplicação diferenciável cuja inversa é uma aplicação diferenciável dada por:

$$\psi^{-1}|_{\text{int}(C_a^{n+1})}(x_1, \dots, x_n, R) = \psi_R^{-1}(x_1, \dots, x_n, R) ; \forall (x_1, \dots, x_n, R) \in \text{int}(C_a^{n+1})$$

Provemos que  $\psi|_{U_{a'}^{n+1}}$  é positivamente limitada em  $U_{a'}^{n+1}$ . Dado  $(x_1, \dots, x_{n+1}) \in U_{a'}^{n+1}$ , como  $R^2 = x_1^2 + \dots + x_{n+1}^2$ , temos que  $\frac{\partial R}{\partial x_k} = \frac{x_k}{R}$ , para  $k = 1, \dots, n+1$ . Além disso,  $(ax_{n+1})^2 < x_1^2 + \dots + x_n^2 = R^2 - x_{n+1}^2 \Rightarrow |x_{n+1}| < \frac{R}{\sqrt{1+(a')^2}}$ , o que implica que existe  $0 < c < 1$  de modo que  $cR < x_{n+1} + R \leq 2R$ . Temos ainda, para  $i = 1, \dots, n$ :

$$\begin{aligned} \frac{\partial \lambda}{\partial x_i} &= \frac{\partial}{\partial x_i} \left( \frac{2R}{x_{n+1} + R} \right) = \frac{2x_i}{R(x_{n+1} + R)} - \frac{2x_i}{(x_{n+1} + R)^2} = \frac{2x_i x_{n+1}}{R(x_{n+1} + R)^2} \\ \frac{\partial \lambda}{\partial x_{n+1}} &= \frac{\partial}{\partial x_{n+1}} \left( \frac{2R}{x_{n+1} + R} \right) = \frac{2x_{n+1}}{R(x_{n+1} + R)} - \frac{2}{x_{n+1} + R} = \frac{2(x_{n+1} - R)}{R(x_{n+1} + R)} \end{aligned}$$

Daí, ao calcularmos as entradas da matriz jacobiana, obtemos, para  $1 \leq i, j \leq n, i \neq j$ :

$$\begin{aligned} \frac{\partial \psi_i}{\partial x_i} &= \frac{\partial(\lambda x_i)}{\partial x_i} = \lambda + x_i \frac{\partial \lambda}{\partial x_i} = \frac{2R}{x_{n+1} + R} + \frac{2x_i^2 x_{n+1}}{R(x_{n+1} + R)^2} = \frac{2(R^3 + R^2 x_{n+1} + x_i^2 x_{n+1})}{R(x_{n+1} + R)^2} \\ &\Rightarrow \left| \frac{\partial \psi_i}{\partial x_i} \right| \leq \frac{2(R^3 + R^2 \cdot R + R^2 \cdot R)}{R(cR)^2} = \frac{6}{c^2} \end{aligned}$$

$$\frac{\partial \psi_i}{\partial x_j} = \frac{\partial(\lambda x_i)}{\partial x_j} = x_i \frac{\partial \lambda}{\partial x_j} = \frac{2x_i x_j x_{n+1}}{R(x_{n+1} + R)^2} \Rightarrow \left| \frac{\partial \psi_i}{\partial x_j} \right| \leq \frac{2(R \cdot R \cdot R)}{R(cR)^2} = \frac{2}{c^2}$$

$$\frac{\partial \psi_i}{\partial x_{n+1}} = \frac{\partial(\lambda x_i)}{\partial x_{n+1}} = x_i \frac{\partial \lambda}{\partial x_{n+1}} = \frac{2x_i(x_{n+1} - R)}{R(x_{n+1} + R)} \Rightarrow \left| \frac{\partial \psi_i}{\partial x_j} \right| \leq \frac{2(R \cdot (R + R))}{R(cR)} = \frac{4}{c}$$

Ademais,  $\sum_{k=1}^{n+1} \left( \frac{\psi_{n+1}}{\partial x_k} \right)^2 = \sum_{k=1}^{n+1} \left( \frac{R}{\partial x_k} \right)^2 = \sum_{k=1}^{n+1} \frac{x_k^2}{R^2} = 1$ , implicando que ao menos uma de tais derivadas tem módulo maior ou igual a  $\frac{1}{\sqrt{n}}$  e todas elas têm módulo no máximo 1, completando a demonstração.

Agora, provemos que  $\psi^{-1}|_{\text{int}(C_a^{n+1})}$  é positivamente limitado em  $\text{int}(C_a^{n+1})$ . Dado  $(x_1, \dots, x_n, R) \in \text{int}(C_a^{n+1})$ , como  $\lambda' = \frac{4R^2}{x_1^2 + \dots + x_n^2 + 4R^2}$ , temos que  $\frac{\partial \lambda'}{\partial x_i} = -\frac{8R^2 x_i}{(x_1^2 + \dots + x_n^2 + 4R^2)^2}$  ( $i = 1, \dots, n$ ) e  $\frac{\partial \lambda'}{\partial R} = \frac{8R(x_1^2 + \dots + x_n^2)}{(x_1^2 + \dots + x_n^2 + 4R^2)^2}$ . Ademais,  $0 < \lambda' \leq 1$  e  $|x_i| \leq aR$ . Daí, ao calcularmos as entradas da matriz jacobiana, obtemos, para  $1 \leq i, j \leq n, i \neq j$ :

$$\begin{aligned} \frac{\partial(\psi^{-1})_i}{\partial x_i} &= \frac{\partial(\lambda' x_i)}{\partial x_i} = \lambda' + x_i \frac{\partial \lambda'}{\partial x_i} = \frac{4R^2}{x_1^2 + \dots + x_n^2 + 4R^2} - \frac{8R^2 x_i^2}{(x_1^2 + \dots + x_n^2 + 4R^2)^2} = \\ &= \frac{4R^2(x_1^2 + \dots + x_{i-1}^2 - x_i^2 + x_{i+1}^2 + \dots + x_n^2 + 4R^2)}{(x_1^2 + \dots + x_n^2 + 4R^2)^2} \Rightarrow \\ &\Rightarrow \left| \frac{\partial(\psi^{-1})_i}{\partial x_i} \right| \leq \frac{4R^2((n-1)a^2R^2 + 4R^2)}{(4R^2)^2} = \frac{(n-1)a^2}{4} + 1 \end{aligned}$$

$$\frac{\partial(\psi^{-1})_i}{\partial x_j} = \frac{\partial(\lambda' x_i)}{\partial x_j} = x_i \frac{\partial \lambda'}{\partial x_j} = -\frac{8R^2 x_i x_j}{(x_1^2 + \dots + x_n^2 + 4R^2)^2} \Rightarrow \left| \frac{\partial \psi_i}{\partial x_j} \right| \leq \frac{8R^2 \cdot aR \cdot aR}{(4R^2)^2} = \frac{a^2}{2}$$

$$\frac{\partial(\psi^{-1})_i}{\partial R} = \frac{\partial(\lambda' x_i)}{\partial R} = \frac{8R x_i (x_1^2 + \dots + x_n^2)}{(x_1^2 + \dots + x_n^2 + 4R^2)^2} \Rightarrow \left| \frac{\partial(\psi^{-1})_i}{\partial R} \right| \leq \frac{8R \cdot aR (na^2 R^2)}{(4R^2)^2} = \frac{na^3}{2}$$

$$\frac{\partial(\psi^{-1})_{n+1}}{\partial x_i} = \frac{\partial(2\lambda' - 1)R}{\partial x_i} = -\frac{16R^3 x_i}{(x_1^2 + \dots + x_n^2 + 4R^2)^2} \Rightarrow \left| \frac{\partial(\psi^{-1})_{n+1}}{\partial x_i} \right| \leq \frac{16R^3 \cdot aR}{(4R^2)^2} = a$$

$$\begin{aligned} \frac{\partial(\psi^{-1})_{n+1}}{\partial R} &= \frac{\partial(2\lambda' - 1)R}{\partial R} = 2\lambda' - 1 + 2R \frac{\partial \lambda'}{\partial R} = \frac{8R^2(3(x_1^2 + \dots + x_n^2) + 4R^2)}{(x_1^2 + \dots + x_n^2 + 4R^2)^2} - 1 \Rightarrow \\ &\Rightarrow \left| \frac{\partial(\psi^{-1})_{n+1}}{\partial R} \right| \leq \frac{8R^2(3na^2R^2 + 4R^2)}{(4R^2)^2} + 1 = \frac{3na^2}{2} + 3 \end{aligned}$$

O que prova que a norma do jacobiano é limitada superiormente. Ademais, se  $n \geq 2$ :

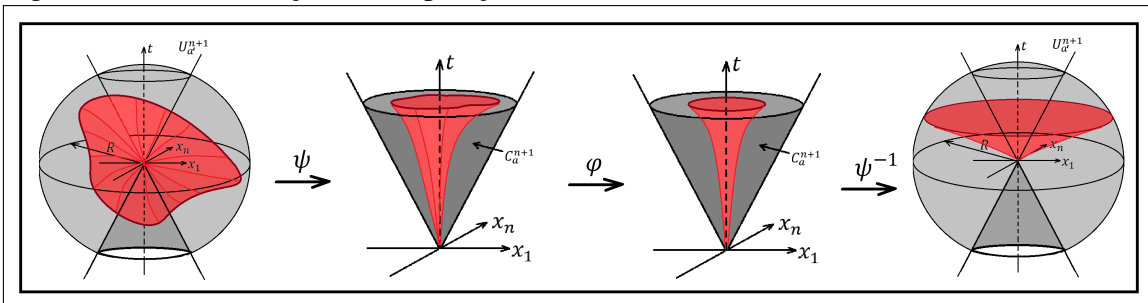
$$\begin{aligned} \sum_{i=1}^n \frac{\partial \psi_i}{\partial x_i} &= \sum_{i=1}^n \frac{4R^2(x_1^2 + \dots + x_{i-1}^2 - x_i^2 + x_{i+1}^2 + \dots + x_n^2 + 4R^2)}{(x_1^2 + \dots + x_n^2 + 4R^2)^2} = \\ &= \frac{4R^2((n-2)(x_1^2 + \dots + x_n^2) + 4nR^2)}{(x_1^2 + \dots + x_n^2 + 4R^2)^2} \geq \frac{4R^2(4nR^2)}{(a^2R^2 + 4R^2)^2} = \frac{16n}{(a^2 + 4)^2} \end{aligned}$$

E assim existe  $1 \leq i \leq n$  tal que  $\frac{\partial \psi_i}{\partial x_i} \geq \frac{16}{(a^2 + 4)^2}$ , mostrando que  $\psi^{-1}|_{\text{int}(C_a^{n+1})}$  é positivamente limitado em  $\text{int}(C_a^{n+1})$  (para o caso  $n = 1$ , também há positividade, uma vez que  $|\frac{\partial(\psi^{-1})_1}{\partial R}| = \frac{8R|x_1|^3}{|(x_1^2 + 4R^2)^2|} \geq \frac{8R \cdot R^3}{(a^2R^2 + 4R^2)^2} = \frac{8}{(a^2 + 4)^2}$ , se  $|x| \geq R$ , e  $|\frac{\partial(\psi^{-1})_1}{\partial x_1}| = |\frac{4R^2(-x_1^2 + 4R^2)}{(x_1^2 + 4R^2)^2}| \geq \frac{4R^2(-R^2 + 4R^2)}{(R^2 + 4R^2)^2} = \frac{12}{25}$ , se  $|x| \leq R$ ). Isso encerra a demonstração do teorema.  $\square$

**Proposição 3.1.3.** *Suponha que o Teorema 1.0.1 seja válido para todo germe de superfície LNE  $(X, 0) \in C_a^3$ . Então, o Teorema 1.0.1 é válido para todo germe de superfície LNE  $(X, 0) \subset \mathbb{R}^3$ .*

*Demonstração.* Dado  $X \subset \mathbb{R}^3$  normalmente mergulhado, existe um vetor  $u \notin S = \{\gamma'(0) \mid \gamma \in V(X)\}$ . Tomando uma rotação de eixos, se necessário, podemos supor que  $u = (0, 0, -p)$ , para algum  $p > 0$ . Sendo  $S$  fechado, existe  $a' > 0$  suficientemente pequeno tal que  $u \notin S, \forall u \in \overline{U_{a'}^3}$ .

Figura 5 – Demonstração da Proposição 3.1.3



Fonte: elaborado pelo autor.

Daí,  $\psi : (\overline{U_{a'}^3}, 0) \rightarrow (C_a^3, 0)$  é uma aplicação bi-Lipschitz exterior e assim  $(\psi(X), 0)$  é um germe de uma superfície normalmente mergulhada, pela Proposição 2.2.17. Se  $\varphi_1, \dots, \varphi_m : (C_a^3, 0) \rightarrow (C_a^3, 0)$  são seqüências de aplicações bi-Lipschitz exteriores tais que  $\varphi_i(p) = p$ , para todo  $p \in \partial C_a^3$  e  $i = 1, \dots, m$ , e se  $\varphi := \varphi_m \circ \dots \circ \varphi_1$  é tal que  $\varphi(\psi(X), 0) = \psi(T_\alpha, 0)$  ou  $\psi(H_\beta)$ , então tomando a aplicação  $\Phi$  da Proposição 2.2.9, temos, pela hipótese da Proposição, que  $\Phi(X, 0) = (T_\alpha, 0)$  ou  $(H_\beta, 0)$ , finalizando a demonstração.  $\square$

Motivados pelas Proposições 3.1.2 e 3.1.3, temos as definições a seguir:

**Definição 3.1.4.** Para cada  $X \subset C_a^{n+1}$  e cada  $\varepsilon > 0$ , defina os conjuntos:

$$C_a^{n+1}[\varepsilon] = \{(x_1, \dots, x_n, t) \in C_a^{n+1} \mid 0 < t < \varepsilon\} \cup \{0\}$$

$$C_a^{n+1}(\varepsilon) = \{(x_1, \dots, x_n, \varepsilon) \in C_a^{n+1}\}$$

$$X[\varepsilon] = X \cap C_a^{n+1}[\varepsilon]$$

$$X(\varepsilon) = X \cap C_a^{n+1}(\varepsilon)$$

O conjunto  $X(\varepsilon)$  é denominado  $\varepsilon$ -link plano de  $X$ .

**Definição 3.1.5.** Dados germes de conjuntos  $(X, 0), (Y, 0) \subset (C_a^{n+1}, 0)$ , dizemos que  $(X, 0)$  e  $(Y, 0)$  são bi-Lipschitz ambiente equivalentes em  $(C_a^{n+1}, 0)$  se existe  $\varepsilon > 0$  suficientemente pequeno e uma aplicação bi-Lipschitz exterior  $\varphi : (C_a^{n+1}, 0) \rightarrow (C_a^{n+1}, 0)$  tal que:

1.  $\varphi(p) = p$ , para todo  $p \in \partial C_a^{n+1} \cap C_a^{n+1}[\varepsilon]$ .
2.  $\varphi(X[\varepsilon]) = Y[\varepsilon]$

### 3.2 Lemas de translação e rotação

Uma vez realizada a redução, demonstremos alguns lemas que permitirão a translação e a dilatação dos links planos das superfícies estudadas.

**Lema 3.2.1** (Lema de Translação). Seja  $a_0 > 0$ ,  $X \subset C_{a_0}^{n+1}$  uma superfície e  $(\gamma, 0) \subset (C_{a_0}, 0)$ ,  $\gamma(t) = (y_1(t), \dots, y_n(t), t)$  um arco. Suponha que  $X' \subset C_{a_0}^{n+1}$  seja a translação de  $X$  por  $\gamma$ , isto é:

$$(x_1, \dots, x_n, t) \in X' \Leftrightarrow (x_1 - y_1(t), \dots, x_n - y_n(t), t) \in X$$

Então, existe  $a \geq a_0$  tal que  $(X, 0), (X', 0)$  são bi-Lipschitz ambiente equivalentes em  $(C_a^{n+1}, 0)$ .



*Demonstração.* Como  $(\gamma, 0) \subset (C_{a_0}, 0)$  é um arco, existe  $\gamma'(0) = (y'_1(0), \dots, y'_n(0), 1) \in C_a^{n+1}$ . Por simplicidade, escreveremos  $y_i = y_i(t)$  e  $y'_i = y'_i(t)$ . Temos que existe  $M > 0$  e  $\varepsilon > 0$  suficientemente pequeno tal que  $|\frac{y_i}{t}|, |y'_i| < M$ , para  $i = 1, \dots, n$  e todo  $0 < t < \varepsilon$ . Para cada  $a > \max\{1, a_0\}$ , seja  $b = \sqrt{a}$  e sejam os conjuntos:

$$D' = \{(x_1, \dots, x_n, t) \in C_a^{n+1}[\varepsilon] \mid (x_1 - y_1)^2 + \dots + (x_n - y_n)^2 \leq (bt)^2\}$$

$$D = \{(x_1, \dots, x_n, t) \in C_a^{n+1}[\varepsilon] \mid x_1^2 + \dots + x_n^2 \leq (bt)^2\}$$

$$\Gamma'_\lambda = \{(x_1, \dots, x_n, t) \in C_a^{n+1}[\varepsilon] \mid (x_1 - \lambda y_1)^2 + \dots + (x_n - \lambda y_n)^2 = (\lambda bt + (1 - \lambda)at)^2\} (0 \leq \lambda \leq 1)$$

$$\Gamma_\lambda = \{(x_1, \dots, x_n, t) \in C_a^{n+1}[\varepsilon] \mid x_1^2 + \dots + x_n^2 = (\lambda bt + (1 - \lambda)at)^2\} (0 \leq \lambda \leq 1)$$

Evidentemente  $(\gamma, 0) \subset (D', 0)$ ,  $\Gamma'_1 = \partial D'$ ,  $\Gamma_1 = \partial D$  e  $\Gamma'_0 = \Gamma_0 = \partial C_a^{n+1}$ . Temos ainda que  $C_a^{n+1}(t) = D(t) \cup \bigcup_{0 \leq \lambda \leq 1} \Gamma_\lambda(t) = D'(t) \cup \bigcup_{0 \leq \lambda \leq 1} \Gamma'_\lambda(t)$ .

**Afirmção 3.2.2.** *Existe  $a > 0$  suficientemente grande de modo que as seguintes condições sejam satisfeitas:*

1.  $X(t) \subset D(t)$  e  $X'(t) \subset D'(t)$ , para cada  $0 < t < \varepsilon$ .
2. As  $n$ -bolas  $D(t), D'(t)$  estão no interior de  $C_a^{n+1}(t)$ , para cada  $0 < t < \varepsilon$ .
3. Para  $0 \leq \lambda_1 < \lambda_2 \leq 1$ , temos que  $\Gamma_{\lambda_1}(t) \cap \Gamma_{\lambda_2}(t) = \emptyset$  e  $\Gamma'_{\lambda_1} \cap \Gamma'_{\lambda_2} = \emptyset$ .

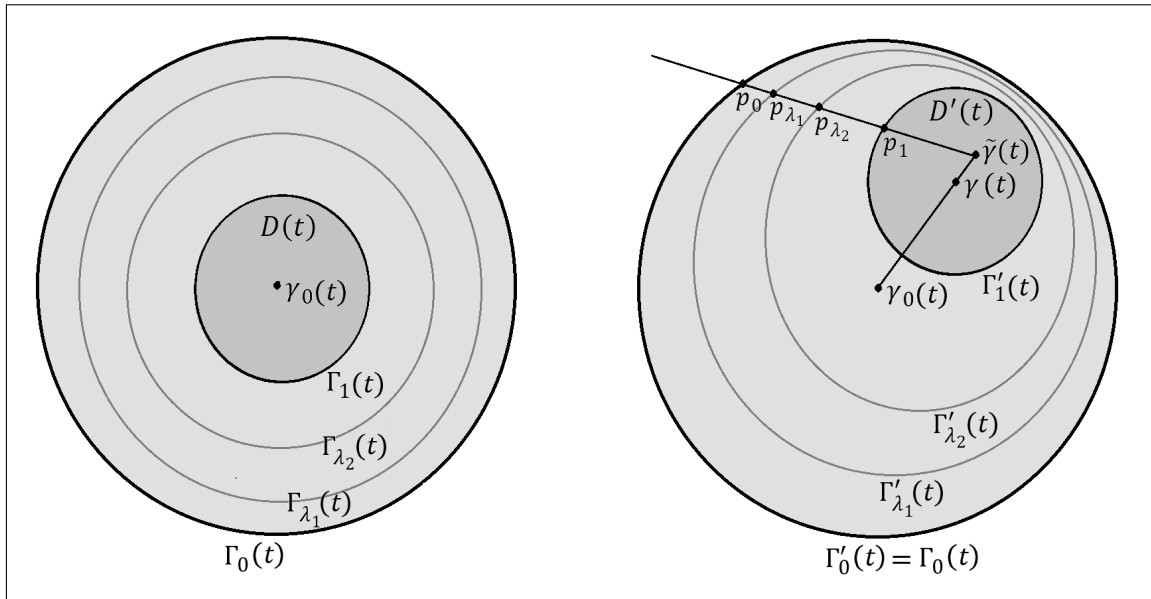
*Demonstração.* Como  $X \subset C_{a_0}$  e podemos tomar  $\varepsilon$  suficientemente pequeno de modo que  $\|\gamma(t)\|$  é limitado, para  $0 < t < \varepsilon$ , temos que existe  $a$  suficientemente grande de modo que as  $n$ -bolas  $D(t)$  e  $D'(t)$ , ambas de raio  $bt > a_0 t$ , contenham  $X(t)$  e  $X'(t)$ , respectivamente (o que implica a condição (1)), e  $\|(y_1, \dots, y_n)\| < (a - b)t$ , uma vez que  $b, a - b \rightarrow \infty$  quando  $a \rightarrow \infty$ . Como o centro comum de  $D(t), C_a^{n+1}(t)$  é  $\gamma_0(t) = (0, \dots, 0, t)$ , temos claramente  $D(t) \subset \text{int}(C_a^{n+1}(t))$ , e como  $\|\gamma(t) - \gamma_0(t)\| = \|(y_1, \dots, y_n)\| < at - bt$ , temos  $D'(t) \subset \text{int}(C_a^{n+1}(t))$ , provando (2).

Para provar (3), para cada  $0 \leq \lambda \leq 1$  e  $t > 0$  suficientemente pequeno, seja  $\gamma_\lambda(t) = \lambda \gamma(t) + (1 - \lambda)\gamma_0(t)$  e  $R_\lambda = \lambda b + (1 - \lambda)a$ . Seja ainda  $\tilde{\gamma}(t) = (\frac{a}{a-b}y_1, \dots, \frac{a}{a-b}y_n, t)$ . Um cálculo direto mostra que para todo  $0 \leq \lambda_1 < \lambda_2 \leq 1$ :

$$\gamma_{\lambda_1}(t) - \tilde{\gamma}(t) = \frac{R_{\lambda_1}t}{R_{\lambda_2}t}(\gamma_{\lambda_2}(t) - \tilde{\gamma}(t))$$

Isso implica que a homotetia  $H$  com centro  $\tilde{\gamma}(t)$  e razão  $\frac{R_{\lambda_1}}{R_{\lambda_2}}$  manda  $\Gamma'_{\lambda_2}(t)$  para  $\Gamma'_{\lambda_1}(t)$ . Suponha  $p \in \Gamma'_{\lambda_1} \cap \Gamma'_{\lambda_2}$ . Então,  $p \neq \tilde{\gamma}(t)$ , pois  $\tilde{\gamma}(t) \in \text{int}(D'(t))$  e  $\text{int}(D'(t))$  está no interior das bolas com fronteiras  $\Gamma'_{\lambda_1}(t)$ ,  $\Gamma'_{\lambda_2}(t)$ . Como  $\tilde{\gamma}(t)$ ,  $p$  e  $H(p)$  são colineares, temos  $p = H(p)$ , o que implica  $\frac{R_{\lambda_1}}{R_{\lambda_2}} = 1$ , isto é,  $\lambda_1 = \lambda_2$ , uma contradição. Portanto,  $\Gamma'_{\lambda_1} \cap \Gamma'_{\lambda_2} = \emptyset$ . Um argumento análogo tomando  $\gamma_0(t) = \gamma(t) = \tilde{\gamma}(t)$  demonstra que  $\Gamma_{\lambda_1}(t) \cap \Gamma_{\lambda_2}(t) = \emptyset$ .  $\square$

Figura 6 – Demonstração da Afirmação 3.2.2



Fonte: elaborado pelo autor.

Agora, defina  $\varphi : (C_a^{n+1}, 0) \rightarrow (C_a^{n+1}, 0)$  como:

$$\varphi(x_1, \dots, x_n, t) = \begin{cases} (x_1 - y_1, \dots, x_n - y_n, t), & (x_1, \dots, x_n, t) \in D(t) \\ (x_1 - \lambda y_1, \dots, x_n - \lambda y_n, t), & (x_1, \dots, x_n, t) \in \Gamma_\lambda(t) \end{cases}$$

Note que para  $\lambda = 1$ , temos  $(x_1 - \lambda y_1, \dots, x_n - \lambda y_n, t) = (x_1 - y_1, \dots, x_n - y_n, t)$ , implicando que  $\varphi$  é contínua. Também,  $\varphi(D(t)) = D'(t)$ ,  $\varphi(X') = X$ ,  $\varphi(\Gamma_\lambda(t)) = \Gamma'_\lambda(t)$  e  $\varphi$  possui inversa  $\varphi^{-1} : (C_a^{n+1}, 0) \rightarrow (C_a^{n+1}, 0)$ , dada por:

$$\varphi^{-1}(x_1, \dots, x_n, t) = \begin{cases} (x_1 + y_1, \dots, x_n + y_n, t), & (x_1, \dots, x_n, t) \in D'(t) \\ (x_1 + \lambda y_1, \dots, x_n + \lambda y_n, t), & (x_1, \dots, x_n, t) \in \Gamma'_\lambda(t) \end{cases}$$

Isso mostra que  $\varphi$  é um difeomorfismo ao tomar a restrição em cada um dos abertos  $D$  e  $U = \bigcup_{0 < \lambda < 1} \Gamma_\lambda$ . Como  $\overline{D}, \overline{U}$  são conexos por caminhos e possuem interseção igual a  $\Gamma_1$ , pela Proposição 2.2.10, basta provar que  $\varphi$  é bi-Lipschitz intrínseca, uma vez que  $(C_a^{n+1}, 0)$  é

LNE (pois é convexo). Para tanto, verifiquemos se  $\varphi|_{(D,0)}$ ,  $\varphi|_{(U,0)}$  cumprem as condições do Teorema 2.2.12.

Dado  $p = (x_1, \dots, x_n, t) \in D[\varepsilon]$  calculando o jacobiano  $J_\varphi(p)$ , temos:

$$J_\varphi(p) = \begin{pmatrix} 1 & 0 & \dots & 0 & -y'_1 \\ 0 & 1 & \dots & 0 & -y'_2 \\ \vdots & \vdots & \ddots & \vdots & \vdots \\ 0 & 0 & \dots & 1 & -y'_n \\ 0 & 0 & \dots & 0 & 1 \end{pmatrix}$$

Daí,  $\det J_\varphi(p) = 1$  e como  $|y'_i| < M$ , para  $i = 1, \dots, n$ , temos que  $\varphi$  é positivamente limitado em  $(D, 0)$ . Logo,  $\varphi|_{(D,0)}$  é aplicação bi-Lipschitz. Agora, dado  $p = (x_1, \dots, x_n, t) \in U[\varepsilon]$ , a  $(n+1)$ -ésima linha de  $J_\varphi(p)$  é  $(0, \dots, 0, 1)$ , mostrando que  $\|J_\varphi(p)\| \geq 1$ . Verifiquemos então se as outras entradas do jacobiano são limitadas. Com efeito, para  $1 \leq i \leq n$ , ao derivar em  $x_i$  a equação  $(x_1 - \lambda y_1)^2 + \dots + (x_n - \lambda y_n)^2 = (\lambda b t + (1 - \lambda) a t)^2$ , vem:

$$\begin{aligned} \sum_{k=1, k \neq i}^n 2(x_k - \lambda y_k) \left( -\frac{\partial \lambda}{\partial x_i} y_k \right) + 2(x_i - \lambda y_i) \left( 1 - \frac{\partial \lambda}{\partial x_i} y_i \right) &= 2(\lambda b t + (1 - \lambda) a t)(b t - a t) \frac{\partial \lambda}{\partial x_i} \Rightarrow \\ \Rightarrow \left( t \frac{\partial \lambda}{\partial x_i} \right) \left( (a - b)(\lambda b + (1 - \lambda) a) - \sum_{k=1, k \neq i}^n \left( \frac{x_k - \lambda y_k}{t} \right) \left( \frac{y_k}{t} \right) \right) &= \frac{\lambda y_i - x_i}{t} \end{aligned}$$

Como  $\left| (a - b)(\lambda b + (1 - \lambda) a) - \sum_{k=1, k \neq i}^n \left( \frac{x_k - \lambda y_k}{t} \right) \left( \frac{y_k}{t} \right) \right| \geq (a - b)b - n(a + 1.M)M > 0$  para  $a$  suficientemente grande, e  $\left| \frac{\lambda y_i - x_i}{t} \right| \leq 1.M + a$ , então  $\left( t \frac{\partial \lambda}{\partial x_i} \right)$  é limitado. Analogamente,  $\left( t \frac{\partial \lambda}{\partial t} \right)$  é limitado. Portanto, para  $1 \leq i, j \leq n$ :

$$\left| \frac{\partial \varphi_i}{\partial x_j} \right| = \left| \frac{\partial x_i - \lambda y_i}{\partial x_j} \right| = \left| \frac{\partial x_i}{\partial x_j} - \frac{\partial \lambda}{\partial x_j} y_i \right| \leq \left| \frac{\partial x_i}{\partial x_j} \right| + \left| t \frac{\partial \lambda}{\partial x_j} \right| \cdot \left| \frac{y_i}{t} \right| \leq 1 + \left| t \frac{\partial \lambda}{\partial x_j} \right| M$$

$$\left| \frac{\partial \varphi_i}{\partial t} \right| = \left| \frac{\partial x_i - \lambda y_i}{\partial t} \right| = \left| \frac{\partial \lambda}{\partial t} y_i + \lambda y'_i \right| \leq \left| t \frac{\partial \lambda}{\partial t} \right| \cdot \left| \frac{y_i}{t} \right| + \lambda \cdot |y'_i| \leq \left| \frac{\partial \lambda}{\partial t} \right| \cdot M + 1.M$$

O que mostra que  $\varphi$  é positivamente limitado em  $(U, 0)$ . Analogamente,  $\varphi^{-1}$  é positivamente limitado em  $(U', 0)$ . Logo,  $\varphi|_{(U,0)}$  é aplicação bi-Lipschitz e a demonstração está completa.  $\square$

**Lema 3.2.3** (Lema de Dilatação). *Sejam  $n \in \mathbb{N}$ ,  $a_0 > 0$  e  $f : (\mathbb{R}, 0) \rightarrow \mathbb{R}$  um germe de função semialgébrica cuja série de Puiseux é  $f(t) = c_0 + o(1)$ ;  $c_0 > 0$ . Se  $(X, 0) \subset (C_a^{n+1}, 0)$  é germe de uma superfície e se  $(X', 0) \subset (C_a^{n+1}, 0)$  é a dilatação de  $X$  por  $f$ , isto é,  $(x_1(t), \dots, x_n(t), t) \in (X, 0) \Leftrightarrow (f(t)x_1(t), \dots, f(t)x_n(t), t) \in (X', 0)$ , então existe  $a \geq a_0$  tal que  $(X, 0), (X', 0) \subset (C_a^{n+1}, 0)$  são bi-Lipschitz ambiente equivalentes em  $(C_a^{n+1}, 0)$ .*

*Demonstração.* Note inicialmente que  $\lim_{t \rightarrow 0} f(t) = c_0$  e  $\lim_{t \rightarrow 0} t f'(t) = \lim_{t \rightarrow 0} \sum_{q \geq 0} q c_q t^q = 0$ . Daí, suponha que  $\varepsilon > 0$  é suficientemente pequeno tal que  $|t f'(t)| < \frac{c_0}{2} < f(t) < \frac{3c_0}{2}$ , para  $0 < t < \varepsilon$ . Para cada  $a > \max\{1, a_0\}$ , seja  $b = \sqrt{a}$  e sejam os conjuntos:

$$D = \{(x_1, \dots, x_n, t) \in C_a^{n+1}[\varepsilon] \mid x_1^2 + \dots + x_n^2 \leq (bt)^2\}$$

$$D' = \{(x_1, \dots, x_n, t) \in C_a^{n+1}[\varepsilon] \mid x_1^2 + \dots + x_n^2 \leq (f(t)bt)^2\}$$

$$\Gamma_\lambda = \{(x_1, \dots, x_n, t) \in C_a^{n+1}[\varepsilon] \mid x_1^2 + \dots + x_n^2 = (\lambda bt + (1-\lambda)at)^2\} \quad (0 \leq \lambda \leq 1)$$

$$\Gamma'_\lambda = \{(x_1, \dots, x_n, t) \in C_a^{n+1}[\varepsilon] \mid x_1^2 + \dots + x_n^2 = (\lambda f(t)bt + (1-\lambda)at)^2\} \quad (0 \leq \lambda \leq 1)$$

Similarmente à Afirmação 3.2.2, podemos tomar  $a$  suficientemente grande de modo que, para todo  $\varepsilon > t > 0$ ,  $X(t) \subset D(t)$ . Isso garante que as  $n$ -bolas  $D, D'$  estejam no interior de  $C_a^{n+1}(t)$ , bem como cada uma das  $(n-1)$ -esferas  $\Gamma_\lambda(t), \Gamma'_\lambda(t)$ . Ademais, para  $0 \leq \lambda_1 < \lambda_2 \leq 1$ , temos que  $\Gamma_{\lambda_1}(t) \cap \Gamma_{\lambda_2}(t) = \emptyset$  e  $C_a^{n+1}(t) = D(t) \cup \bigcup_{0 \leq \lambda \leq 1} \Gamma_\lambda(t)$ . Analogamente,  $\Gamma'_{\lambda_1} \cap \Gamma'_{\lambda_2} = \emptyset$  e  $C_a^{n+1}(t) = D(t)' \cup \bigcup_{0 \leq \lambda \leq 1} \Gamma'_\lambda(t)$ .

Agora, defina  $\varphi : (C_a^{n+1}, 0) \rightarrow (C_a^{n+1}, 0)$  como:

$$\varphi(x_1, \dots, x_n, t) = \begin{cases} (f(t)x_1, \dots, f(t)x_n, t), & (x_1, \dots, x_n, t) \in D(t) \\ \left( \left( \frac{\lambda f(t)b + (1-\lambda)a}{\lambda b + (1-\lambda)a} \right) x_1, \dots, \left( \frac{\lambda f(t)b + (1-\lambda)a}{\lambda b + (1-\lambda)a} \right) x_n, t \right), & (x_1, \dots, x_n, t) \in \Gamma_\lambda(t) \end{cases}$$

Note que para  $\lambda = 1$ :

$$(f(t)x_1, \dots, f(t)x_n, t) = \left( \left( \frac{\lambda f(t)b + (1-\lambda)a}{\lambda b + (1-\lambda)a} \right) x_1, \dots, \left( \frac{\lambda f(t)b + (1-\lambda)a}{\lambda b + (1-\lambda)a} \right) x_n, t \right)$$

Implicando que  $\varphi$  é contínua. Também,  $\varphi(D(t)) = D(t)'$ ,  $\varphi(X') = X$ ,  $\varphi(\Gamma_\lambda(t)) = \Gamma'_\lambda(t)$  e  $\varphi$  possui inversa contínua  $\varphi^{-1} : (C_a^{n+1}, 0) \rightarrow (C_a^{n+1}, 0)$ , dada por:

$$\varphi^{-1}(x_1, \dots, x_n, t) = \begin{cases} \left( \frac{1}{f(t)}x_1, \frac{1}{f(t)}x_n, t \right), & (x_1, \dots, x_n, t) \in D'(t) \\ \left( \left( \frac{\lambda b + (1-\lambda)a}{\lambda f(t)b + (1-\lambda)a} \right) x_1, \dots, \left( \frac{\lambda b + (1-\lambda)a}{\lambda f(t)b + (1-\lambda)a} \right) x_n, t \right), & (x_1, \dots, x_n, t) \in \Gamma'_\lambda(t) \end{cases}$$

Isso mostra que  $\varphi$  é um difeomorfismo ao tomar a restrição em cada um dos abertos  $D$  e  $U = \bigcup_{0 < \lambda < 1} \Gamma_\lambda$ . Como  $\overline{D}, \overline{U}$  são conexos por caminhos e possuem interseção igual a  $\Gamma_1$ , pela Proposição 2.2.10, basta provar que  $\varphi$  é bi-Lipschitz intrínseca, uma vez que  $(C_a^{n+1}, 0)$  é LNE (pois é convexo). Para tanto, verifiquemos se  $\varphi|_{(D,0)}$ ,  $\varphi|_{(U,0)}$  cumprem as condições do Teorema 2.2.12.

Dado  $p = (x_1, \dots, x_n, t) \in D[\varepsilon]$  calculando o jacobiano  $J_\varphi(p)$ , temos:

$$J_\varphi(p) = \begin{pmatrix} f(t) & 0 & \dots & 0 & x_1 f'(t) \\ 0 & f(t) & \dots & 0 & x_2 f'(t) \\ \vdots & \vdots & \ddots & \vdots & \vdots \\ 0 & 0 & \dots & f(t) & x_n f'(t) \\ 0 & 0 & \dots & 0 & 1 \end{pmatrix}$$

Daí,  $\det J_\varphi(p) = f(t)^n \in \left( \left( \frac{c_0}{2} \right)^n, \left( \frac{3c_0}{2} \right)^n \right)$  e como  $|f(t)| < \frac{3c_0}{2}$ ,  $|x_i f'(t)| = \left| \frac{x_i}{t} \right| \cdot |t f'(t)| < a \cdot \frac{c_0}{2}$ , para  $i = 1, \dots, n$ , temos que  $\varphi$  é positivamente limitado em  $(D, 0)$ . Logo,  $\varphi|_{(D,0)}$  é aplicação bi-Lipschitz. Agora, dado  $p = (x_1, \dots, x_n, t) \in U[\varepsilon]$ , a  $(n+1)$ -ésima linha de  $J_\varphi(p)$  é  $(0, \dots, 0, 1)$ , mostrando que  $\|J_\varphi(p)\| \geq 1$ . Verifiquemos então se as outras entradas do jacobiano são limitadas. Com efeito, para  $1 \leq i \leq n$ , ao derivar em  $x_i$  a equação  $x_1^2 + \dots + x_n^2 = (\lambda b t + (1 - \lambda) a t)^2$ , vem:

$$2x_i = 2(\lambda b t + (1 - \lambda) a t)(b t - a t) \frac{\partial \lambda}{\partial x_i} \Rightarrow \left( t \frac{\partial \lambda}{\partial x_i} \right) ((a - b)(\lambda b + (1 - \lambda) a)) = \frac{x_i}{t}$$

Como  $|(a - b)(\lambda b + (1 - \lambda) a)| \geq (a - b)b > 0$  e  $\left| \frac{x_i}{t} \right| \leq a$ , então  $\left( t \frac{\partial \lambda}{\partial x_i} \right)$  é limitado. Analogamente, temos que  $\left( t \frac{\partial \lambda}{\partial t} \right)$  também é limitado. Com isso, denotando  $k = \frac{\lambda b + (1 - \lambda) a}{\lambda f(t) b + (1 - \lambda) a}$ , temos  $\frac{f(b)t}{a} \leq k \leq \frac{a}{b}$  e:

$$t \frac{\partial k}{\partial x_i} = \frac{(b - a) \left( t \frac{\partial \lambda}{\partial x_i} \right) (\lambda f(t) b + (1 - \lambda) a) - (\lambda b + (1 - \lambda) a) \left( t \frac{\partial \lambda}{\partial x_i} \right) (f(t) b - a)}{(\lambda f(t) b + (1 - \lambda) a)^2}$$

$$t \frac{\partial k}{\partial t} = \frac{(b - a) \left( t \frac{\partial \lambda}{\partial t} \right) (\lambda f(t) b + (1 - \lambda) a) - (\lambda b + (1 - \lambda) a) \left( \left( t \frac{\partial \lambda}{\partial t} \right) (f(t) b - a) + b \lambda (t f'(t)) \right)}{(\lambda f(t) b + (1 - \lambda) a)^2}$$

Implicando que tais expressões são limitadas, visto que  $\lambda f(t) b + (1 - \lambda) a \geq f(t) b$  e todas as parcelas no numerador são limitadas. Portanto, para  $1 \leq i, j \leq n$ :

$$\left| \frac{\partial \varphi_i}{\partial x_j} \right| = \left| \frac{\partial(kx_i)}{\partial x_j} \right| = \left| k \frac{\partial x_i}{\partial x_j} + \frac{\partial k}{\partial x_j} x_i \right| \leq k + \left| t \frac{\partial k}{\partial x_j} \right| \cdot \left| \frac{x_i}{t} \right| \leq \frac{a}{b} + \left| t \frac{\partial \lambda}{\partial x_j} \right| a$$

$$\left| \frac{\partial \varphi_i}{\partial t} \right| = \left| \frac{\partial(kx_i)}{\partial t} \right| = \left| t \frac{\partial k}{\partial t} \right| \cdot \left| \frac{x_i}{t} \right| \leq \left| t \frac{\partial k}{\partial t} \right| a$$

O que mostra que  $\varphi$  é positivamente limitado em  $(U, 0)$ . Analogamente,  $\varphi^{-1}$  é positivamente limitado em  $(U', 0)$ . Logo,  $\varphi|_{(U, 0)}$  é aplicação bi-Lipschitz e a demonstração está completa.  $\square$

**Corolário 3.2.4.** *Seja  $g : (\mathbb{R}, 0) \rightarrow \mathbb{R}$  um germe de função semialgébrica cuja série de Puiseux é  $g(t) = c_\beta t^\beta + o(t^\beta)$ ;  $c_\beta > 0$ , para algum racional  $\beta \geq 1$ . Então, o germe conjunto:*

$$X = \{(x_1, x_2, t) \in C_a^3 \mid x_1^2 + x_2^2 = g(t)^2\}$$

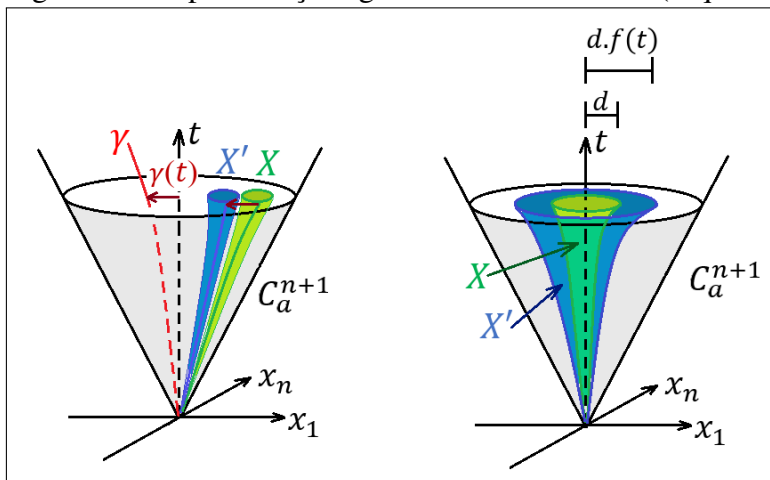
é bi-Lipschitz ambiente equivalente ao germe da  $\beta$ -corneta padrão.

*Demonstração.* Seja  $\psi$  a aplicação da Proposição 3.1.2. O germe de  $\psi(H_\beta)$  é  $(X', 0)$ , onde:

$$X' = \{(x_1, x_2, t) \in C_a^3 \mid x_1^2 + x_2^2 = h(t)^2\}$$

Para algum germe de função  $h : (\mathbb{R}, 0) \rightarrow \mathbb{R}$  cuja série de Puiseux é  $h(t) = d_\beta t^\beta + o(t^\beta)$ ;  $d_\beta > 0$ . Pelo Lema de Dilatação, aplicado a  $f(t) = \frac{h(t)}{g(t)}$ , temos que  $(X, 0)$  é bi-Lipschitz ambiente equivalente a  $(X', 0)$  em  $C_a^3$ . Da Proposição 3.1.3,  $(X, 0)$  é bi-Lipschitz ambiente equivalente a  $(H_\beta, 0)$ .  $\square$

Figura 7 – Representações gráficas do Lema 3.2.1 (esquerda) e Lema 3.2.3 (direita)



Fonte: elaborado pelo autor.

## 4 TRIÂNGULOS SINCRONIZADOS E APLICAÇÕES

### 4.1 Definições e exemplos

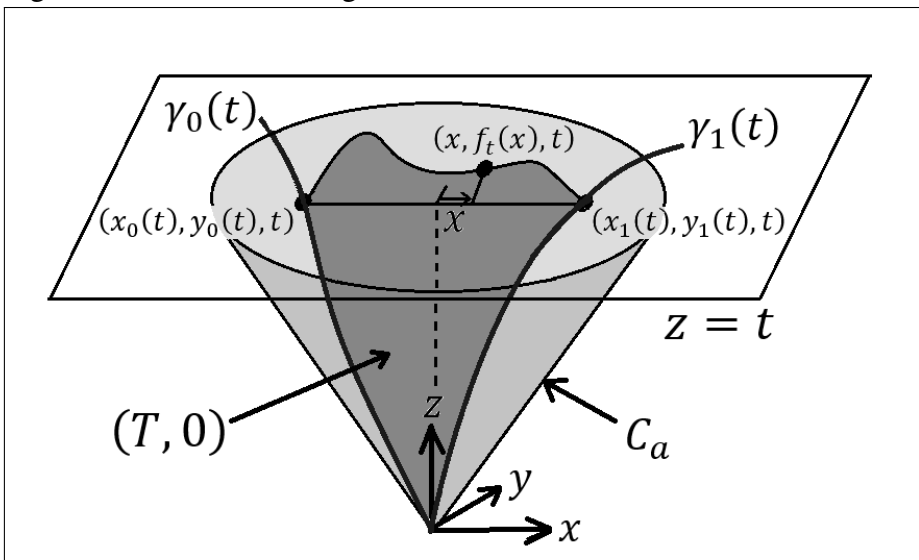
A partir de agora definiremos os conceitos de triângulos sincronizados, retângulos curvilineares e regiões delimitadas por triângulos e veremos também alguns exemplos de tais objetos, bem como subclassificações importantes.

**Definição 4.1.1.** *Seja  $a > 0$  um real dado e sejam  $(\gamma_0, 0), (\gamma_1, 0) \subseteq (C_a^3, 0)$  dois germes distintos de curvas, e seja ainda  $(T, 0) \subseteq (C_a^3, 0)$  um germe de triângulo de Hölder cujos arcos de fronteira são  $(\gamma_0, 0), (\gamma_1, 0)$ . Dizemos que  $(T, 0)$  é um **Germe de Triângulo Sincronizado** se existe  $\varepsilon > 0$  tal que, para todo  $0 < t < \varepsilon$ , se:*

$$\gamma_0 = \gamma_0(t) = (x_0(t), y_0(t), t); \gamma_1 = \gamma_1(t) = (x_1(t), y_1(t), t)$$

*são as  $z$ -parametrizações de  $(\gamma_0, 0)$  e  $(\gamma_1, 0)$ , respectivamente, então  $x_0(t) < x_1(t)$  e  $\pi_z(T \cap \{z = t\})$  é o gráfico de uma função semialgébrica  $f_t : [x_0(t), x_1(t)] \rightarrow \mathbb{R}$  satisfazendo  $f_t(x_0(t)) = y_0(t)$  e  $f_t(x_1(t)) = y_1(t)$ . Aqui,  $\pi_z : \mathbb{R}^3 \rightarrow \mathbb{R}^2$ ;  $\pi_z(x, y, z) = (x, y)$  é a  $z$ -projeção. A família de funções  $\{f_t\}_{0 < t < \varepsilon}$  é dita **Geradora do Germe Sincronizado**  $(T, 0)$ .*

Figura 8 – Germe de triângulo sincronizado



Fonte: elaborado pelo autor.

**Observação 4.1.2.** *Se  $(T, 0)$  é germe de triângulo sincronizado e  $\{f_t\}_{0 < t < \varepsilon}$  é sua família de funções geradoras, temos que  $(\text{sing}(T), 0)$  é uma união de  $n$  arcos  $(\delta_i, 0)$  ( $n \in \mathbb{N}$ ), com  $\delta_i(t) = (r_i(t), s_i(t), t)$ , para cada  $i = 1, \dots, n$ . Podemos ainda supor, reordenando os índices se necessário,*

que  $x_0(t) = r_1(t) < \dots < r_n(t) = x_1(t)$  e que cada  $f_t$  é diferenciável em  $\bigcup_{i=1}^n (r_i(t), r_{i+1}(t))$ , isto é,  $f_t$  é suave por partes, para todo  $0 < t < \varepsilon$ .

**Observação 4.1.3.** Para cada  $0 < t < \varepsilon$  e para cada  $u \in [0, 1]$ , defina:

$$\theta_u(t) = u \cdot x_1(t) + (1 - u) \cdot x_0(t) \in [x_0(t), x_1(t)]$$

Note que para todo ponto  $P$  no triângulo sincronizado  $(R, 0)$ , existe únicos  $u \in [0, 1]$ ,  $t > 0$  tais que  $P = (\theta_u(t), f_t(\theta_u(t)), t)$ . Dessa forma, se definirmos para cada  $u \in [0, 1]$  os arcos semialgêbricos  $\gamma_u : (\mathbb{R}_+^*, 0) \rightarrow (C_a^3, 0)$  como:

$$\gamma_u(t) = (\theta_u(t), f_t(\theta_u(t)), t) ; t > 0$$

Então os arcos  $\gamma_u \subset V(T)$  formam uma cobertura do germe  $(T, 0)$ . Com isso, podemos definir  $\{\gamma_u\}_{u \in [0, 1]}$  como a **cobertura por arcos do triângulo sincronizado**  $(T, 0)$ . Finalmente, note que, para cada  $u \in [0, 1]$ , como cada germe de curva  $(\gamma_u, 0)$  é semialgêbrico, então o limite  $\lim_{t \rightarrow 0^+} (\gamma_u'(t))$  existe e é um vetor, denominado  $\gamma_u'(0)$ .

**Definição 4.1.4.** Dado  $M > 0$ , dizemos que um germe de triângulo sincronizado  $(T, 0)$ , com  $\{f_t\}$  sendo sua família de funções geradoras, tem **Derivada M-limitada** se existe  $\varepsilon > 0$  tal que, para todo  $0 < t < \varepsilon$  e para todo  $a \in [x_0(t), x_1(t)]$ , as derivadas laterais de  $f_t$  em  $a$  possuem valor absoluto menor que  $M$ , isto é:

$$M > \left| \frac{\partial f_t}{\partial x_+}(a) \right| = \lim_{h \rightarrow 0^+} \frac{f_t(a+h) - f_t(a)}{h} ; x_0(t) \leq a < x_1(t)$$

$$M > \left| \frac{\partial f_t}{\partial x_-}(a) \right| = \lim_{h \rightarrow 0^-} \frac{f_t(a+h) - f_t(a)}{h} ; x_0(t) < a \leq x_1(t)$$

Dizemos também que um germe de triângulo sincronizado  $(T, 0)$  é **de Classe  $C^1$**  (ou que é  $C^1$ ) se  $(T, 0)$  é um triângulo curvilíneo. Finalmente, dizemos que um germe de triângulo sincronizado  $(T, 0)$ , que é  $C^1$ , é **Convexo** se cada função de sua família de funções geradoras é convexa.

**Exemplo 4.1.5.** Considere o conjunto:

$$T = \{(x, t^2 - x^2, t) \mid 0 < t \leq 1; -t \leq x \leq t\} \subset C_{\sqrt{2}}$$

Note que  $(T, 0)$  é um triângulo de Hölder com vértice principal na origem, e cujos arcos de fronteira são os germes  $(\gamma_0, 0), (\gamma_1, 0)$ , em que  $\gamma_0(t) = (-t, 0, t); \gamma_1(t) = (t, 0, t)$ , para  $0 < t \leq 1$ .



Veja também que  $(T, 0)$  é um germe de triângulo sincronizado, onde, para cada  $t \in (0, 1)$ :

$$f_t : [-t, t] \rightarrow \mathbb{R}; f_t(x) = t^2 - x^2$$

é a família de funções geradoras de  $(T, 0)$ . Por fim, perceba que

$$\frac{\partial f_t}{\partial x}(a) = -2a \in [-2t, 2t] \subseteq [-2, 2]; \forall 0 < t \leq 1, -t < a < t$$

o que mostra que  $(T, 0)$  tem derivada 2-limitada e é  $C^1$ .

**Exemplo 4.1.6.** Considere o conjunto em  $C_{\sqrt{2}}$ :

$$T = \left\{ \left( x, \frac{x}{t} + t, t \right) \mid 0 < t < 1; -t^2 \leq x \leq 0 \right\} \cup \left\{ \left( x, -\frac{x}{t} + t, t \right) \mid 0 < t < 1; 0 \leq x \leq t^2 \right\}$$

Note que  $(T, 0)$  é um triângulo de Hölder com vértice principal na origem, e cujos arcos de fronteira são os germes  $(\gamma_0, 0), (\gamma_1, 0)$ , em que  $\gamma_0(t) = (-t^2, 0, t); \gamma_1(t) = (t^2, 0, t)$ , para  $0 < t < 1$ .

Veja também que  $(T, 0)$  é um germe de triângulo sincronizado, onde, para cada  $t \in (0, 1)$ :

$$f_t : [-t, t] \rightarrow \mathbb{R}; f_t(x) = \begin{cases} \frac{x}{t} + t, & x \in [-t^2, 0] \\ -\frac{x}{t} + t, & x \in [0, t^2] \end{cases}$$

É a família de funções geradoras de  $(T, 0)$ . Observe que  $(T, 0)$  é sincronizado mas não é de classe  $C^1$ . Por fim, perceba que:

$$\left| \frac{\partial f_t}{\partial x}(a) \right| = \frac{1}{t}; \forall 0 < t < 1, a \in (-t^2, 0) \cup (0, t^2)$$

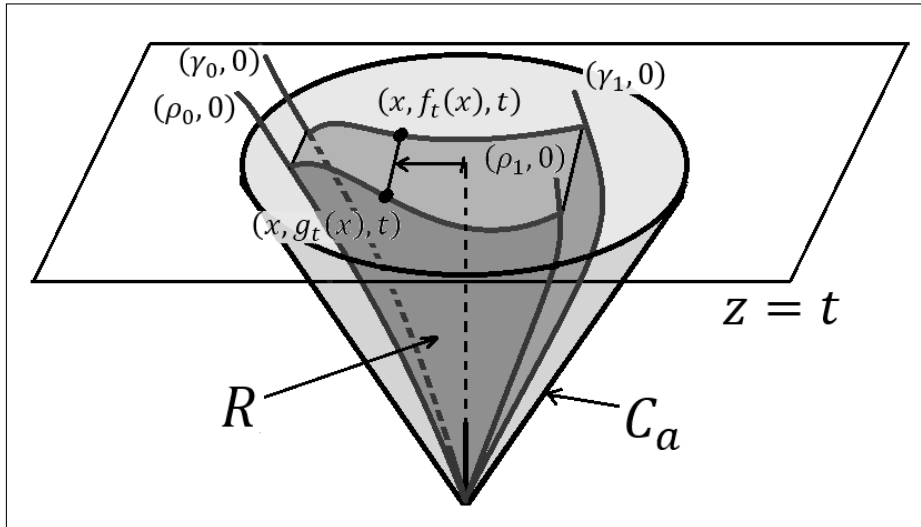
O que mostra que  $(T, 0)$  não tem derivada  $M$ -limitada, para todo  $M > 0$ , visto que  $\lim_{t \rightarrow 0^+} \frac{1}{t} = +\infty$ .

**Definição 4.1.7.** Seja  $a > 0$  e sejam  $(T_1, 0), (T_2, 0) \subset (C_a^3, 0)$  germes de triângulos sincronizados. Dizemos que  $(T_1, 0), (T_2, 0)$  são **alinhados nos arcos de fronteira** se existem quatro germes de curvas distintos  $(\gamma_0, 0), (\gamma_1, 0), (\rho_0, 0), (\rho_1, 0) \subseteq (C_a^3, 0)$ , tais que:

$$\gamma_0 = \gamma_0(t) = (x_0(t), y_0(t), t), \gamma_1 = \gamma_1(t) = (x_1(t), y_1(t), t)$$

$$\rho_0 = \rho_0(t) = (x_0(t), w_0(t), t), \rho_1 = \rho_1(t) = (x_1(t), w_1(t), t)$$

são suas  $z$ -parametrizações, para  $t > 0$  suficientemente pequeno, e que  $(\gamma_0, 0), (\gamma_1, 0)$  são arcos de fronteira de  $(T_1, 0)$  e  $(\rho_0, 0), (\rho_1, 0)$  são arcos de fronteira de  $(T_2, 0)$ . Suponha ainda que  $\{f_t\}, \{g_t\}$  sejam as famílias de funções geradoras de  $(T_1, 0)$  e  $(T_2, 0)$ , respectivamente, e que para todo  $t > 0$  suficientemente pequeno:

Figura 9 – Retângulo curvilinear delimitado por  $(T_1, 0)$ ,  $(T_2, 0)$ 

Fonte: elaborado pelo autor.

- $f_t(x_0) = y_0(t)$ ,  $f_t(x_1) = y_1(t)$ ,  $g_t(x_0) = w_0(t)$  e  $g_t(x_1) = w_1(t)$ ;
- $f_t(x) \geq g_t(x)$ , para todo  $x_0(t) \leq x \leq x_1(t)$ .

Definimos o **retângulo curvilinear delimitado por**  $(T_1, 0)$ ,  $(T_2, 0)$  como sendo o germe do seguinte conjunto semialgébrico:

$$R = \{(x, y, t) \in C_a^3 \mid x_0(t) \leq x \leq x_1(t) ; g_t(x) \leq y \leq f_t(x)\}$$

Caso  $(\gamma_0, 0) = (\rho_0, 0)$  e  $(\gamma_1, 0) = (\rho_1, 0)$ , demoninamos o retângulo curvilinear delimitado por  $(T_1, 0)$ ,  $(T_2, 0)$  também como a **região delimitada por**  $(T_1, 0)$ ,  $(T_2, 0)$ .

**Observação 4.1.8.** Para cada  $t > 0$  e para cada  $(u, v) \in [0, 1]^2$ , defina:

$$\theta_u(t) = u \cdot x_1(t) + (1 - u) \cdot x_0(t) \in [x_0(t), x_1(t)]$$

$$\sigma_{u,v}(t) = v \cdot f_t(\theta_u(t)) + (1 - v) \cdot g_t(\theta_u(t)) \in [g_t(\theta_u(t)), f_t(\theta_u(t))]$$

Note que para todo ponto  $P$  no retângulo curvilinear  $(R, 0)$ , existem  $(u, v) \in [0, 1]^2$ ,  $t > 0$  tais que  $P = (\theta_u(t), \sigma_{u,v}(t), t)$ . Além disso, para cada  $P \in (R, 0)$ ,  $u$  e  $t$  são únicos e se  $f_t(\theta_u(t)) > g_t(\theta_u(t))$ ,  $v$  também será único (caso  $f_t(\theta_u(t)) = g_t(\theta_u(t))$ , temos  $P = (\theta_u(t), \sigma_{u,v}(t), t)$  para todo  $v \in [0, 1]$ ). Dessa forma, se definirmos para cada  $(u, v) \in [0, 1]^2$  os arcos semialgébricos  $\gamma_{u,v} : (\mathbb{R}_+^*, 0) \rightarrow (C_a^3, 0)$  como:

$$\gamma_{u,v}(t) = (\theta_u(t), \sigma_{u,v}(t), t) ; t > 0$$

Então os arcos  $\gamma_{u,v} \subset V(R)$  formam uma cobertura do germe  $(R, 0)$ . Com isso, podemos definir  $\{\gamma_{u,v}\}_{(u,v) \in [0,1]^2}$  como a **cobertura por arcos do retângulo curvilinear delimitado**

por  $(T_1, 0), (T_2, 0)$ . Finalmente, note que, para cada  $(u, v) \in [0, 1]^2$ , como cada germe de curva  $(\gamma_{u,v}, 0)$  é semialgébrico, então o limite  $\lim_{t \rightarrow 0^+} (\gamma'_{u,v}(t))$  existe e é um vetor, denominado  $\gamma'_{u,v}(0)$ .

## 4.2 Propriedades básicas

A seguir, demonstraremos algumas propriedades estruturais básicas dos triângulos sincronizados e das regiões delimitadas por triângulos alinhados nos arcos de fronteira. Nas proposições seguintes desta seção, considere os elementos como nas definições 4.1.1, 4.1.4, 4.1.7 e como nas observações 4.1.3 e 4.1.8.

**Proposição 4.2.1.** *Sejam  $a, M > 0$  e seja  $(T, 0) \subset (C_a^3, 0)$  um germe de triângulo sincronizado  $C^1$ , com derivada  $M$ -limitada. Se  $\{f_t\}$  é a família de funções associada a  $(T, 0)$ , então, existem  $\varepsilon > 0$  suficientemente pequeno e  $N > 1$  suficientemente grande tais que, para todo  $0 < t < \varepsilon$ ,  $x \in (x_0(t), x_1(t))$  e  $u \in [0, 1]$ :*

$$\left| \frac{\partial}{\partial t}(f_t)(x) \right|, |\gamma'_u(t)| < N$$

*Demonstração.* O resultado a seguir pode ser visto como uma consequência de estratificação como em (KURDYKA, 1992). Aqui, daremos uma prova diferente, usando o lema de seleção de curva.

Como  $(T, 0)$  é de classe  $C^1$ , podemos tomar  $\varepsilon_0 > 0$  tal que  $\frac{\partial}{\partial t}(f_t)(x)$  esteja bem definida, para todo  $0 < t < 2\varepsilon_0$  e todo  $x_0(t) < x < x_1(t)$ . Agora, para cada  $n \in \mathbb{N}$ , defina:

$$A_n = \left\{ (t, x) \in (0, 2\varepsilon_0) \times \mathbb{R} \mid x_0(t) < x < x_1(t); \left| \frac{\partial}{\partial t}(f_t)(x) \right| > n \right\}$$

Suponha que, para todo  $n \in \mathbb{N}$  e todo  $t > 0$  suficientemente pequeno, tenhamos  $A_n \cap C_a^3(t) \neq \emptyset$ . Como  $A_n$  é semialgébrico, pelo lema de seleção de curva existe um germe de arco  $(\psi_n, 0) \subseteq (A_n, 0)$ . Escrevendo  $\psi_n = \psi_n(t) = (x(t), y(t), t)$  e notando que  $\psi_n$  é semialgébrico, existe  $0 < \varepsilon < \varepsilon_0$  suficientemente pequeno de modo que  $\psi'_n(t) = (x'(t), y'(t), 1)$  está bem definida e é contínua, para todo  $t \in [0, \varepsilon]$ , onde  $\psi'_n(0) = \lim_{t \rightarrow 0^+} (\psi'_n(t))$ . Como  $(\psi_n, 0) \subset (C_a^3, 0)$ , temos  $\psi'_n(0) = (x'(0), y'(0), 1) \in C_a^3$ , donde  $(x'(0))^2 + (y'(0))^2 \leq a^2$  e daí  $|x'(0)|, |y'(0)| \leq a$ . Assim, pela continuidade de  $\psi'_n$  ao redor de 0, podemos assumir que  $\varepsilon > 0$  é pequeno o bastante de modo que  $|x'(\varepsilon)|, |y'(\varepsilon)| \leq a + a = 2a$ .

Considere  $\psi_n(\varepsilon) = (x, y, \varepsilon)$  e, para cada  $t_0 \in \mathbb{R}$  de valor absoluto suficientemente pequeno, considere os pontos:

$$P(t_0) = \psi_n(\varepsilon + t_0) = (x_{P(t_0)}, f_{\varepsilon+t_0}(x_{P(t_0)}), \varepsilon + t_0)$$

$$Q(t_0) = (x, f_{\varepsilon+t_0}(x), \varepsilon + t_0)$$

E note que  $P(0) = Q(0) = (x, y, \varepsilon)$ . Veja que, de:

$$\begin{aligned}\psi'_n(\varepsilon) &= (x'(\varepsilon), y'(\varepsilon), 1) = (r_1, s_1, 1) \\ Q'(\varepsilon) &= \left(0, \frac{\partial}{\partial t}(f_t)(\varepsilon), 1\right) = (0, s_2, 1)\end{aligned}$$

Podemos escrever:

$$\begin{aligned}x_{P(t_0)} &= x + r_1 \cdot t_0 + o(t_0) \\ f_{\varepsilon+t_0}(x_{P(t_0)}) &= y + s_1 \cdot t_0 + o(t_0) \\ x_{Q(t_0)} &= x, f_{\varepsilon+t_0}(x) = y + s_2 \cdot t_0 + o(t_0)\end{aligned}$$

Assim, para  $t_0 \neq 0$  suficientemente pequeno, e de  $|r_1|, |s_1| \leq 2a, |s_2| > n$ , vem:

$$\begin{aligned}|x_{P(t_0)} - x| &= |r_1 \cdot t_0 + o(t_0)| < (|r_1| + 1) \cdot |t_0| \leq (2a + 1) \cdot |t_0| \\ |f_{\varepsilon+t_0}(x_{P(t_0)}) - f_{\varepsilon+t_0}(x)| &\geq |f_{\varepsilon+t_0}(x) - y| - |f_{\varepsilon+t_0}(x_{P(t_0)}) - y| = \\ &= |s_2 \cdot t_0 + o(t_0)| - |s_1 \cdot t_0 + o(t_0)| > (|s_2| - 1) \cdot |t_0| - (|s_1| + 1) \cdot |t_0| = \\ &= (|s_2| - |s_1| - 2) \cdot |t_0| > (n - 2a - 2) \cdot |t_0|\end{aligned}$$

Portanto, como cada  $f_t$  possui derivada  $M$ -limitada:

$$M \geq \left| \frac{f_{\varepsilon+t_0}(x_{P(t_0)}) - f_{\varepsilon+t_0}(x)}{x_{P(t_0)} - x} \right| > \frac{(n - 2a - 2) \cdot |t_0|}{(2a + 1) \cdot |t_0|} = \frac{n - 2a - 2}{2a + 1}$$

Uma contradição, para  $n$  suficientemente grande. Portanto, existe  $n \in \mathbb{N}$  e  $\varepsilon > 0$  suficientemente pequeno tal que  $A_n \cap C_a^3[\varepsilon] = \emptyset$ . Como  $A_1 \supseteq A_2 \supseteq \dots$ , segue que  $A_n \cap C_a^3[\varepsilon] = \emptyset$ , para todo  $n \geq N$ . Portanto,  $\left| \frac{\partial}{\partial t}(f_t)(x) \right| < N$ , para todo  $0 < t < \varepsilon$  e  $x_0(t) < x < x_1(t)$ , provando a primeira desigualdade.

A demonstração da segunda desigualdade é bastante similar, e a escreveremos por completude. Temos que os germes de curvas  $(\gamma_0, 0)$  e  $(\gamma_1, 0)$  são semialgêbricos e estão em

$(C_a^3, 0)$ . Tomando a série de Puiseux em cada coordenada, temos que existe  $\alpha, \beta \in \mathbb{Q}_{>0}$  e  $r, s \in \mathbb{R}$  tais que:

$$x_0(t) = r \cdot t^\alpha + o(t^\alpha)$$

$$x_1(t) - x_0(t) = s \cdot t^\beta + o(t^\beta)$$

Note que, como  $(x_0(t), f_t(x_0(t)), t), (x_1(t), f_t(x_1(t)), t) \in C_a^3$ , isso implica  $\alpha, \beta \geq 1$ . Também, como  $\theta_u(t) = u \cdot x_1(t) + (1 - u) \cdot x_0(t) = x_0(t) + u \cdot (x_1(t) - x_0(t))$ , ao derivar em  $t$ , temos:

$$\theta'_u(t) = r\alpha \cdot t^{\alpha-1} + o(t^{\alpha-1}) + u \cdot (s\beta \cdot t^{\beta-1} + o(t^{\beta-1}))$$

Donde, para  $\varepsilon_0 > 0$  suficientemente pequeno,  $|\theta'_u(t)| < N_0$ , para todo  $u \in [0, 1]$  e para alguma constante  $N_0 > 0$  que não depende de  $t$  e de  $u$ . Agora, cada  $n \in \mathbb{N}$ , defina:

$$B_n = \{(u, t) \in (0, 1) \times (0, 2\varepsilon_0) \mid |\gamma'_u(t)| > n\}$$

Suponha que, para todo  $n \in \mathbb{N}$  e todo  $\varepsilon > 0$ ,  $B_n \cap C_a^3(\varepsilon) \neq \emptyset$ . Como  $B_n$  é semi-algébrico, pelo lema de seleção de curva existe um germe de arco  $(\psi_n, 0) \subseteq (B_n, 0)$ . Escrevendo  $\psi_n = \psi_n(t) = (x(t), y(t), t)$  e notando que  $\psi_n$  é semi-algébrico, existe  $0 < \varepsilon < \varepsilon_0$  de modo que  $\psi'_n(t) = (x'(t), y'(t), 1)$  está bem definida e é contínua, para todo  $t \in [0, \varepsilon]$ , onde  $\psi'_n(0) = \lim_{t \rightarrow 0^+} (\psi'_n(t))$ . Como  $(\psi_n, 0) \subset (C_a^3, 0)$ , temos  $\psi'_n(0) = (x'(0), y'(0), 1) \in C_a^3$ , donde  $(x'(0))^2 + (y'(0))^2 \leq a^2$  e daí  $|x'(0)|, |y'(0)| \leq a$ . Assim, pela continuidade de  $\psi'_n$ , podemos assumir que  $\varepsilon$  é pequeno o bastante de modo que  $|x'(\varepsilon)|, |y'(\varepsilon)| \leq a + a = 2a$ .

Considere  $\psi_n(\varepsilon) = \gamma_u(\varepsilon)$ , para algum  $u$ , e, para cada  $t_0 \in \mathbb{R}$  de valor absoluto suficientemente pequeno, considere os pontos:

$$P(t_0) = \psi_n(\varepsilon + t_0) = (x_{P(t_0)}, f_{\varepsilon+t_0}(x_{P(t_0)}), \varepsilon + t_0)$$

$$Q(t_0) = \gamma_u(\varepsilon + t_0) = (x_{Q(t_0)}, f_{\varepsilon+t_0}(x_{Q(t_0)}), \varepsilon + t_0)$$

E note que  $P(0) = Q(0) = (x, y, \varepsilon)$ . Veja que, de:

$$\psi'_n(\varepsilon) = (x'(\varepsilon), y'(\varepsilon), 1) = (r_1, s_1, 1)$$

$$\gamma'_u(\varepsilon) = (\theta'_u(\varepsilon), (f_t(\theta_u(t)))'(\varepsilon), 1) = (r_2, s_2, 1)$$

Podemos escrever:

$$x_{P(t_0)} = x + r_1 \cdot t_0 + o(t_0)$$

$$f_{\varepsilon+t_0}(x_{P(t_0)}) = y + s_1 \cdot t_0 + o(t_0)$$

$$x_{Q(t_0)} = x + r_2 \cdot t_0 + o(t_0)$$

$$f_{\varepsilon+t_0}(x_{Q(t_0)}) = y + s_2 \cdot t_0 + o(t_0)$$

Assim, para  $t_0 \neq 0$  suficientemente pequeno, e de  $|r_1|, |s_1| \leq 2a, |r_2| < N_0, |s_2| > n$ , teremos:

$$\begin{aligned} |x_{P(t_0)} - x_{Q(t_0)}| &\leq |x_{P(t_0)} - x| + |x - x_{Q(t_0)}| = |r_1 \cdot t_0 + o(t_0)| + |r_2 \cdot t_0 + o(t_0)| < \\ &< (|r_1| + 1) \cdot |t_0| + (|r_2| + 1) \cdot |t_0| = (|r_1| + |r_2| + 2) \cdot |t_0| < (2a + N_0 + 2) \cdot |t_0| \end{aligned}$$

$$\begin{aligned} |f_{\varepsilon+t_0}(x_{P(t_0)}) - f_{\varepsilon+t_0}(x_{Q(t_0)})| &\geq |f_{\varepsilon+t_0}(x_{Q(t_0)}) - y| - |f_{\varepsilon+t_0}(x_{P(t_0)}) - y| \\ &= |s_2 \cdot t_0 + o(t_0)| - |s_1 \cdot t_0 + o(t_0)| > (|s_2| - 1) \cdot |t_0| - (|s_1| + 1) \cdot |t_0| = \\ &= (|s_2| - |s_1| - 2) \cdot |t_0| > (n - 2a - 2) \cdot |t_0| \end{aligned}$$

Portanto, como cada  $f_t$  possui variação  $M$ -limitada:

$$M > \left| \frac{f_{\varepsilon+t_0}(x_{P(t_0)}) - f_{\varepsilon+t_0}(x_{Q(t_0)})}{x_{P(t_0)} - x_{Q(t_0)}} \right| > \frac{(n - 2a - 2) \cdot |t_0|}{(2a + N_0 + 2) \cdot |t_0|} = \frac{n - 2a - 2}{2a + N_0 + 2}$$

Uma contradição, para  $n$  suficientemente grande (note que  $a, N_0$  não dependem de  $n$ ). Portanto, existe  $n \in \mathbb{N}$  e  $\varepsilon > 0$  suficientemente pequeno tal que  $B_n \cap C_a^3[\varepsilon] = \emptyset$ . Como  $B_1 \supset B_2 \supset \dots$ , segue que  $B_n \cap C_a^3[\varepsilon] = \emptyset$ , para todo  $\varepsilon > 0$  suficientemente pequeno e todo  $n \in \mathbb{N}$  suficientemente grande, finalizando a demonstração.  $\square$

**Corolário 4.2.2.** *Sejam  $a, M > 0$  real e sejam  $(T_1, 0), (T_2, 0) \subset (C_a^3, 0)$  germes de funções se-mialgêbricas de classe  $C^1$ , com variação  $M$ -limitada e alinhados nos arcos de fronteira. Seja  $\{\gamma_{u,v}\}_{(u,v) \in [0,1]^2}$  a cobertura por arcos do retângulo curvilíneo delimitado por  $(T_1, 0)$  e  $(T_2, 0)$ . Então, existem  $\varepsilon > 0, N > 1$  tais que, para todo  $(u, v, t) \in [0, 1]^2 \times [0, \varepsilon)$ :*

$$|\gamma'_{u,v}(t)| < N$$

*Demonstração.* Pela Proposição 4.2.1, existem  $\varepsilon > 0$  e  $N_0 > 1$  tais que  $|\gamma'_{u,v}(t)| < N_0$  para todo  $(u, v, t) \in [0, 1] \times \{0, 1\} \times [0, \varepsilon]$ . Daí:

$$|\gamma'_{u,0}(t)| = |(\theta'_u(t), (g_t(\theta_u(t)))'(t), 1)| < N_0 \Rightarrow |\theta'_u(t)|, |(g_t(\theta_u(t)))'(t)| < N_0$$

$$|\gamma'_{u,1}(t)| = |(\theta'_u(t), (f_t(\theta_u(t)))'(t), 1)| < N_0 \Rightarrow |(f_t(\theta_u(t)))'(t)| < N_0$$

E assim:

$$(\sigma_{u,v}(t))'(t) = v \cdot (f_t(\theta_u(t)))'(t) + (1-v) \cdot (g_t(\theta_u(t)))'(t) \Rightarrow$$

$$|(\sigma_{u,v}(t))'(t)| \leq v \cdot |(f_t(\theta_u(t)))'(t)| + (1-v) \cdot |(g_t(\theta_u(t)))'(t)| < v \cdot N_0 + (1-v) \cdot N_0 = N_0$$

Donde:

$$|\gamma'_{u,v}(t)| = |(\theta'_u(t), (\sigma_{u,v}(t))'(t), 1)| < \sqrt{N_0^2 + N_0^2 + 1} = N$$

Finalizando a demonstração. □

**Proposição 4.2.3.** *Sejam  $(T_1, 0), (T_2, 0) \subset (C_a^3, 0)$  germes de triângulos sincronizados de classe  $C^1$ , com derivada  $M$ -limitada e alinhados nos arcos de fronteira. Então o retângulo curvilinear delimitado por  $(T_1, 0)$  e  $(T_2, 0)$  é um germe de um conjunto semialgébrico normalmente mergulhado.*

*Demonstração.* Inicialmente, note que por conta do Corolário 4.2.2, podemos tomar  $\varepsilon > 0$  suficientemente pequeno e  $N > 1$  suficientemente grande tal que, para todo  $0 \leq t < \varepsilon$  e todo  $(u, v) \in [0, 1]^2$ :  $\|\gamma'_{u,v}(t)\| < N$ . Denotando  $\gamma'_{u,v}(t) = (x'(u, v, t), y'(u, v, t), 1)$ , temos em particular  $|x'(u, v, t)|, |y'(u, v, t)| < N$ .

Agora, sejam  $(u_1, v_1, t_1), (u_2, v_2, t_2) \in [0, 1]^2 \times [0, \varepsilon]$  e sejam:

$$A_1 = (\theta_{u_1}(t_1), \sigma_{u_1, v_1}(t_1), t_1) = (x_{A_1}, y_{A_1}, t_1); A_2 = (\theta_{u_2}(t_2), \sigma_{u_2, v_2}(t_2), t_2) = (x_{A_2}, y_{A_2}, t_2)$$

$$B = (\theta_{u_2}(t_1), \sigma_{u_2, v_1}(t_1), t_1) = (x_B, y_B, t_1); C = (\theta_{u_2}(t_1), \sigma_{u_2, u_2}(t_1), t_1) = (x_C, y_C, t_1)$$

Desejamos mostrar que existe  $\tilde{N} \geq 1$  tal que  $d_i(A_1, A_2) \leq \tilde{N} \cdot d(A_1, A_2)$ . O caso  $t_1 = t_2$  ( $C = A_2$ ) é imediato pela Proposição 2.2.18. Suponha agora que  $t_1 \neq t_2$ . Note também que, como  $C, A_2 \in \gamma_{u_2, v_2}$ , e que, para cada real positivo  $t$  entre  $t_1, t_2$ ,  $|x'(u_2, v_2, t)|, |y'(u_2, v_2, t)| < N$ , temos

que  $|x_C - x_{A_2}|, |y_C - y_{A_2}| \leq N \cdot |t_1 - t_2|$ . Assim, se  $l_2$  é o comprimento da porção da curva  $\gamma_{u_2, v_2}$  ligando  $C$  a  $A_2$ , então:

$$l_2 = \int_{t_1}^{t_2} \|\gamma'_{u_2, v_2}(t)\| dt \leq \int_{t_1}^{t_2} N dt = N \cdot |t_1 - t_2| \leq N \cdot d(C, A_2)$$

Ademais, se  $\alpha$  é o ângulo entre os segmentos  $\overline{CA_1}$  e  $\overline{CA_2}$ , então  $\alpha \in [\alpha_0, \pi - \alpha_0]$ , onde  $\alpha_0$  é o ângulo entre  $\overline{CA_2}$  e o plano  $z = t_1$ , uma vez que  $C, A_1$  estão neste plano. Assim:

$$\begin{aligned} |\cot \alpha| &\leq |\cot \alpha_0| \leq \frac{\sqrt{(x_C - x_{A_2})^2 + (y_C - y_{A_2})^2}}{|t_2 - t_1|} \leq N\sqrt{2} \Rightarrow \\ \Rightarrow \cos \alpha &= \frac{1}{\frac{1}{\cot^2 \alpha} + 1} \leq \frac{1}{\frac{1}{2N^2} + 1} = 1 - \frac{2}{M_0^2} \end{aligned}$$

Para algum  $M_0 \geq 1$ , donde  $d(A_1, C) + d(C, A_2) \leq M_0 \cdot d(A_1, A_2)$ , pelo Lema 2.2.19. Como  $d_i(A_1, C) \leq \sqrt{1 + M^2} \cdot d(A_1, C)$ , segue que, se definirmos  $\tilde{N} = \sqrt{1 + M^2}NM_0$ :

$$\begin{aligned} d_i(A_1, A_2) &\leq d_i(A_1, C) + d_i(C, A_2) \leq \sqrt{1 + M^2}d(A_1, C_1) + l_2 \leq \\ &\leq \sqrt{1 + M^2} \cdot d(A, C_1) + N \cdot d(C, A_2) \leq \sqrt{1 + M^2}N(d(A_1, C) + d(C, A_2)) \leq \\ &\leq \sqrt{1 + M^2}NM_0 \cdot d(A_1, A_2) = \tilde{N} \cdot d(A_1, A_2) \end{aligned}$$

Logo,  $d_i(A_1, A_2) \leq \tilde{N} \cdot d(A_1, A_2)$ , e, portanto, o resultado está demonstrado.  $\square$

### 4.3 Decomposição convexa

As proposições desta seção essencialmente usam as técnicas desenvolvidas em (PARUSIŃSKI, 1994) e em (KURDYKA, 1992). Apresentaremos uma prova com algumas adaptações específicas para obtermos triângulos sincronizados, de modo similar ao que é feito em (BIRBRAIR, 1999).

Para cada ângulo  $\theta \in \mathbb{R}$ , defina a aplicação de rotação de eixos  $r_\theta : \mathbb{R}^3 \rightarrow \mathbb{R}^3$ :

$$r_\theta(x, y, t) = (x \cdot \cos \theta + y \cdot \sin \theta, -x \cdot \sin \theta + y \cdot \cos \theta, t)$$

Note que  $r_\theta$  é uma aplicação bi-Lipschitz ambiente, pois é uma isometria.

**Proposição 4.3.1.** *Seja  $a > 0$  e seja  $X \subset C_a^3$  uma superfície 2-dimensional pura, semialgébrica e fechada. Então, existe  $n \in \mathbb{N}$ ,  $\alpha_1, \dots, \alpha_n \in \mathbb{Q}_{\geq 1}$  e  $M > 0$  tais que:*



1.  $(X, 0)$  é a união de germes de triângulos de Hölder  $(X_1, 0), \dots, (X_n, 0)$ , onde, para  $i, j \in \{1, \dots, n\}; i \neq j$ , temos que  $(X_i, 0) \cap (X_j, 0) = \{0\}$  ou que  $(X_i, 0) \cap (X_j, 0)$  é um arco. Ademais, se definirmos:

$$\Gamma := \{(X_i, 0) \cap (X_j, 0) : i, j \in \{1, \dots, n\}; i \neq j\}$$

Então os elementos de  $\Gamma - \{0\}$  são arcos de fronteira de  $(X_1, 0), \dots, (X_n, 0)$ ;

2.  $(\text{sing}(X), 0) \subset \Gamma$ ;  
 3. Existem ângulos  $\theta_1, \dots, \theta_n$  tais que  $(T_i, 0)$  é um germe de um triângulo sincronizado, de classe  $C^1$  e derivada  $M$ -limitada, onde  $T_i = r_{\theta_i}(X_i)$ , para cada  $i = 1, \dots, n$ .

Qualquer decomposição  $(X, 0) = \bigcup_{i=1}^n (X_i, 0)$  do germe  $(X, 0)$  satisfazendo tais condições é chamada de **Decomposição Sincronizada de  $(X, 0)$** .

*Demonstração.* Seja  $\{e_x, e_y, e_z\}$  a base ortonormal canônica em  $\mathbb{R}^3$ ,  $R_{ij} = \text{span}\{e_i, e_j\}$  e  $\pi_{ij} : \mathbb{R}^3 \rightarrow R_{ij}$  a projeção ortogonal. Considere a aplicação de Gauss:

$$G : X - \text{sing}(X) \rightarrow G(2, 3) ; G(p) = T_p(X) \in G(2, 3) ; \forall p \in X - \text{sing}(X)$$

Para cada  $\delta > 0$  e  $\{i, j\} \in \{x, y, z\}$ , defina:

$$U_{ij}(\delta) = \left\{ m \in G(2, 3) \mid \angle(m, R_{ij}) < \frac{\pi}{2} - \delta \right\}$$

**Afirmção 4.3.2.** *Existem  $\varepsilon, \delta > 0$  suficientemente pequenos tais que:*

$$p \in (X - \text{sing}(X)) \cap C_a^3[\varepsilon] \Rightarrow G(x) \in U_{xz}(\delta) \cup U_{yz}(\delta)$$

*Demonstração.* Para cada  $p \in X - \text{sing}(X)$ , seja  $(x_p, y_p, z_p)$  o vetor unitário ortogonal a  $T_p(X)$ . Note que  $p \notin U_{xz}(\delta) \cup U_{yz}(\delta) \Leftrightarrow |x_p|, |y_p| \leq \sin \delta$ . Portanto, se provarmos que existe  $\rho = 1 - \sqrt{1 - 2\sin^2(\delta)} > 0$  suficientemente pequeno tal que, para algum  $\varepsilon > 0$ :

$$p \in (X - \text{sing}(X)) \cap C_a^3[\varepsilon] \Rightarrow |z_p| < 1 - \rho$$

Então a afirmação estará demonstrada, uma vez que  $x_p^2 + y_p^2 = 1 - z_p^2 > 2\sin^2(\delta)$  implicaria  $|x_p| > \sin \delta$  ou  $|y_p| > \sin \delta$ . Tome  $\rho = 1 - \sqrt{\frac{2a^2}{1+2a^2}}$  e suponha que, para todo  $\varepsilon > 0$ , existe  $p \in (X - \text{sing}(X)) \cap C_a^3[\varepsilon]$  tal que  $|z_p| \geq 1 - \rho$ . Pelo lema da seleção de curva, existe  $\varepsilon_0 > 0$  e uma curva  $\gamma : [0, \varepsilon_0] \rightarrow C_a^3; \gamma(t) = (x(t), y(t), t)$  tal que  $|z_{\gamma(t)}| \geq 1 - \rho$ , para todo  $0 < t < \varepsilon_0$ . Como  $(x'(t), y'(t), 1) \in T_{\gamma(t)}(X)$ , para cada  $0 \leq t < \varepsilon_0$ , temos:

$$0 = (x'(t), y'(t), 1) \cdot (x_{\gamma(t)}, y_{\gamma(t)}, z_{\gamma(t)}) \Rightarrow |-z_{\gamma(t)}| = |x'(t) \cdot x_{\gamma(t)} + y'(t) \cdot y_{\gamma(t)}| \leq$$

$$\leq \sqrt{(x'(t))^2 + (y'(t))^2} \sqrt{(x_{\gamma(t)})^2 + (y_{\gamma(t)})^2} = \sqrt{(x'(t))^2 + (y'(t))^2} \sqrt{1 - z_{\gamma(t)}^2}$$

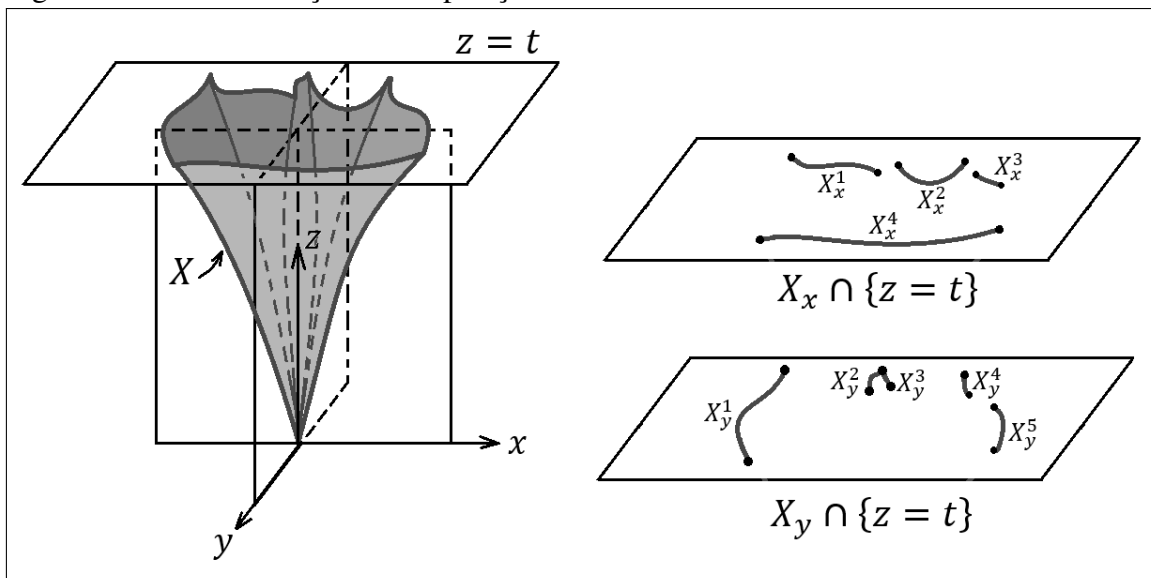
$$\Rightarrow (x'(t))^2 + (y'(t))^2 \geq \frac{z_{\gamma(t)}^2}{1 - z_{\gamma(t)}^2} \geq 2a^2$$

Por outro lado, como  $\gamma \subset C_a^3$  é uma curva semialgébrica, temos também que  $(x'(0), y'(0), 1) \in C_a^3$ , donde  $x'(0) + y'(0) \leq a^2$ , uma contradição. Logo, a afirmação está provada.  $\square$

Agora, considere  $X_x = \overline{G^{-1}(U_{xz}(\delta))}$  e  $X_y = \overline{G^{-1}(U_{yz}(\delta))} - X_x$ . Para cada  $t = x, y$ , existe uma decomposição em panquecas  $\{X_t^k\}_{1 \leq k \leq K_t}$  de  $X_t$  satisfazendo as seguintes condições:

1. Todos os conjuntos  $X_t^k$  são semialgébricos satisfazendo  $0 \in X_t^k$ .
2.  $(X_t^k, 0)$  é um germe de um triângulo curvilíneo com vértice na origem (em particular, um triângulo de Hölder).
3. Para  $k_1 \neq k_2$ ,  $(X_t^{k_1}, 0) \cap (X_t^{k_2}, 0) \in \{0\}$  ou um arco.
4. para cada  $1 \leq k \leq K_t$ ,  $\pi_{tz}|_{X_t^k \cap C_a^3(\varepsilon)}$  é um homeomorfismo sobre sua imagem.

Figura 10 – Demonstração da Proposição 4.3.1



Fonte: elaborado pelo autor.

Finalmente, tomando  $T_x^k = r_0(X_x^k)$  e  $T_y^k = r_{\frac{z}{2}}(X_y^k)$ , e considerando  $\{T_1, \dots, T_n\}$  uma reindexação dos conjuntos  $T_x^k, T_y^k$ , temos que cada  $(T_i, 0)$  é um germe de um triângulo sincronizado de derivada  $M$ -limitada (por conta da projeção  $\pi_{xz}$  ou  $\pi_{yz}$ ) e de classe  $C^1$ . Isso encerra a demonstração.  $\square$

**Observação 4.3.3.** Dada uma decomposição sincronizada  $P$  de  $(X, 0)$ , observe que, se escolhermos um germe de triângulo de Hölder  $(X_k, 0)$  dessa decomposição, e dividirmos  $(X_k, 0)$  em dois germes de triângulos de Hölder  $(X_{k,0}, 0), (X_{k,1}, 0)$  por meio de um arco  $(\gamma, 0) \subset (X_i, 0)$ , então se  $P'$  é a partição  $(X, 0) = \left( \bigcup_{i=1, i \neq k}^n (X_i, 0) \right) \cup (X_{k,0}, 0) \cup (X_{k,1}, 0)$ ,  $P'$  também cumprirá as condições da Proposição 4.3.1, sendo assim uma decomposição sincronizada de  $(X, 0)$ . A partição  $P'$  é denominada **refinamento direto de  $P$** .

Dizemos ainda que uma decomposição sincronizada  $P'$  de um germe  $(X, 0)$  é um refinamento da decomposição sincronizada  $P$  de  $(X, 0)$  se existe uma sequência finita de decomposições  $P = P_0, P_1, \dots, P_n = P'$  tais que  $P_i$  é refinamento direto de  $P_{i-1}$ , para todo  $i = 1, \dots, n$ .

**Proposição 4.3.4** (Decomposição Convexa). Seja  $a > 0$  e seja  $X \subset C_a^3$  uma superfície 2-dimensional pura, semialgébrica e fechada. Dada uma decomposição sincronizada de  $(X, 0)$ , temos que, para todo  $\delta > 0$ , existe uma decomposição sincronizada  $(X, 0) = \bigcup_{i=1}^n (X_i, 0)$  que é refinamento da decomposição inicial, tal que:

1. Se  $\{f_t\}$  é a família de funções geradoras ao germe sincronizado  $(T_i, 0) = (r_{\theta_i}(X_i), 0)$ , então cada  $f_t : [x_0(t), x_1(t)] \rightarrow \mathbb{R}$  é uma função convexa;
2. Para todo  $t > 0$  suficientemente pequeno, temos:

$$\left| \frac{\partial f_t}{\partial x_+}(x_0(t)) - \frac{\partial f_t}{\partial x_-}(x_1(t)) \right| < \delta$$

Qualquer decomposição sincronizada do germe de superfície  $(X, 0)$  que cumpre tais condições é chamada de **decomposição  $\delta$ -convexa de  $(X, 0)$** .

*Demonstração.* Demonstraremos a proposição no caso em que  $(X, 0)$  é germe de um triângulo sincronizado, de classe  $C^1$  e derivada  $M$ -limitada, uma vez que o caso geral segue deste, ao aplicar o resultado em cada germe de triângulo sincronizado da decomposição de  $(X, 0)$  obtida da Proposição 4.3.1.

Considere  $\{f_t\}_{0 < t < \varepsilon}$ ;  $f_t : [x_0(t), x_1(t)] \rightarrow \mathbb{R}$  a família de funções geradoras de  $(X, 0)$ , e considere o conjunto:

$$A = \{(x, f_t(x), t) \in X \cap C_a^3[\varepsilon] \mid f_t''(x) = 0\}$$

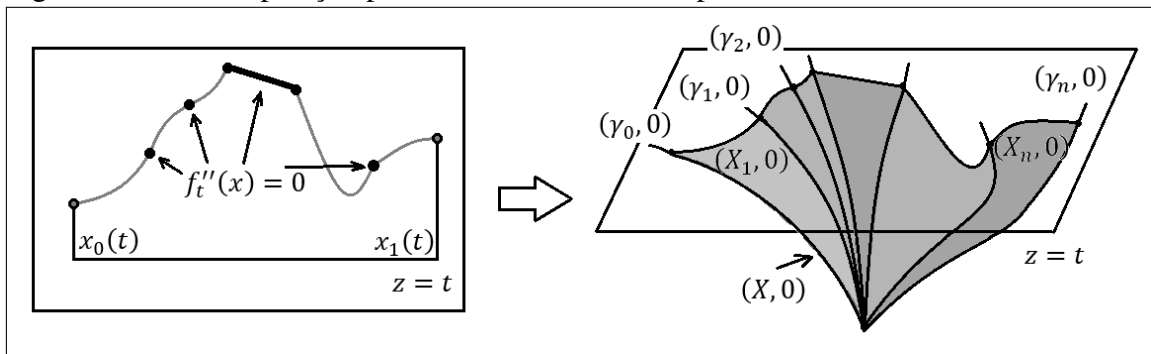
$A \subseteq X$  é um conjunto semialgébrico de dimensão menor ou igual a 2, e assim  $(A, 0)$  é um conjunto vazio, ou uma união finita de arcos e/ou triângulos de Hölder. No primeiro caso, temos que  $f_t''(x)$  é sempre positivo ou negativo, donde  $f_t$  é uma função convexa para todo

$0 < t \leq \varepsilon$  ou  $f_t$  é uma função côncava para todo  $0 < t \leq \varepsilon$  (neste último caso,  $-f_t$  é convexa, e assim podemos considerar o germe  $(r_\pi(X), 0)$  ao invés de  $(X, 0)$ ). No segundo caso, considere  $(\gamma_1, 0), \dots, (\gamma_n, 0)$  os arcos de dimensão 1 que compõe  $A$ , mais os arcos de fronteira dos triângulos de Hölder que compõe  $A$ , mais os germes dos arcos de fronteira de  $X$ . Podemos supor, por meio de uma reindexação de índices, que, para  $\varepsilon > 0$  suficientemente pequeno e que, para cada  $0 \leq i \leq n$ , temos:

$$\gamma_i(t) = (x_i(t), f_t(x_i(t)), t); 0 < t < \varepsilon$$

Com isso, temos que  $f_t|_{[x_i(t), x_{i+1}(t)]}$  é convexa, para todo  $0 < t < \varepsilon$ , ou côncava, para todo  $0 < t < \varepsilon$ . Portanto, se dividirmos  $(X, 0)$  em  $n$  germes de triângulos de Hölder, com  $(X_i, 0)$  sendo o germe delimitado por  $(\gamma_{i-1}, 0), (\gamma_i, 0)$  ( $i = 1, \dots, n$ ), então podemos escolher ângulos  $\theta_1, \dots, \theta_n$  tais que cada  $(T_i, 0)$  tenha funções convexas como família de funções geradoras ( $\theta_i = 0$ , se  $f_t|_{[x_i(t), x_{i+1}(t)]}$  é convexa e  $\theta_i = \pi$ , se  $f_t|_{[x_i(t), x_{i+1}(t)]}$  é côncava).

Figura 11 – Decomposição pelos arcos determinados por  $A$



Fonte: elaborado pelo autor.

Portanto, demonstramos que toda partição sincronizada possui um refinamento que cumpre a primeira condição da proposição, e assim basta demonstrar a proposição assumindo que a família de funções geradoras de  $(X, 0)$  é uma família de funções convexas, pois assim podemos considerar um refinamento do refinamento obtido aqui, em que a segunda condição também é cumprida. Assuma que esse é o caso. e defina, para cada  $0 < t < \varepsilon$ :

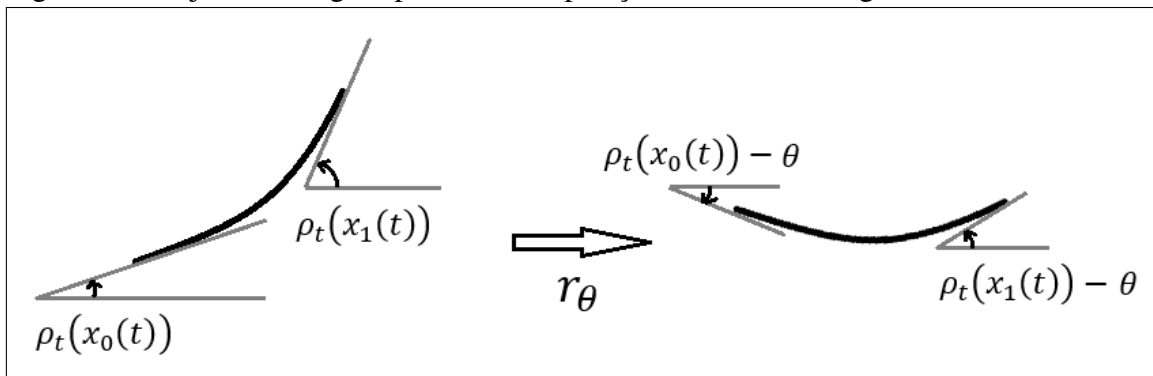
$$\rho_t : [x_0(t), x_1(t)] \rightarrow \left(-\frac{\pi}{2}, \frac{\pi}{2}\right); \rho_t(x) = \arctan f_t'(x)$$

Onde, por conveniência, denotamos  $f_t'(x_0(t)) = \frac{\partial f_t}{\partial x_+}(x_0(t))$  e  $f_t'(x_1(t)) = \frac{\partial f_t}{\partial x_-}(x_1(t))$ . Observe que, pela convexidade das funções de derivada  $M$ -limitada  $f_t$ , temos que, para todos  $0 < t \leq \varepsilon$  e para cada  $x, y \in [x_0(t), x_1(t)]$ , com  $x < y$ , é válido que  $\rho_t(x) \leq \rho_t(y)$ . Daí, se

$a = \lim_{t \rightarrow 0^+} \rho_t(x_0(t))$  e  $b = \lim_{t \rightarrow 0^+} \rho_t(x_1(t))$ , então  $a \leq b$  e, para cada  $\kappa > 0$ , podemos tomar  $\varepsilon > 0$  suficientemente pequeno tal que  $a - \kappa < \rho_t(x_0(t)) \leq \rho_t(x) \leq \rho_t(x_1(t)) < b + \kappa$ , para todo  $0 < t < \varepsilon$  e todo  $x_0(t) \leq x \leq x_1(t)$ . Temos 2 casos a considerar:

*Caso 1:* se  $2 \tan(b - a) < \delta$ , então tome  $\theta = a - \kappa$  e seja  $(T, 0) = (r_\theta(X), 0)$ . Note que  $(T, 0)$  é triângulo sincronizado, de classe  $C^1$ , convexo e com derivada  $\tan(b - a + 2\kappa)$ -limitada. Tomando  $\kappa$  pequeno tal que  $2 \tan(b - a + 2\kappa) < \delta$ , o resultado segue.

Figura 12 – Ajuste do ângulo para a decomposição  $\delta$ -convexa em germe convexo



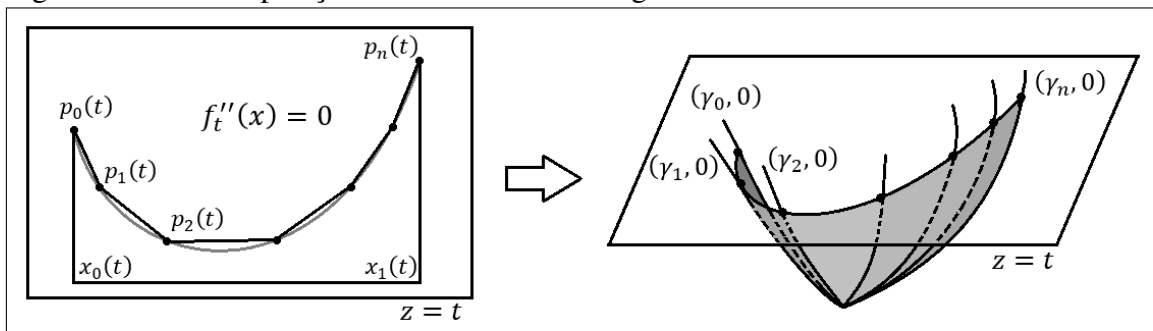
Fonte: elaborado pelo autor.

*Caso 2:* se  $2 \tan(b - a) \geq \delta$ , então considere  $n \in \mathbb{N}$  tal que  $2 \tan(\frac{b-a}{n}) < \delta$ , e para cada  $0 < t < \varepsilon$ ,  $i = 0, 1, \dots, n$  seja  $p_i(t) \in [x_0(t), x_1(t)]$  o único número real que:

$$\rho_t(p_i(t)) = \frac{1}{n} ((n - i) \cdot \rho_t(x_0(t)) + i \cdot \rho_t(x_1(t)))$$

A unicidade é garantida pela convexidade das funções  $f_t$  e por que  $\rho_t(x_0(t)) < \rho_t(x_1(t))$ , para  $t$  suficientemente pequeno. Se  $\gamma_i(t) = (p_i(t), f_t(p_i(t)), t)$ , então ao dividirmos  $(X, 0)$  em  $n$  germes de triângulos de Hölder  $(X_1, 0), \dots, (X_n, 0)$ , com  $(X_i, 0)$  sendo o germe delimitado por  $(\gamma_{i-1}, 0), (\gamma_i, 0)$  ( $i = 1, \dots, n$ ), podemos aplicar o mesmo argumento do Caso 1 para cada  $(X_i, 0)$ , finalizando a demonstração da proposição.  $\square$

Figura 13 – Decomposição  $\delta$ -convexa num triângulo sincronizado



Fonte: elaborado pelo autor.

## 5 ISOTOPIA BI-LIPSCHITZ AMBIENTE

### 5.1 Isotopia ambiente em retângulos curvilineares

A presente seção é devotada à definição do conceito de isotopia bi-Lipschitz ambiente e à demonstração do teorema de isotopia em retângulos curvilineares. Tal resultado é, em certa medida, uma extensão da equivalência  $\mathcal{C}$ -bi-Lipschitz entre germes de funções estudados em (BIRBRAIR *et al.*, 2007).

**Definição 5.1.1.** *Sejam  $X, X_0, X_1 \subseteq \mathbb{R}^n$  conjuntos tais que  $X_1, X_2 \subseteq X$ . Dizemos que  $X_1, X_2$  são **Bi-Lipschitz Ambiente Isotópicos em  $X$**  se existir uma aplicação contínua  $\varphi : X \times [0, 1] \rightarrow X$  tal que, se denotarmos  $\varphi_\tau(p) = \varphi(p, \tau)$ , então:*

1.  $\varphi_\tau : X \rightarrow X$  é uma aplicação bi-Lipschitz (com respeito à métrica induzida de  $\mathbb{R}^n$ ), para todo  $0 \leq \tau \leq 1$ .
2.  $\varphi_0 = id_X$ .
3.  $\varphi_1(X_1) = X_2$ .

*A aplicação  $\varphi$  é denominada **Isotopia Bi-Lipschitz ambiente em  $X$ , levando  $X_1$  em  $X_2$** . Dizemos ainda que a isotopia  $\varphi$  é **Invariante na Fronteira de  $X$**  se  $\varphi_\tau|_{\partial X} = id_{\partial X}$ , para todo  $0 \leq \tau \leq 1$ .*

De modo análogo, podemos definir isotopia bi-Lipschitz ambiente para germes da maneira seguinte:

**Definição 5.1.2.** *Sejam  $(X, 0), (X_0, 0), (X_1, 0) \subseteq (\mathbb{R}^n, 0)$  germes de conjuntos tais que  $X_1, X_2 \subseteq X$ . Dizemos que  $(X_1, 0), (X_2, 0)$  são **Bi-Lipschitz Ambiente Isotópicos em  $(X, 0)$**  se existir uma aplicação contínua  $\varphi : (X, 0) \times [0, 1] \rightarrow (X, 0)$  tal que, se denotarmos  $\varphi_\tau(p) = \varphi(p, \tau)$ , então:*

1.  $\varphi_\tau : (X, 0) \rightarrow (X, 0)$  é uma aplicação bi-Lipschitz (com respeito à métrica induzida de  $\mathbb{R}^n$ ), para todo  $0 \leq \tau \leq 1$ .
2.  $\varphi_0 = id_{(X, 0)}$ .
3.  $\varphi_1((X_1, 0)) = (X_2, 0)$

*A aplicação  $\varphi$  é denominada **Isotopia Bi-Lipschitz ambiente em  $(X, 0)$ , levando  $(X_1, 0)$  em  $(X_2, 0)$** . Dizemos ainda que a isotopia  $\varphi$  é **Invariante na Fronteira de  $(X, 0)$**  se  $\varphi_\tau|_{(\partial X, 0)} = id_{(\partial X, 0)}$ , para todo  $0 \leq \tau \leq 1$ .*

**Teorema 5.1.3** (Isotopia bi-Lipschitz Ambiente em Retângulos Curvilineares). *Sejam:*

$$(T_1, 0), (T_2, 0), (W_1, 0), (W_2, 0) \subset (C_a^3, 0)$$

*germes de triângulos sincronizados, dois a dois alinhados nos arcos de fronteira. Suponha que para todo  $t > 0$  suficientemente pequeno, existe  $M > 1$  tal que:*

- $(T_1, 0), (T_2, 0), (W_1, 0), (W_2, 0)$  possuem derivada  $M$ -limitada e que  $\{f_t\}, \{g_t\}, \{a_t\}, \{b_t\}$  são suas respectivas famílias de funções geradoras;
- $(T_1, 0)$  possui  $(\gamma_0, 0), (\gamma_1, 0)$  como arcos de fronteira, onde:

$$\gamma_0 = \gamma_0(t) = (x_0(t), y_0(t), t); \quad \gamma_1 = \gamma_1(t) = (x_1(t), y_1(t), t)$$

$$\text{e } x_0(t) < x_1(t);$$

- para todo  $x \in (x_0(t), x_1(t))$ , as inequações sejam satisfeitas:

$$g_t(x) < a_t(x), b_t(x) < f_t(x)$$

$$\frac{1}{M} \leq \frac{a_t(x) - g_t(x)}{f_t(x) - g_t(x)}, \frac{b_t(x) - g_t(x)}{f_t(x) - g_t(x)} \leq 1 - \frac{1}{M}$$

*Se  $(R, 0)$  é o retângulo curvilinear delimitado por  $(T_1, 0), (T_2, 0)$ , então existe uma aplicação contínua  $\varphi : (R, 0) \times [0, 1] \rightarrow (R, 0)$  tal que, se denotarmos  $\varphi_\tau(p) = \varphi(p, \tau)$ , então:*

1.  $\varphi_\tau : (R, 0) \rightarrow (R, 0)$  é uma aplicação bi-Lipschitz exterior, para todo  $0 \leq \tau \leq 1$ .
2.  $\varphi_0 = id_{(R,0)}$  e  $\varphi_\tau|_{(T_1,0) \cup (T_2,0)} = id_{(T_1 \cup T_2, 0)}$ , para todo  $0 \leq \tau \leq 1$ .
3. Para todo  $t > 0$  pequeno e  $x \in [x_0(t), x_1(t)]$ :

$$\varphi_1(x, f_t(x), t) = (x, f_t(x), t)$$

$$\varphi_1(x, g_t(x), t) = (x, g_t(x), t)$$

$$\varphi_1(x, a_t(x), t) = (x, b_t(x), t)$$

*Em particular,  $\varphi$  é uma isotopia em  $(R, 0)$  levando  $(W_1, 0)$  em  $(W_2, 0)$ . Ademais, se  $(T_1, 0)$  e  $(T_2, 0)$  possuem os mesmos arcos de fronteira,  $\varphi$  é invariante na fronteira da região  $(R, 0)$  delimitada por  $(T_1, 0)$  e  $(T_2, 0)$ .*

*Demonstração.* Consideremos primeiramente o caso em que  $(T_1, 0), (T_2, 0), (W_1, 0), (W_2, 0)$  são  $C^1$ . Pela Proposição 4.2.1 podemos tomar  $N > 1$  suficientemente grande tal que, para todo  $t > 0$

suficientemente pequeno e  $x_0(t) < x < x_1(t)$ :

$$\left| \frac{\partial x_0}{\partial t}(t) \right|, \left| \frac{\partial x_1}{\partial t}(t) \right|, \left| \frac{\partial}{\partial t}(f_t)(x) \right|, \left| \frac{\partial}{\partial t}(g_t)(x) \right|, \left| \frac{\partial}{\partial t}(a_t)(x) \right|, \left| \frac{\partial}{\partial t}(b_t)(x) \right| < N$$

Considerando  $\{\gamma_{u,v}\}_{(u,v) \in [0,1]^2}$  a cobertura por arcos de  $(R, 0)$ , podemos escrever, para todo  $t > 0$  pequeno e todo  $x \in (x_0(t), x_1(t))$ ,  $x = \theta_u(t)$  ( $u \in (0, 1)$ ):

$$(x, g_t(x), t) = (\theta_u(t), \sigma_{u,0}(t), t) = \gamma_{u,0}(t)$$

$$(x, f_t(x), t) = (\theta_u(t), \sigma_{u,1}(t), t) = \gamma_{u,1}(t)$$

$$(x, a_t(x), t) = (\theta_u(t), \sigma_{u,\alpha_t(u)}(t), t) = \gamma_{u,\alpha_t(u)}(t)$$

$$(x, b_t(x), t) = (\theta_u(t), \sigma_{u,\beta_t(u)}(t), t) = \gamma_{u,\beta_t(u)}(t)$$

Onde, para cada  $t > 0$ , consideramos as funções  $\alpha_t, \beta_t : [0, 1] \rightarrow [0, 1]$  como:

$$\alpha_t(u) = \frac{a_t(\theta_u(t)) - g_t(\theta_u(t))}{f_t(\theta_u(t)) - g_t(\theta_u(t))}; \beta_t(u) = \frac{b_t(\theta_u(t)) - g_t(\theta_u(t))}{f_t(\theta_u(t)) - g_t(\theta_u(t))}, \forall u \in [0, 1]$$

$$\alpha_t(0) = \lim_{u \rightarrow 0^+} (\alpha_t(u)); \alpha_t(1) = \lim_{u \rightarrow 1^-} (\alpha_t(u)); \beta_t(0) = \lim_{u \rightarrow 0^+} (\beta_t(u)); \beta_t(1) = \lim_{u \rightarrow 1^-} (\beta_t(u))$$

Perceba que, pelos dados da proposição, temos  $\frac{1}{M} \leq \alpha_t(u), \beta_t(u) \leq 1 - \frac{1}{M}$ . Além disso:

$$\sigma_{u,\alpha_t(u)}(t) = g_t(\theta_u(t)) + \alpha_t(u) \cdot (f_t(\theta_u(t)) - g_t(\theta_u(t))) =$$

$$= g_t(\theta_u(t)) + (a_t(\theta_u(t)) - g_t(\theta_u(t))) = a_t(\theta_u(t))$$

$$\sigma_{u,\beta_t(u)}(t) = g_t(\theta_u(t)) + \beta_t(u) \cdot (f_t(\theta_u(t)) - g_t(\theta_u(t))) =$$

$$= g_t(\theta_u(t)) + (b_t(\theta_u(t)) - g_t(\theta_u(t))) = b_t(\theta_u(t))$$

O que mostra que  $\alpha_t, \beta_t$  estão bem definidas para cada  $u \in (0, 1)$ . Ademais, como  $g_t, f_t, a_t, b_t$  são de classe  $C^1$ ,  $\alpha_t, \beta_t$  também o são, e isso também implica que  $\alpha_t, \beta_t$  também estão definidas em  $\{0, 1\}$ . Agora, para cada  $t > 0$  pequeno,  $(u, \tau) \in [0, 1]^2$ , defina:

$$\beta_t^\tau(u) = (1 - \tau) \cdot \alpha_t(u) + \tau \cdot \beta_t(u)$$



e  $\psi_{u,t}^\tau : [0, 1] \rightarrow [0, 1]$  como:

$$\psi_{u,t}^\tau(v) = \begin{cases} \left( \frac{\beta_t^\tau(u)}{\alpha_t(u)} \right) v, & 0 \leq v \leq \alpha_t(u) \\ 1 - \left( \frac{1 - \beta_t^\tau(u)}{1 - \alpha_t(u)} \right) (1 - v), & \alpha_t(u) \leq v \leq 1 \end{cases}$$

Note que  $\psi_{u,t}^\tau(v)$  está bem definida, pois  $\psi_{u,t}^\tau(\alpha_t(u)) = \beta_t^\tau(u)$  em ambas as regras,  $\psi_{u,t}^\tau(0) = 0$ ,  $\psi_{u,t}^\tau(1) = 1$  e  $\psi_{u,t}^\tau$  é linear por partes, logo contínua. Note ainda que, das desigualdades  $\frac{1}{M} \leq \alpha_t(u) \leq 1 - \frac{1}{M}$ , os denominadores envolvidos nas expressões são todos positivos. Veja também que  $\psi_{u,t}^0 = id_{[0,1]}$  e  $(\psi_{u,t}^\tau)^{-1} : [0, 1] \rightarrow [0, 1]$  é dada por:

$$(\psi_{u,t}^\tau)^{-1}(v) = \begin{cases} \left( \frac{\alpha_t(u)}{\beta_t^\tau(u)} \right) v, & 0 \leq v \leq \beta_t^\tau(u) \\ 1 - \left( \frac{1 - \alpha_t(u)}{1 - \beta_t^\tau(u)} \right) (1 - v), & \beta_t^\tau(u) \leq v \leq 1 \end{cases}$$

Note também que  $(\psi_{u,t}^\tau)^{-1}(v)$  está bem definida, pois  $(\psi_{u,t}^\tau)^{-1}(\beta_t^\tau(u)) = \alpha_t(u)$  em ambas as regras,  $(\psi_{u,t}^\tau)^{-1}(0) = 0$ ,  $(\psi_{u,t}^\tau)^{-1}(1) = 1$  e  $(\psi_{u,t}^\tau)^{-1}$  é linear por partes, logo contínua. Note ainda que  $\frac{1}{M} \leq \alpha_t(u), \beta_t(u) \leq 1 - \frac{1}{M} \Rightarrow \frac{1}{M} \leq \beta_t^\tau(u) \leq 1 - \frac{1}{M}$ , donde os denominadores envolvidos nas expressões são todos positivos.

Agora, considere os conjuntos em  $R$ :

$$R_1 = \{(\theta_u(t), \sigma_{u,v}(t), t) \mid t > 0; 0 < u < 1; 0 < v < \alpha_t(u)\} \subset R$$

$$R'_1 = \{(\theta_u(t), \sigma_{u,v}(t), t) \mid t > 0; 0 < u < 1; 0 < v < \beta_t(u)\} \subset R$$

$$R_2 = \{(\theta_u(t), \sigma_{u,v}(t), t) \mid t > 0; 0 < u < 1; \alpha_t(u) < v < 1\} \subset R$$

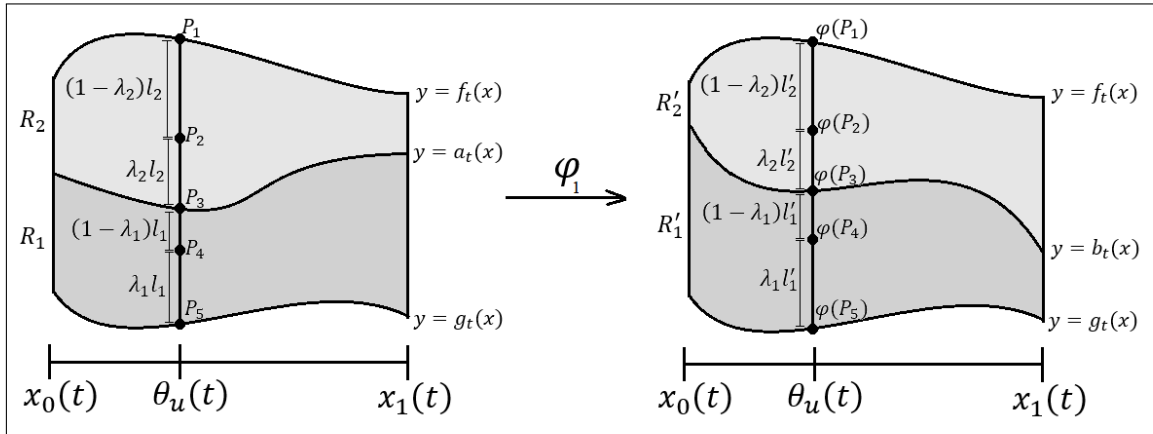
$$R'_2 = \{(\theta_u(t), \sigma_{u,v}(t), t) \mid t > 0; 0 < u < 1; \beta_t(u) < v < 1\} \subset R$$

Note que  $(R_1, 0)$ ,  $(R_2, 0)$ ,  $(R'_1, 0)$ ,  $(R'_2, 0)$  são subconjuntos abertos de  $(R, 0)$  (com a topologia induzida de  $\mathbb{R}^3$ ) e que  $(\overline{R_1} \cup \overline{R_2}, 0)$ ,  $(\overline{R'_1} \cup \overline{R'_2}, 0) = (R, 0)$ . Finalmente, defina a família de aplicações  $\varphi_\tau : (R, 0) \rightarrow (R, 0)$ ,  $0 \leq \tau \leq 1$ , como:

$$\varphi_\tau(\gamma_{u,v}(t)) = \gamma_{u, \psi_{u,t}^\tau(v)}(t) ; (u, v) \in [0, 1]^2$$

Uma verificação direta mostra que:

$$\varphi_0 = id_{(R,0)}, \varphi_\tau(\gamma_{u,0}(t)) = \gamma_{u,0}(t), \varphi_\tau(\gamma_{u,1}(t)) = \gamma_{u,1}(t)$$

Figura 14 – Descrição geométrica da aplicação  $\varphi_1$ 

Fonte: elaborado pelo autor.

$$\varphi_1((R_1, 0)) = (R'_1, 0) ; \varphi_1((R_2, 0)) = (R'_2, 0)$$

Também,  $\varphi_\tau$  possui inversa  $(\varphi_\tau)^{-1} : (R, 0) \rightarrow (R, 0)$ , dada por:

$$(\varphi_\tau)^{-1}(\gamma_{u,v}(t)) = \gamma_{u,(\psi_{u,t}^\tau)^{-1}(v)}(t)$$

Veja que, como  $\psi_{u,t}^\tau, (\psi_{u,t}^\tau)^{-1}$  são contínuas,  $\varphi_\tau$  é um homeomorfismo. Se provarmos que  $\varphi_\tau|_{(R_1,0)}, \varphi_\tau|_{(R_2,0)}$  cumprem as condições da Proposição 2.2.12, então a demonstração estará encerrada, uma vez que, se tais aplicações são bi-Lipschitz intrínsecas, então como  $\varphi_\tau|_{\overline{(R_1,0)}}$  e  $\varphi_\tau|_{\overline{(R_2,0)}}$  são contínuas, pela Proposição 2.2.3,  $\varphi_\tau|_{\overline{(R_1,0)}}$  e  $\varphi_\tau|_{\overline{(R_2,0)}}$  são bi-Lipschitz intrínsecas. Também, de:

$$\emptyset \neq (\overline{R_1} \cap \overline{R_2}, 0) = \{(\theta_u(t), \sigma_{u,\alpha_t(u)}(t), t) ; t > 0 ; 0 \leq u \leq 1\} \subset (R, 0)$$

$$(\overline{R_1} \cup \overline{R_2}, 0) = (R, 0)$$

E do fato de que  $\overline{R_1}, \overline{R_2}$  serem conjuntos semialgêbricos conexos, temos que, pela Proposição 2.2.10,  $\varphi_\tau$  será aplicação bi-Lipschitz intrínseca, o que implica que ela também é bi-Lipschitz exterior, visto que  $(R, 0)$  é normalmente mergulhado, pela Proposição 4.2.3.

Estudaremos o jacobiano  $J_{\varphi_\tau}(p)$  para todo  $p \in (R_1, 0)$  (o caso  $p \in (R_2, 0)$  é análogo). Perceba que se  $p = \gamma_{u,v}(t) = (x, y, t)$ , então  $\varphi_\tau(p) = (x, h, t)$ , onde:

$$x = \theta_u(t) = u \cdot x_0(t) + (1 - u) \cdot x_1(t)$$

$$y = v \cdot f_t(x) + (1 - v) \cdot g_t(x)$$

$$h = f_t(x) + \left( \frac{\beta_t^\tau(u)}{\alpha_t(u)} \right) (y - f_t(x))$$

Pois:

$$\begin{aligned}
 h = \sigma_{u, \left(\frac{\beta_t^\tau(u)}{\alpha_t(u)}\right)_v}(t) &= \left(\frac{\beta_t^\tau(u)}{\alpha_t(u)} \cdot v\right) g_t(\theta_u(t)) + \left(1 - \frac{\beta_t^\tau(u)}{\alpha_t(u)} \cdot v\right) f_t(\theta_u(t)) = \\
 &= f_t(\theta_u(t)) + \left(\frac{\beta_t^\tau(u)}{\alpha_t(u)}\right) (g_t(\theta_u^\tau(t)) - f_t(\theta_u^\tau(t))) \cdot v = \\
 &= f_t(x) + \left(\frac{\beta_t^\tau(u)}{\alpha_t(u)}\right) (g_t(x) - f_t(x)) \left(\frac{y - f_t(x)}{g_t(x) - f_t(x)}\right) = f_t(x) + \left(\frac{\beta_t^\tau(u)}{\alpha_t(u)}\right) (y - f_t(x))
 \end{aligned}$$

Calculando a matriz jacobiana, vem:

$$J_{\varphi_\tau}(x, y, t) = \begin{pmatrix} \frac{\partial x}{\partial x} & \frac{\partial x}{\partial y} & \frac{\partial x}{\partial t} \\ \frac{\partial h}{\partial x} & \frac{\partial h}{\partial y} & \frac{\partial h}{\partial t} \\ \frac{\partial t}{\partial x} & \frac{\partial t}{\partial y} & \frac{\partial t}{\partial t} \end{pmatrix} (x, y, t) = \begin{pmatrix} 1 & 0 & \frac{\partial x}{\partial t} \\ \frac{\partial h}{\partial x} & \frac{\partial h}{\partial y} & \frac{\partial h}{\partial t} \\ 0 & 0 & 1 \end{pmatrix} (x, y, t)$$

Provemos que existe  $T > 0$  tal que  $\|J_{\varphi_\tau}(x, y, t)\| < T$ , uma vez que  $\|J_{\varphi_\tau}(x, y, t)\| \geq 1$ .

Façamos o estudo de cada uma das derivadas parciais.

Desenvolvendo  $\frac{\partial x}{\partial t}$  e lembrando que  $\left|\frac{\partial x_0}{\partial t}(t)\right|, \left|\frac{\partial x_1}{\partial t}(t)\right| < N$ , temos:

$$\begin{aligned}
 \frac{\partial x}{\partial t} &= \frac{\partial}{\partial t}(u \cdot x_0(t) + (1 - u) \cdot x_1(t)) = u \cdot \frac{\partial x_0}{\partial t}(t) + (1 - u) \frac{\partial x_1}{\partial t}(t) \Rightarrow \\
 \Rightarrow \left|\frac{\partial x}{\partial t}\right| &\leq u \left|\frac{\partial x_0}{\partial t}(t)\right| + (1 - u) \left|\frac{\partial x_1}{\partial t}(t)\right| \leq u \cdot N + (1 - u) \cdot N = N
 \end{aligned}$$

Desenvolvendo  $\frac{\partial h}{\partial x}$  e denotando  $u'(x) = \frac{\partial u}{\partial x}(x)$  a derivada em  $x$ , temos:

$$\begin{aligned}
 \frac{\partial h}{\partial x} &= \frac{\partial}{\partial x} \left( f_t(x) + \left(\frac{\beta_t^\tau(u)}{\alpha_t(u)}\right) (y - f_t(x)) \right) = \\
 &= \frac{\partial}{\partial x} \left( (1 - \tau) \cdot y + \tau \left( f_t(x) + \left(\frac{b_t(x) - g_t(x)}{a_t(x) - g_t(x)}\right) (y - f_t(x)) \right) \right) = \\
 &= \tau \cdot \left[ f_t'(x) - \left(\frac{b_t(x) - g_t(x)}{a_t(x) - g_t(x)}\right) f_t'(x) + \right. \\
 &\left. + \left( (b_t'(x) - g_t'(x)) \left(\frac{y - f_t(x)}{a_t(x) - g_t(x)}\right) - \left(\frac{b_t(x) - g_t(x)}{a_t(x) - g_t(x)}\right) \left(\frac{y - f_t(x)}{a_t(x) - g_t(x)}\right) (a_t'(x) - g_t'(x)) \right) \right]
 \end{aligned}$$

Como  $y \geq g_t(x)$ , temos:

$$\left| \frac{y - f_t(x)}{a_t(x) - g_t(x)} \right| \leq \left| \frac{f_t(x) - g_t(x)}{a_t(x) - g_t(x)} \right| < M$$

E como  $b_t(x) \leq f_t(x)$ ,  $\frac{1}{M}(f_t(x) - g_t(x)) \leq a_t(x) - g_t(x)$ , vem:

$$\left| \frac{b_t(x) - g_t(x)}{a_t(x) - g_t(x)} \right| \leq \left| \frac{f_t(x) - g_t(x)}{a_t(x) - g_t(x)} \right| \leq \left| \frac{f_t(x) - g_t(x)}{\frac{1}{M}(f_t(x) - g_t(x))} \right| = M$$

Finalmente, de  $|f'_t(x)|, |g'_t(x)|, |a'_t(x)|, |b'_t(x)| < M$ , segue, pela desigualdade triangular, que:

$$\frac{\partial h}{\partial x} < 1 \cdot [M + M \cdot M + ((M + M) \cdot M + M \cdot M \cdot (M + M))] = T_2$$

Desenvolvendo  $\frac{\partial h}{\partial y}$ , temos:

$$\begin{aligned} \frac{\partial h}{\partial y} &= \frac{\partial}{\partial y} \left( f_t(x) + \left( \frac{\beta_t^\tau(u)}{\alpha_t(u)} \right) (y - f_t(x)) \right) = \\ &= (1 - \tau) + \tau \cdot \left( \frac{\beta_t(u)}{\alpha_t(u)} \right) = (1 - \tau) + \tau \cdot \left( \frac{b_t(x) - g_t(x)}{a_t(x) - g_t(x)} \right) \end{aligned}$$

E assim  $\frac{1}{M} < \left| \frac{\partial h}{\partial y} \right| < M$ , pois:

$$\begin{aligned} \frac{|b_t(x) - g_t(x)|}{|a_t(x) - g_t(x)|} &> \frac{|b_t(x) - g_t(x)|}{|f_t(x) - g_t(x)|} \geq \frac{\frac{1}{M}|f_t(x) - g_t(x)|}{|f_t(x) - g_t(x)|} = \frac{1}{M} \\ \frac{|b_t(x) - g_t(x)|}{|a_t(x) - g_t(x)|} &< \frac{|f_t(x) - g_t(x)|}{|a_t(x) - g_t(x)|} \leq \frac{|f_t(x) - g_t(x)|}{\frac{1}{M}|f_t(x) - g_t(x)|} = M \end{aligned}$$

Desenvolvendo  $\frac{\partial h}{\partial t}$  e denotando  $\dot{u}(x) = \frac{\partial u}{\partial t}(x)$  a derivada em  $t$ , temos:

$$\begin{aligned} \frac{\partial h}{\partial t} &= \frac{\partial}{\partial t} \left( f_t(x) + \left( \frac{\beta_t^\tau(u)}{\alpha_t(u)} \right) (y - f_t(x)) \right) = \\ &= \frac{\partial}{\partial t} \left( (1 - \tau) \cdot y + \tau \cdot \left( f_t(x) + \left( \frac{b_t(x) - g_t(x)}{a_t(x) - g_t(x)} \right) (y - f_t(x)) \right) \right) = \\ &= \tau \cdot \left[ \dot{f}_t(x) - \left( \frac{b_t(x) - g_t(x)}{a_t(x) - g_t(x)} \right) \dot{f}_t(x) + \right. \\ &\quad \left. + \left( (\dot{b}_t(x) - \dot{g}_t(x)) \left( \frac{y - f_t(x)}{a_t(x) - g_t(x)} \right) - \left( \frac{b_t(x) - g_t(x)}{a_t(x) - g_t(x)} \right) \left( \frac{y - f_t(x)}{a_t(x) - g_t(x)} \right) (\dot{a}_t(x) - \dot{g}_t(x)) \right) \right] \end{aligned}$$

Já vimos, no desenvolvimento de  $\frac{\partial h}{\partial x}$  que:

$$\left| \frac{y - f_t(x)}{a_t(x) - g_t(x)} \right|, \left| \frac{b_t(x) - g_t(x)}{a_t(x) - g_t(x)} \right| < M$$

E como  $|\dot{f}_t(x)|, |\dot{g}_t(x)|, |\dot{a}_t(x)|, |\dot{b}_t(x)| < N$ , segue, pela desigualdade triangular, que:

$$\frac{\partial h}{\partial t} < 1 \cdot [N + M \cdot N + ((N + N) \cdot M + M \cdot M \cdot (N + N))] = T_3$$

Portanto, para todo  $p \in R_1$ :

$$1 \leq \|J_{\varphi_\tau}(p)\| < 1 + 0 + N + T_2 + M + T_3 + 0 + 0 + 1 = T$$

$$\frac{1}{M} < \left| \frac{\partial h}{\partial y} \right| = |\det(J_{\varphi_\tau}(p))| < M$$

Finalizando a prova deste caso.

Para a demonstração no caso geral em que  $(T_1, 0), (T_2, 0), (W_1, 0), (W_2, 0)$  não necessariamente são  $C^1$ , note que, pela Observação 4.1.2, se denotarmos:

$$\text{sing}(T_1 \cup T_2 \cup W_1 \cup W_2, 0) = \bigcup_{i=1}^n (\gamma_i, 0)$$

com  $\gamma_i(t) = (r_i(t), s_i(t), t)$ , para  $i = 1, \dots, n$ , e supondo  $r_1(t) < \dots < r_n(t)$ , para todo  $t > 0$  pequeno, ao considerarmos os seguintes conjuntos e germes, para  $i = 1, \dots, n-1$ :

$$D_i = \{(x, y, t) \in C_a^3 \mid t > 0; r_i(t) \leq x \leq r_{i+1}(t)\}$$

$$(T_1^{(i)}, 0) = (T_1, 0) \cap (D_i, 0); (T_2^{(i)}, 0) = (T_2, 0) \cap (D_i, 0)$$

$$(W_1^{(i)}, 0) = (W_1, 0) \cap (D_i, 0); (W_2^{(i)}, 0) = (W_2, 0) \cap (D_i, 0)$$

temos que cada  $(T_1^{(i)}, 0), (T_2^{(i)}, 0), (W_1^{(i)}, 0), (W_2^{(i)}, 0)$  é germe de triângulo sincronizado, de classe  $C^1$  e derivada  $M$ -limitada. Portanto, se  $(R_i, 0) = (R \cap D_i, 0)$  é o retângulo curvilíneo delimitado por  $(T_1^{(i)}, 0)$  e  $(T_2^{(i)}, 0)$ , pelo que foi demonstrado, para cada  $0 \leq \tau \leq 1$  existe uma aplicação bi-Lipschitz intrínseca  $(\varphi_i)_\tau : (R_i, 0) \rightarrow (R_i, 0)$  satisfazendo as condições do enunciado. Ademais, note que, pela forma como  $(\varphi_i)_\tau$  foi definida para cada  $i$ :

$$(\varphi_i)_\tau(r_{i+1}(t), y, t) = (\varphi_{i+1})_\tau(r_{i+1}(t), y, t); \forall (r_{i+1}(t), y, t) \in (R_i \cap R_{i+1}, 0)$$

Como  $R_i$  é conexo por caminhos, aplicando a Proposição 2.2.10 de modo sucessivo para os conjuntos  $R_1 \cup R_2; R_1 \cup R_2 \cup R_3; etc$ , podemos definir  $\varphi_\tau : R \rightarrow R$  cumprindo todas as condições desejadas.  $\square$

**Observação 5.1.4.** Se  $(T_1, 0)$  e  $(T_2, 0)$  possuem os mesmos arcos de fronteira,  $\varphi$  é uma isotopia bi-Lipschitz ambiente levando  $(W_1, 0)$  e  $(W_2, 0)$ , invariante na fronteira da região  $(R, 0)$  delimitada por  $(T_1, 0)$  e  $(T_2, 0)$ . Pela Proposição 2.2.9,  $\varphi$  pode ser estendida a uma isotopia bi-Lipschitz ambiente  $\Phi : (C_a^3, 0) \times [0, 1] \rightarrow (C_a^3, 0)$  levando  $(W_1, 0)$  e  $(W_2, 0)$ , invariante na fronteira de  $(C_a^3, 0)$ . Em particular, a aplicação  $\Phi_1$  mostra que  $W_1, W_2$  são bi-Lipschitz ambiente equivalentes em  $(C_a^3, 0)$ .

## 5.2 Triângulos lineares delimitados por arcos

Nesta seção, introduziremos a ideia de triângulos lineares delimitados por arcos, e outros conceitos derivados deste. Como aplicação do Teorema 5.1.3, demonstraremos também que tais triângulos são bi-Lipschitz ambiente equivalentes ao mergulho normal de algum triângulo de Hölder.

**Definição 5.2.1.** Sejam  $a > 0$ ,  $\gamma_1, \gamma_2 \subset C_a^3$  dois arcos satisfazendo  $\text{tord}(\gamma_1, \gamma_2) \neq \infty$ , com  $\gamma_i(t) = (x_i(t), y_i(t), t)$  ( $i = 1, 2$ ), para cada  $t > 0$  suficientemente pequeno. Definimos o **Triângulo Linear Delimitado por**  $\gamma_1, \gamma_2$  como sendo o germe na origem do conjunto:

$$\overline{\gamma_1 \gamma_2} = \{(\lambda x_1(t) + (1 - \lambda)x_2(t), \lambda y_1(t) + (1 - \lambda)y_2(t), t) \mid t > 0; 0 \leq \lambda \leq 1\}$$

Observe que  $\overline{\gamma_1 \gamma_2} = \overline{\gamma_2 \gamma_1}$ .

Para cada  $t > 0$ , defina também o vetor unitário:

$$\overrightarrow{\gamma_1 \gamma_2}(t) = \frac{\gamma_2(t) - \gamma_1(t)}{\|\gamma_2(t) - \gamma_1(t)\|}$$

Como  $\gamma_1, \gamma_2$  são semialgêbricos, o limite  $\lim_{t \rightarrow 0^+} \frac{\gamma_2(t) - \gamma_1(t)}{\|\gamma_2(t) - \gamma_1(t)\|}$  existe e tal limite será denominado  $\overrightarrow{\gamma_1 \gamma_2}$ . Note que  $\overrightarrow{\gamma_1 \gamma_2} = -\overrightarrow{\gamma_2 \gamma_1}$  e  $\overrightarrow{\gamma_1 \gamma_2}(t) = -\overrightarrow{\gamma_2 \gamma_1}(t)$ , para todo  $t > 0$ .

Dados três arcos  $\gamma_1, \gamma_2 \subset C_a^3$  satisfazendo  $\text{tord}(\gamma_i, \gamma_j) \neq \infty$ , para  $i \neq j$ , definimos, para cada  $t > 0$ , o ângulo  $\angle \gamma_1 \gamma_2 \gamma_3(t)$  como sendo o ângulo formado por  $\overrightarrow{\gamma_2 \gamma_1}(t)$  e  $\overrightarrow{\gamma_2 \gamma_3}(t)$ . De modo similar, definimos o ângulo  $\angle \gamma_1 \gamma_2 \gamma_3$  como sendo o ângulo formado por  $\overrightarrow{\gamma_2 \gamma_1}$  e  $\overrightarrow{\gamma_2 \gamma_3}$ .

**Observação 5.2.2.** Se  $(\overline{\gamma_1 \gamma_2} \cup \overline{\gamma_2 \gamma_3}, 0)$  é germe de superfície normalmente mergulhado, então  $\angle \gamma_1 \gamma_2 \gamma_3 > 0$  (tal afirmação segue diretamente do Teorema 2.2.22 e do Lema 2.2.19). Com isso, dado  $\varepsilon > 0$ , podemos assumir que para todo  $t > 0$  suficientemente pequeno:

$$\angle \gamma_1 \gamma_2 \gamma_3(t) \in (\angle \gamma_1 \gamma_2 \gamma_3 - \varepsilon, \angle \gamma_1 \gamma_2 \gamma_3 + \varepsilon)$$

**Proposição 5.2.3.** *Sejam  $a > 0$ ,  $\gamma_1, \gamma_2 \subset C_a^3$  dois arcos tais que  $\text{tord}(\gamma_1, \gamma_2) = \alpha \neq \infty$ . Então  $(\overline{\gamma_1 \gamma_2}, 0)$  é bi-Lipschitz ambiente equivalente ao  $\alpha$ -triângulo de Hölder padrão mergulhado em  $\mathbb{R}^3$ .*

*Demonstração.* Seja  $\psi$  a aplicação da Proposição 3.1.2. Se  $T$  denota o  $\alpha$ -triângulo de Hölder padrão mergulhado em  $\mathbb{R}^3$ , então o germe de  $\psi(T)$  é  $(Y, 0)$ , onde:

$$Y = \{(x, 0, t) \in C_a^3 \mid 0 \leq x \leq h(t)\}$$

para alguma função real  $h$  cuja série de Puiseux é  $h(t) = d_\alpha t^\alpha + o(t^\alpha)$ ;  $d_\alpha > 0$ . Nosso objetivo é demonstrar que  $(X, 0)$  é bi-Lipschitz ambiente equivalente a  $(Y, 0)$  em  $(C_a^3, 0)$ , uma vez que se isso for feito, então pela Proposição 3.1.3 temos que a proposição estará demonstrada.

Inicialmente, note que pelo Lema 3.2.1, aplicado ao arco  $\gamma_2$ , podemos supor sem perda de generalidade que  $\gamma_2(t) = (0, 0, t)$  e  $\gamma_1(t) = \gamma(t) = (x(t), y(t), t)$ . Como existe o limite:

$$\lim_{t \rightarrow 0^+} \frac{(x(t), y(t))}{\sqrt{x(t)^2 + y(t)^2}}$$

podemos aplicar uma rotação de eixos e supor também que:

$$x(t) > 0; \lim_{t \rightarrow 0^+} \frac{y(t)}{x(t)} = 0$$

Considere agora os conjuntos:

$$T_1^{(1)} = \{(x, x + x(t), t) \in C_a^3 \mid -x(t) \leq x \leq 0\}$$

$$T_1^{(2)} = \{(x, x(t), t) \in C_a^3 \mid 0 \leq x \leq 2x(t)\}$$

$$T_1^{(3)} = \{(x, -x + 3x(t), t) \in C_a^3 \mid 2x(t) \leq x \leq 3x(t)\}$$

$$T_2^{(1)} = \{(x, -x - x(t), t) \in C_a^3 \mid -x(t) \leq x \leq 0\}$$

$$T_2^{(2)} = \{(x, -x(t), t) \in C_a^3 \mid 0 \leq x \leq 2x(t)\}$$

$$T_2^{(3)} = \{(x, x - 3x(t), t) \in C_a^3 \mid 2x(t) \leq x \leq 3x(t)\}$$

$$W_1^{(1)} = \{(x, 0, t) \in C_a^3 \mid -x(t) \leq x \leq 0\}$$

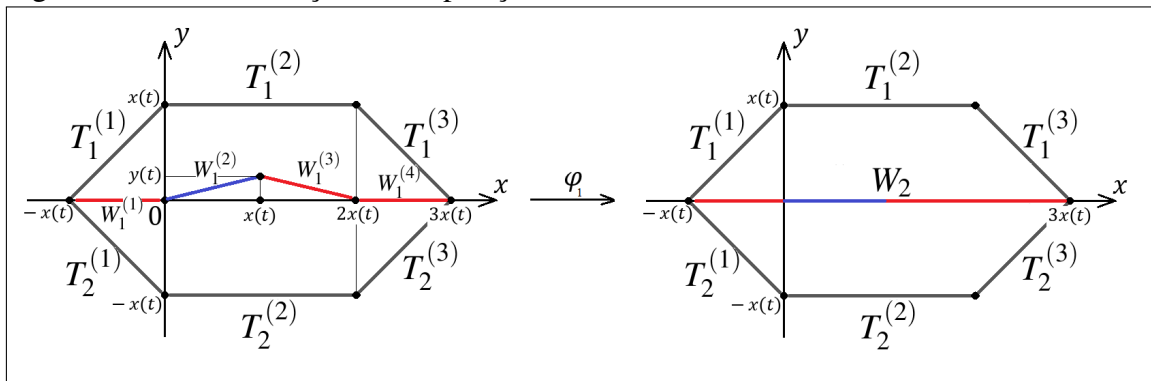
$$W_1^{(2)} = \left\{ (x, y, t) \in C_a^3 \mid 0 \leq x \leq x(t); y = \left( \frac{x}{x(t)} \right) y(t) \right\}$$

$$W_1^{(3)} = \left\{ (x, y, t) \in C_a^3 \mid x(t) \leq x \leq 2x(t) ; y = \left( \frac{2x(t) - x}{x(t)} \right) y(t) \right\}$$

$$W_1^4 = \{ (x, 0, t) \in C_a^3 \mid 2x(t) \leq x \leq 3x(t) \}$$

$$W_2 = \{ (x, 0, t) \in C_a^3 \mid -x(t) \leq x \leq 3x(t) \}$$

Figura 15 – Demonstração da Proposição 5.2.3



Fonte: elaborado pelo autor.

E defina:

$$T_1 = T_1^{(1)} \cup T_1^{(2)} \cup T_1^{(3)}$$

$$T_2 = T_2^{(1)} \cup T_2^{(2)} \cup T_2^{(3)}$$

$$W_1 = W_1^{(1)} \cup W_1^{(2)} \cup W_1^{(3)} \cup W_1^{(4)}$$

Para cada  $\varepsilon > 0$ , os germes de triângulos sincronizados  $(T_1, 0)$ ,  $(T_2, 0)$ ,  $(W_1, 0)$ ,  $(W_2, 0)$  satisfazem às condições do Teorema 5.1.3 para  $M = 2 + \varepsilon$ , visto que os limites:

$$\lim_{t \rightarrow 0^+} \frac{x(t) - 0}{x(t) - (-x(t))} ; \lim_{t \rightarrow 0^+} \frac{0 - (-x(t))}{x(t) - (-x(t))}$$

$$\lim_{t \rightarrow 0^+} \frac{x(t) - \frac{x}{x(t)} \cdot y(t)}{x(t) - (-x(t))} ; \lim_{t \rightarrow 0^+} \frac{\frac{x}{x(t)} \cdot y(t) - (-x(t))}{x(t) - (-x(t))}$$

$$\lim_{t \rightarrow 0^+} \frac{x(t) - \left( \frac{2x(t) - x}{x(t)} \right) \cdot y(t)}{x(t) - (-x(t))} ; \lim_{t \rightarrow 0^+} \frac{\left( \frac{2x(t) - x}{x(t)} \right) \cdot y(t) - (-x(t))}{x(t) - (-x(t))}$$

são iguais a  $\frac{1}{2}$ , e as respectivas funções associadas (que são funções afim) possuem variação 1-limitada. Daí, pela Observação 5.1.4, existe uma isotopia bi-Lipschitz ambiente



$\varphi : (C_a, 0) \times [0, 1] \rightarrow (C_a, 0)$  levando  $(W_1, 0)$  em  $(W_2, 0)$ . Em particular,  $(W_1^{(2)}, 0) = (\overline{\gamma_1 \gamma_2}, 0)$  é bi-Lipschitz ambiente equivalente ao germe do conjunto:

$$\{(x, 0, t) \in C_a^3 \mid 0 \leq x \leq x(t)\}$$

Finalmente, como  $tord(\gamma_1, \gamma_2) = \alpha \neq \infty$ , e tal valor é invariante Lipschitz, segue que a série de Puiseux de  $x(t)$  é  $x(t) = c_\alpha x^\alpha + o(t^\alpha)$ . Pelo Lema 3.2.3 aplicado à função  $f(t) = \frac{h(t)}{x(t)}$ , temos que  $(V_1, 0)$  é bi-Lipschitz ambiente equivalente a  $(Y, 0)$ , finalizando a demonstração.  $\square$

## 6 TRIÂNGULOS AMASSÁVEIS E APLICAÇÕES

### 6.1 Definições, exemplos e propriedades básicas

A seguir, veremos os conceitos de triângulos amassáveis, envoltórias de suporte e de amassamento. Veremos também exemplos aplicados de tais estruturas, e uma propriedade relacionando-os com triângulos sincronizados.

**Definição 6.1.1.** *Seja  $(T, 0) \subset (C_a^3, 0)$  um triângulo de Hölder com vértice principal na origem,  $\gamma_1, \gamma_2$  seus arcos de fronteira e seja  $(U, 0)$  um germe de conjunto fechado contendo  $(T, 0)$ . Dizemos que  $(T, 0)$  é **amassável em**  $(U, 0)$  se existe uma isotopia bi-Lipschitz ambiente em  $U$  que leva  $(T, 0)$  em  $(\overline{\gamma_1 \gamma_2}, 0)$ , invariante na fronteira de  $(U, 0)$ .*

**Definição 6.1.2.** *Sejam  $a, M, \delta > 0$  e seja  $(T, 0) \subset (C_a^3, 0)$  um germe de triângulo sincronizado com derivada  $M$ -limitada. Sejam  $\gamma_i(t) = (x_i(t), y_i(t), t)$ ,  $i = 0, 1$  os arcos de fronteira de  $(T, 0)$ , com  $x_0(t) < x_1(t)$ , e seja  $\{a_t\}$  a família de funções geradoras de  $(T, 0)$ . Defina, para cada  $t > 0$  pequeno e para  $i = 0, 1$ :*

$$m_{t,i} = \inf \left\{ \frac{a_t(x) - y_i(t)}{x - x_i(t)} ; x_0(t) < x < x_1(t) \right\}$$

$$M_{t,i} = \sup \left\{ \frac{a_t(x) - y_i(t)}{x - x_i(t)} ; x_0(t) < x < x_1(t) \right\}$$

Note que, como  $(T, 0)$  tem derivada  $M$ -limitada, então  $|m_{i,t}|, |M_{i,t}| \leq M$ . Definimos a  **$\delta$ -envoltória de suporte de**  $(T, 0)$  como sendo o germe, na origem, do seguinte conjunto semialgébrico:

$$U_\delta(T) = \{(x, y, t) \mid t > 0 ; x_0(t) \leq x \leq x_1(t); g_t(x) \leq y \leq f_t(x)\}$$

Onde:

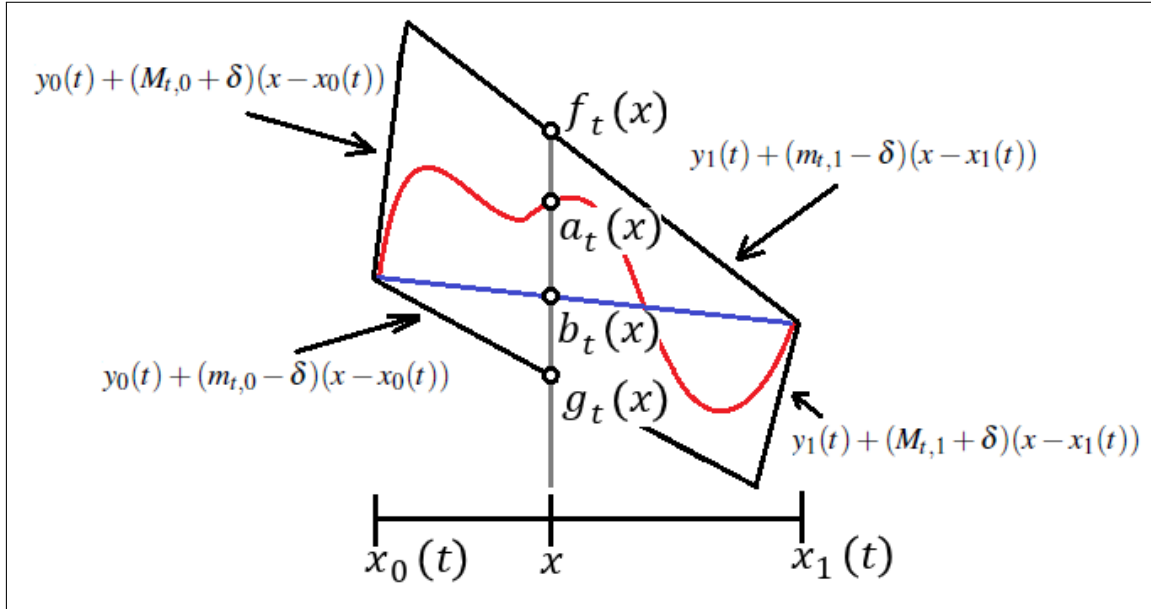
$$g_t(x) = \max\{y_0(t) + (m_{t,0} - \delta)(x - x_0(t)); y_1(t) + (M_{t,1} + \delta)(x - x_1(t))\}$$

$$f_t(x) = \min\{y_0(t) + (M_{t,0} + \delta)(x - x_0(t)); y_1(t) + (m_{t,1} - \delta)(x - x_1(t))\}$$

**Observação 6.1.3.**  $(U_\delta(T), 0)$  é a região delimitada pelos triângulos sincronizados  $(T_1, 0)$ ,  $(T_2, 0)$ , cujas famílias de funções geradoras são  $\{f_t\}$ ,  $\{g_t\}$ , respectivamente. Na demonstração da Proposição 6.1.6, será demonstrado que  $g_t(x) \leq a_t(x) \leq f_t(x)$ , para todo  $t > 0$  pequeno e

todo  $x \in [x_1(t), x_2(t)]$ , o que implica  $(U_\delta(T), 0)$  ser um germe de conjunto semialg\u00e9brico fechado contendo  $(T, 0)$ .

Figura 16 – Representa\u00e7\u00e3o geom\u00e9trica da  $\delta$ -envolt\u00f3ria de suporte de  $(T, 0)$



Fonte: elaborado pelo autor.

**Exemplo 6.1.4.** Considere o seguinte tri\u00e2ngulo sincronizado:

$$T = \{(x, -t - x, t) \in \mathbb{C}_2^3 \mid -t \leq x \leq 0\} \cup \{(x, x - t, t) \in \mathbb{C}_2^3 \mid 0 \leq x \leq t\}$$

Para cada  $0 < \delta < 1$ , temos que  $U_\delta(T) = U_1 \cup U_2$ , onde:

$$U_1 = \{(x, y, t) \in \mathbb{C}_2^3 \mid -t \leq x \leq 0; -(1 + \delta)(t + x) \leq y \leq \delta(t + x)\}$$

$$U_2 = \{(x, y, t) \in \mathbb{C}_2^3 \mid 0 \leq x \leq t; (1 + \delta)(x - t) \leq y \leq \delta(t - x)\}$$

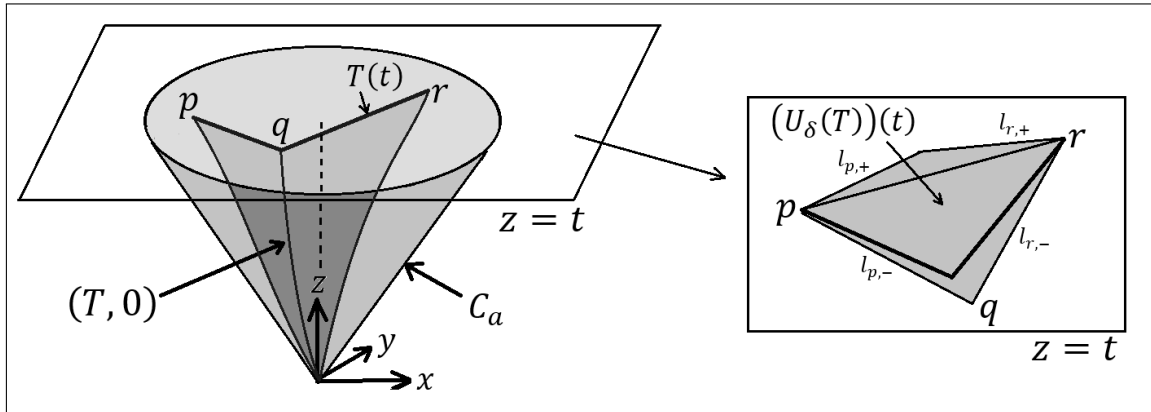
De modo geral, se  $(T, 0) \subset (\mathbb{C}_a^3, 0)$  \u00e9 tri\u00e2ngulo sincronizado, tal que seu link plano  $T(t)$  \u00e9 a uni\u00e3o de dois segmentos de reta  $\overline{pq}, \overline{qr}$ , com  $x_p < x_q < x_r$ , e se  $u = \frac{y_q - y_p}{x_q - x_p}$ ,  $v = \frac{y_r - y_p}{x_r - x_p}$ ,  $w = \frac{y_r - y_q}{x_r - x_q}$  s\u00e3o os coeficientes angulares de  $\overline{pq}, \overline{pr}, \overline{qr}$ , com  $u < v < w$ , ent\u00e3o  $(U_\delta(T))(t)$  \u00e9 a regi\u00e3o delimitada pelas retas partindo de  $p$ :

$$l_{p,-} = \{(x, y, t) \mid y = y_p + (u - \delta)(x - x_p)\}; l_{p,+} = \{(x, y, t) \mid y = y_p + (v + \delta)(x - x_p)\}$$

e pelas retas partindo de  $r$ :

$$l_{r,-} = \{(x, y, t) \mid y = y_r + (w - \delta)(x - x_r)\}; l_{r,+} = \{(x, y, t) \mid y = y_r + (v + \delta)(x - x_r)\}$$

Figura 17 – Representação gráfica do Exemplo 6.1.4



Fonte: elaborado pelo autor.

**Exemplo 6.1.5.** Considere o seguinte triângulo sincronizado:

$$T = \{(x, x^2, t) \in \mathbb{C}_2^3 \mid -t \leq x \leq t\}$$

Para cada  $0 < \delta < 1$ , temos que  $U_\delta(T) = U_1 \cup U_2$ , onde:

$$U_1 = \{(x, y, t) \in \mathbb{C}_2^3 \mid -t \leq x \leq 0; -(2t + \delta)(t + x) + t^2 \leq y \leq \delta(t + x) + t^2\}$$

$$U_2 = \{(x, y, t) \in \mathbb{C}_2^3 \mid 0 \leq x \leq t; (2t + \delta)(x - t) + t^2 \leq y \leq \delta(t - x) + t^2\}$$

De modo geral, se  $(T, 0) \subset (\mathbb{C}_a^3, 0)$  é triângulo sincronizado, tal que seu link plano  $T(t)$  é uma função convexa  $f_t: [x_0, x_1] \rightarrow \mathbb{R}$ , e se:

$$u = \frac{\partial f}{\partial x_+}(x_0); v = \frac{f(x_1) - f(x_0)}{x_1 - x_0}; w = \frac{\partial f}{\partial x_-}(x_1)$$

então  $u < v < w$ , e assim  $(U_\delta(T))(t)$  é a região compreendida pelas retas partindo de  $p = (x_0, f(x_0))$ :

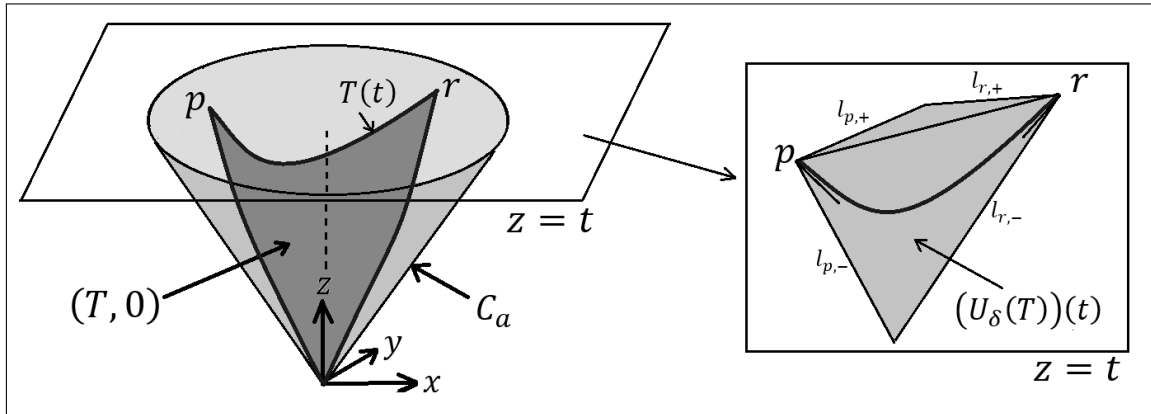
$$l_{p,-} = \{(x, y, t) \mid y = f(x_0) + (u - \delta)(x - x_0)\}; l_{p,+} = \{(x, y, t) \mid y = f(x_0) + (v + \delta)(x - x_0)\}$$

e pelas retas partindo de  $r = (x_1, f(x_1))$ :

$$l_{r,-} = \{(x, y, t) \mid y = f(x_1) + (w - \delta)(x - x_1)\}; l_{r,+} = \{(x, y, t) \mid y = f(x_1) + (v + \delta)(x - x_1)\}$$

**Proposição 6.1.6.** Para todos  $M, \delta > 0$  e para todo germe de triângulo sincronizado  $(T, 0)$  com derivada  $M$ -limitada, temos que  $(T, 0)$  é amassável em sua  $\delta$ -envoltória de suporte  $U_\delta(T)$ .

Figura 18 – Representação gráfica do Exemplo 6.1.5



Fonte: elaborado pelo autor.

*Demonstração.* No que segue, consideramos os elementos envolvidos nesta demonstração de acordo com a Definição 6.1.2 e a Observação 6.1.3. Para cada  $t > 0$ , seja  $r_t$  o coeficiente angular da reta que liga  $\gamma_0(t)$  e  $\gamma_1(t)$  e seja  $b_t : [x_0(t), x_1(t)] \rightarrow \mathbb{R}$ , dada por:

$$b_t(x) = y_0(t) + (x - x_0(t))r_t; x_0(t) \leq x \leq x_1(t)$$

Sendo  $(W_1, 0)$ ,  $(W_2, 0)$  os triângulos sincronizados cujas famílias de funções geradoras são  $\{a_t\}$ ,  $\{b_t\}$ , respectivamente, verifiquemos se  $f_t, g_t, a_t, b_t$  cumprem as condições do Teorema 5.1.3. Pela definição de  $M_{t,i}, m_{t,i}$ , temos que, para cada  $t > 0$  e  $x \in (x_0(t), x_1(t))$ ,  $m_{t,0}, m_{t,1} \leq r_t \leq M_{t,0}, M_{t,1}$ . Além disso:

- $g_t(x) < a_t(x), b_t(x)$ , pois se  $g_t(x) = y_0(t) + (m_{t,0} - \delta)(x - x_0(t))$ , então:

$$\begin{aligned} g_t(x) &= y_0(t) + (m_{t,0} - \delta)(x - x_0(t)) < y_0(t) + m_{t,0}(x - x_0(t)) \leq \\ &\leq y_0(t) + \left( \frac{a_t(x) - y_0(x)}{x - x_0(t)} \right) (x - x_0(t)) = a_t(x) \end{aligned}$$

$$\begin{aligned} g_t(x) &= y_0(t) + (m_{t,0} - \delta)(x - x_0(t)) < y_0(t) + m_{t,0}(x - x_0(t)) \leq \\ &\leq y_0(t) + (r_t x - x_0(t))(x - x_0(t)) = b_t(x) \end{aligned}$$

E se  $g_t(x) = y_1(t) + (M_{t,1} + \delta)(x - x_1(t))$ , então:

$$\begin{aligned} g_t(x) &= y_1(t) + (M_{t,1} + \delta)(x - x_1(t)) < y_1(t) + M_{t,1}(x - x_1(t)) \leq \\ &\leq y_1(t) + \left( \frac{a_t(x) - y_1(x)}{x - x_1(t)} \right) (x - x_1(t)) = a_t(x) \end{aligned}$$

$$g_t(x) = y_1(t) + (M_{t,1} + \delta)(x - x_1(t)) < y_1(t) + M_{t,1}(x - x_1(t)) \leq$$

$$\leq y_1(t) + (r_t x - x_1(t))(x - x_1(t)) = b_t(x)$$

- $f_t(x) > a_t(x), b_t(x)$  (a prova é análoga à do item anterior).
- Se  $\tilde{M} = \max \left\{ M, \frac{2(\delta + M)}{\delta} \right\}$ , então as funções  $a_t, b_t, f_t, g_t$  possuem derivada  $\tilde{M}$ -limitada e são tais que, para todo  $x \in (x_0(t), x_1(t))$ :

$$\frac{1}{\tilde{M}} \cdot (f_t(x) - g_t(x)) \leq a_t(x) - g_t(x), b_t(x) - g_t(x) \leq \left(1 - \frac{1}{\tilde{M}}\right) \cdot (f_t(x) - g_t(x))$$

Separaremos a análise em dois casos, de acordo com o valor de  $g_t(x)$ .

Caso  $g_t(x) = y_0(t) + (m_{t,0} - \delta)(x - x_0(t))$ , então, da definição de  $f_t(x)$ , temos  $f_t(x) \leq y_0(t) + (M_{t,0} + \delta)(x - x_0(t))$  e assim:

$$\begin{aligned} \frac{a_t(x) - g_t(x)}{f_t(x) - g_t(x)} &= \frac{\frac{a_t(x) - y_0(t)}{x - x_0(t)} - \frac{g_t(x) - y_0(t)}{x - x_0(t)}}{\frac{f_t(x) - y_0(t)}{x - x_0(t)} - \frac{g_t(x) - y_0(t)}{x - x_0(t)}} \geq \frac{\frac{a_t(x) - y_0(t)}{x - x_0(t)} - (m_{t,0} - \delta)}{(M_{t,0} + \delta) - (m_{t,0} - \delta)} \geq \\ &\geq \frac{m_{t,0} - (m_{t,0} - \delta)}{(M_{t,0} + \delta) - (m_{t,0} - \delta)} = \frac{\delta}{2\delta + (M_{t,0} - m_{t,0})} \geq \frac{\delta}{2(\delta + M)} \geq \frac{1}{\tilde{M}} \end{aligned}$$

Caso  $g_t(x) = y_1(t) + (M_{t,1} + \delta)(x - x_1(t))$ ; então, da definição de  $f_t(x)$ , temos  $f_t(x) \leq y_1(t) + (m_{t,1} - \delta)(x - x_1(t))$  e assim:

$$\begin{aligned} \frac{a_t(x) - g_t(x)}{f_t(x) - g_t(x)} &= \frac{\frac{a_t(x) - y_1(t)}{x - x_1(t)} - \frac{g_t(x) - y_1(t)}{x - x_1(t)}}{\frac{f_t(x) - y_1(t)}{x - x_1(t)} - \frac{g_t(x) - y_1(t)}{x - x_1(t)}} \geq \frac{\frac{a_t(x) - y_1(t)}{x - x_1(t)} - (M_{t,1} + \delta)}{(m_{t,1} - \delta) - (M_{t,1} + \delta)} \geq \\ &\geq \frac{M_{t,1} - (M_{t,1} + \delta)}{(m_{t,0} - \delta) - (M_{t,0} + \delta)} = \frac{\delta}{2\delta + (M_{t,0} - m_{t,0})} \geq \frac{\delta}{2(\delta + M)} = \frac{1}{\tilde{M}} \end{aligned}$$

Logo:

$$\frac{1}{\tilde{M}} \cdot (f_t(x) - g_t(x)) \leq a_t(x) - g_t(x)$$

Analogamente, prova-se que:

$$\frac{1}{\tilde{M}} \cdot (f_t(x) - g_t(x)) \leq f_t(x) - a_t(x)$$

O que implica:

$$a_t(x) - g_t(x) = (f_t(x) - g_t(x)) - (f_t(x) - a_t(x)) \leq \left(1 - \frac{1}{\tilde{M}}\right) \cdot (f_t(x) - g_t(x))$$

De modo similar, temos também que:

$$\frac{1}{\tilde{M}} \cdot (f_t(x) - g_t(x)) \leq b_t(x) - g_t(x) \leq \left(1 - \frac{1}{\tilde{M}}\right) \cdot (f_t(x) - g_t(x))$$

A demonstração está, pois, finalizada.  $\square$

## 6.2 Reduções a triângulos lineares

Nesta seção, usaremos as ideias vistas na seção anterior para demonstrar as proposições basilares para a resolução do problema desta tese, reduzindo a análise a germes de superfícies formadas por um número finito de triângulos lineares.

**Proposição 6.2.1.** *Sejam  $(\gamma_i, 0) \in (C_a^3, 0)$  ( $i = 1, 2, 3$ ) arcos distintos tais que:*

$$(Y, 0) = (\overline{\gamma_1 \gamma_2} \cup \overline{\gamma_2 \gamma_3}, 0)$$

seja LNE. Então,  $(X, 0)$  é bi-Lipschitz ambiente equivalente a  $(\overline{\gamma_1 \gamma_3}, 0)$ .

*Demonstração.* Para  $i = 1, 2, 3$ , seja  $\theta_i(t) = \angle \gamma_{i-1} \gamma_i \gamma_{i+1}(t)$  e  $\theta_i = \angle \gamma_{i-1} \gamma_i \gamma_{i+1}$  (índices módulo 3). De acordo com a Observação 5.2.2,  $\theta_1, \theta_2, \theta_3 > 0$ . Como  $\theta_1 + \theta_2 + \theta_3 = \pi$ , temos dois casos a considerar:

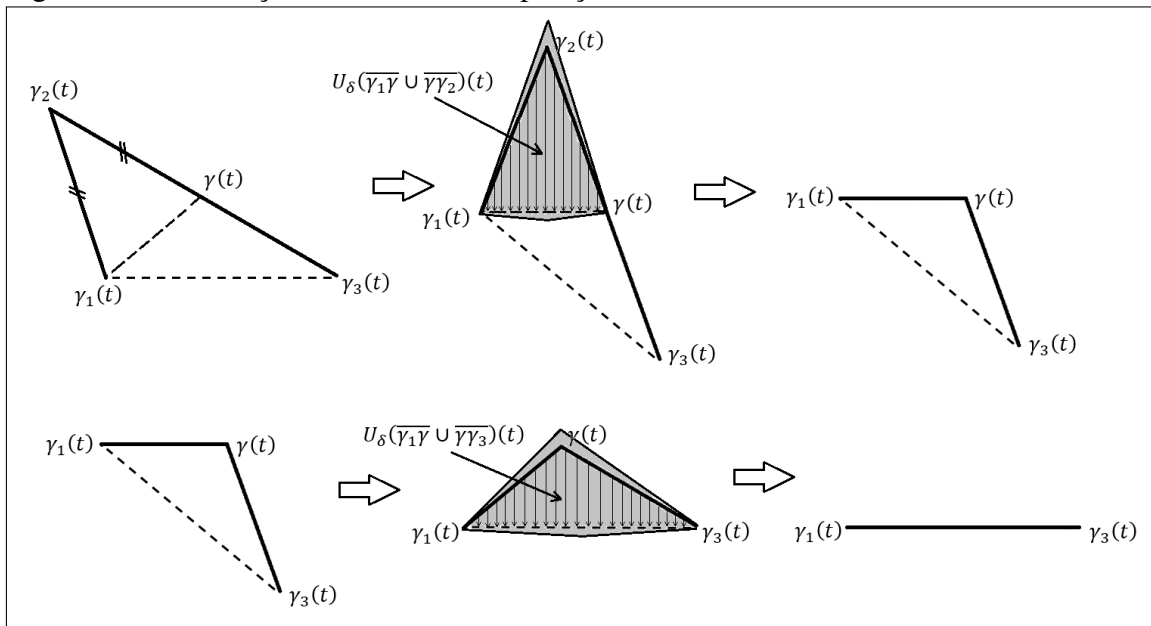
$$\text{Caso 1: } \theta_1, \theta_3 < \frac{\pi}{2}.$$

Tomando uma rotação de eixos se necessário, podemos supor que  $\overrightarrow{\gamma_1 \gamma_3} = (1, 0, 0)$ , de modo que  $(Y, 0)$  é germe de triângulo sincrozinado com derivada  $M = \max\{\tan(\theta_1 + \varepsilon), \tan(\theta_3 + \varepsilon)\}$ -limitada, para algum  $\varepsilon > 0$  suficientemente pequeno (como no Exemplo 6.1.4). Pela Proposição 6.1.6, o resultado está demonstrado neste caso.

$$\text{Caso 2: } \theta_1 \geq \frac{\pi}{2} \text{ ou } \theta_3 \geq \frac{\pi}{2}.$$

Analisemos apenas  $\theta_1 \geq \frac{\pi}{2}$ , pois o outro caso é análogo. Para cada  $t > 0$ , seja  $\gamma(t) \in \overline{\gamma_2(t) \gamma_3(t)}$  tal que  $\|\gamma_2(t) - \gamma_1(t)\| = \|\gamma_2(t) - \gamma(t)\|$ . Observe que  $\gamma = \gamma(t)$  é um conjunto semialgébrico, logo um arco. Assim, tomando uma rotação de eixos, se necessário, podemos supor que  $\overrightarrow{\gamma_2 \gamma} = (1, 0, 0)$ , de modo que  $(\overline{\gamma_1 \gamma_2} \cup \overline{\gamma_2 \gamma}, 0)$  é germe de triângulo sincrozinado com derivada limitada, uma vez que  $\angle \gamma_2 \gamma \gamma_1 = \angle \gamma_2 \gamma_1 \gamma = \frac{\pi - \theta_2}{2} < \frac{\pi}{2}$ . Pela Proposição 6.1.6,  $(Y, 0)$  é bi-Lipschitz ambiente equivalente a  $(\overline{\gamma_1 \gamma} \cup \overline{\gamma \gamma_3}, 0)$ , e como  $\angle \gamma \gamma_1 \gamma_3, \angle \gamma \gamma_3 \gamma_1 < \frac{\pi}{2}$  (pois  $\angle \gamma_1 \gamma \gamma_3 = \frac{\pi + \theta_2}{2} > \frac{\pi}{2}$ ), o resultado se reduz ao Caso 1.  $\square$

Figura 19 – Resolução do caso 2 da Proposição 6.2.1



Fonte: elaborado pelo autor.

**Definição 6.2.2.** Sejam  $\gamma_1, \gamma_2, \gamma_3$  arcos e seja  $Y = \overline{\gamma_1\gamma_2} \cup \overline{\gamma_2\gamma_3}$  uma superfície cujo germe é LNE. Dado  $\theta > 0$ , para cada  $t > 0$  e para  $i = 1, 3$ , sejam  $r_{i,+}(t), r_{i,-}(t)$  retas passando por  $\gamma_i(t)$  e externas ao triângulo  $\gamma_1\gamma_2\gamma_3(t)$  tais que:

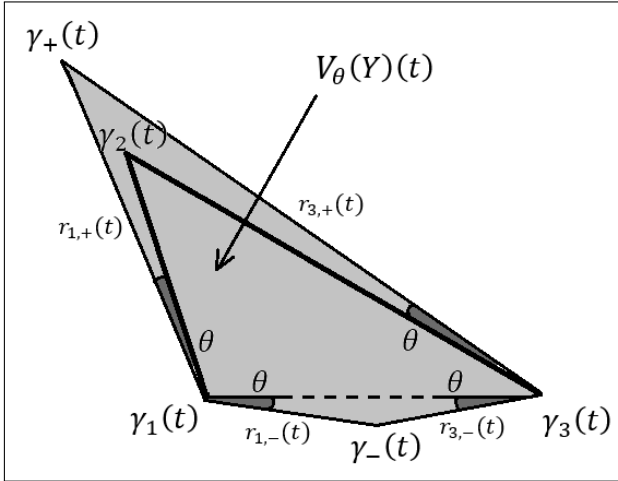
$$\angle(r_{i,-}(t), \overline{\gamma_1\gamma_3}(t)) = \angle(r_{i,+}(t), \overline{\gamma_i\gamma_2}(t)) = \theta$$

Para  $\theta$  suficientemente pequeno, as retas  $r_{1,+}(t), r_{3,+}(t)$  se intesectam um ponto  $\gamma_+(t)$  e as retas  $r_{1,-}(t), r_{3,-}(t)$  se intesectam um ponto  $\gamma_-(t)$ . Sejam os arcos  $\gamma_+ = \gamma_+(t)$ ,  $\gamma_- = \gamma_-(t)$ ,  $V_\theta(t)$  o quadrilátero delimitado por  $\gamma_1(t)$ ,  $\gamma_+(t)$ ,  $\gamma_3(t)$  e  $\gamma_-(t)$  e  $V_\theta(Y) = \cup_{t>0} U_\theta(t) \cup \{0\}$ . Definimos a  $\theta$ -envoltória de amassamento de  $Y$  como sendo o germe do conjunto  $V_\theta(Y)$  e denotamos  $\gamma_+$  como o arco de fronteira dessa  $\theta$ -envoltória mais próximo de  $\gamma_2$ .

**Observação 6.2.3.** A  $\theta$ -envoltória de amassamento de  $Y$  não necessariamente é uma envoltória de suporte de  $Y$ , uma vez que é possível que  $\angle\gamma_2\gamma_1\gamma_3 > \frac{\pi}{2}$ . Entretanto, para cada  $\theta > 0$  suficientemente pequeno, podemos tomar  $\delta > 0$  tal que as  $\delta$ -envoltórias de suporte (ou suas respectivas imagens por rotação de eixos) envolvidas na demonstração da Proposição 6.2.1 estejam todas contidas na  $\theta$ -envoltória de amassamento de  $Y$ , de modo que  $Y$  é amassável em  $V_\theta(Y)$ . Em particular, se  $X \subset C_a^3$  é uma superfície semialgébrica fechada tal que  $(Y, 0) \subseteq (X, 0)$ , e se existe  $\theta > 0$  tal que  $(V_\theta(Y), 0) \cap (X \setminus Y, 0) = \emptyset$ , então  $(X, 0)$  é bi-Lipschitz ambiente equivalente a  $((X \setminus Y) \cup \overline{\gamma_1\gamma_3}, 0)$ .



Figura 20 –  $\theta$ -envoltória de amassamento de  $Y = \overline{\gamma_1\gamma_2} \cup \overline{\gamma_2\gamma_3}$



Fonte: elaborado pelo autor.

**Proposição 6.2.4.** *Sejam  $(\gamma_i, 0) \in (C_a^3, 0)$  ( $i = 1, 2, 3$ ) arcos distintos tais que:*

$$(X, 0) = (\overline{\gamma_1\gamma_2} \cup \overline{\gamma_2\gamma_3} \cup \overline{\gamma_3\gamma_1}, 0)$$

seja LNE. Então, existe  $\beta \in \mathbb{Q}_{\geq 1}$  tal que  $(X, 0)$  é bi-Lipschitz ambiente equivalente ao germe da  $\beta$ -corneta padrão  $(H_\beta, 0)$ .

*Demonstração.* Para  $i = 1, 2, 3$ , seja  $\theta_i(t) = \angle \gamma_{i-1}\gamma_i\gamma_{i+1}(t)$  e  $\theta_i = \angle \gamma_{i-1}\gamma_i\gamma_{i+1}$  (índices módulo 3). De acordo com a Observação 5.2.2,  $\theta_1, \theta_2, \theta_3 > 0$ , o que implica que existe  $\beta \in \mathbb{Q}_{\geq 1}$  tal que:

$$\text{tord}(\gamma_1, \gamma_2) = \text{tord}(\gamma_2, \gamma_3) = \text{tord}(\gamma_3, \gamma_1) = \beta$$

Assim, existem  $a_1, a_2, a_3 > 0$  tais que:

$$\|\gamma_2(t) - \gamma_3(t)\| = a_1 t^\beta + o(t^\beta)$$

$$\|\gamma_3(t) - \gamma_1(t)\| = a_2 t^\beta + o(t^\beta)$$

$$\|\gamma_1(t) - \gamma_2(t)\| = a_3 t^\beta + o(t^\beta)$$

Note que  $a_1, a_2, a_3$  são os comprimentos dos lados de um triângulo. Sabemos que o raio da circunferência circunscrita a um triângulo de lados  $x, y, z$  e área:

$$S = \frac{\sqrt{(x+y+z)(-x+y+z)(x-y+z)(x+y-z)}}{4}$$

é  $R = \frac{xyz}{4S}$ . Sendo:

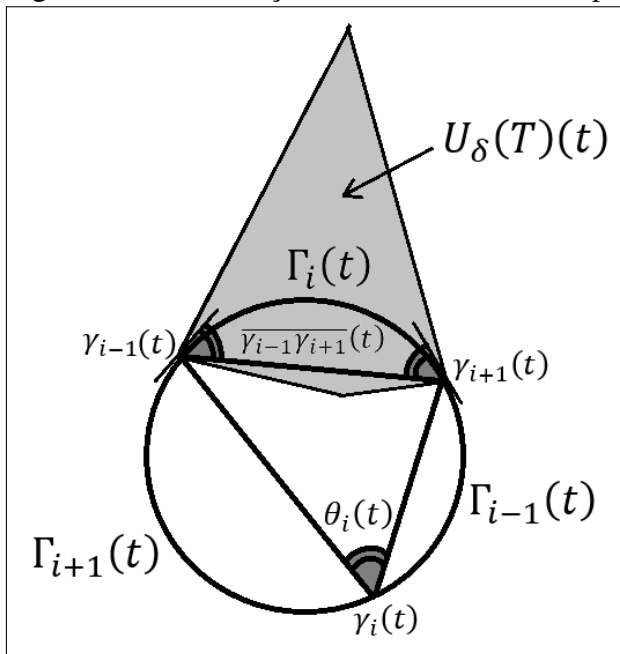
$$c = \frac{a_1 a_2 a_3}{\sqrt{(a_1 + a_2 + a_3)(-a_1 + a_2 + a_3)(a_1 - a_2 + a_3)(a_1 + a_2 - a_3)}}$$

Temos que, para todo  $t > 0$  suficientemente pequeno, se  $\Gamma(t)$  é a circunferência circunscrita ao triângulo  $\gamma_1(t)\gamma_2(t)\gamma_3(t)$  (que é não degenerado, já que  $\theta_i > 0$ ), o raio  $R(t)$  de  $\Gamma(t)$  tem série de Puiseux dada por  $R(t) = ct^\beta + o(t^\beta)$ . Pelo Lema 3.2.1, podemos supor ainda que  $\Gamma(t)$  tem centro na origem.

Definindo  $\Gamma := (\cup_{t>0}\Gamma(t)) \cup \{0\} \subset C_a^3$ , provemos que  $(\Gamma, 0)$  é bi-Lipschitz ambiente equivalente a  $(X, 0)$  em  $C_a^3$ . Façamos a demonstração em dois casos.

*Caso 1:* se  $\theta_1, \theta_2, \theta_3 < \frac{\pi}{2}$ , podemos assumir que  $t > 0$  é suficientemente pequeno de modo  $\gamma_1(t)\gamma_2(t)\gamma_3(t)$  é um triângulo acutângulo, cujos ângulos internos satisfazem, para  $i = 1, 2, 3$ ,  $\varepsilon < \theta_i(t) < \frac{\pi}{2} - \varepsilon$ , para algum  $\varepsilon > 0$  pequeno. Dessa forma, se  $\Gamma_i(t)$  é o arco de  $\Gamma(t)$  delimitado por  $\gamma_{i-1}(t)$  e  $\gamma_{i+1}(t)$  e que não contém  $\gamma_i(t)$  (índices módulo 3) e se  $\Gamma_i = (\cup_{t>0}\Gamma_i(t)) \cup \{0\} \subset C_a^3$ , por meio de uma rotação de eixos, se necessário, podemos ver  $\Gamma_i(t)$  como um link plano de um triângulo sincronizado  $T$  convexo com variação  $M$ -limitada,  $M = \cot \varepsilon$  (isso se deve ao fato de que as tangentes a  $\Gamma$  por  $\gamma_{i-1}(t)$  e  $\gamma_{i+1}(t)$  formam com  $\overline{\gamma_{i-1}\gamma_{i+1}(t)}$  ângulos menores que  $\frac{\pi}{2} - \varepsilon$ ). Daí, existe  $\delta > 0$  tal que a  $\delta$ -envoltória de suporte de  $\Gamma_i(t)$  não intersecta  $(X(t) \cup \Gamma(t)) \setminus (\overline{\gamma_{i-1}\gamma_{i+1}(t)} \cup \Gamma_i(t))$ , donde  $(T, 0)$  é bi-Lipschitz ambiente equivalente a  $(\overline{\gamma_{i-1}\gamma_{i+1}}, 0)$ , pela Proposição 6.1.6.

Figura 21 – Construção da  $\delta$ -envoltória de suporte de  $\Gamma_i(t)$

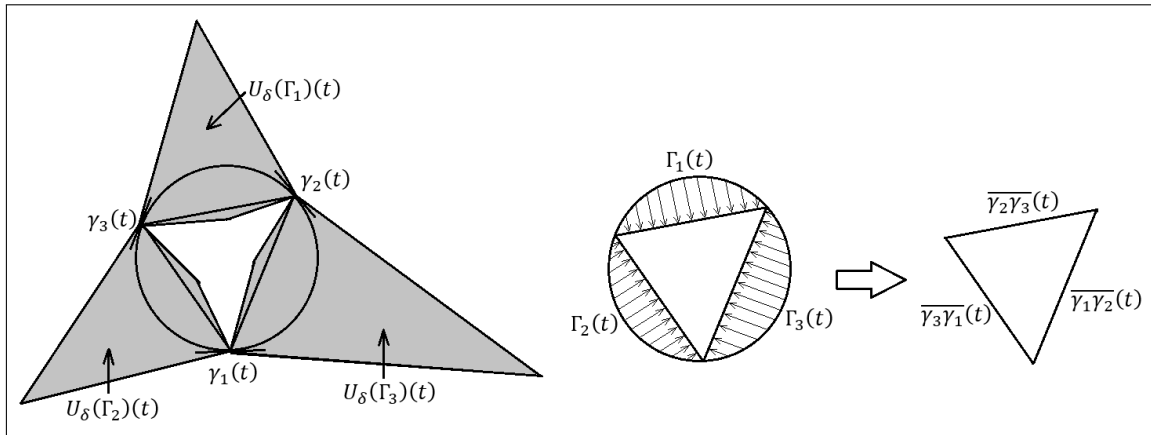


Fonte: elaborado pelo autor.

Logo, cada  $\Gamma_i$  é amassável em sua respectiva envoltória de suporte, e aplicando tais transformações em cada envoltória de suporte, segue que  $(\Gamma, 0)$  é bi-Lipschitz ambiente

equivalente a  $(X, 0)$  em  $(C_a^3, 0)$ , como queríamos.

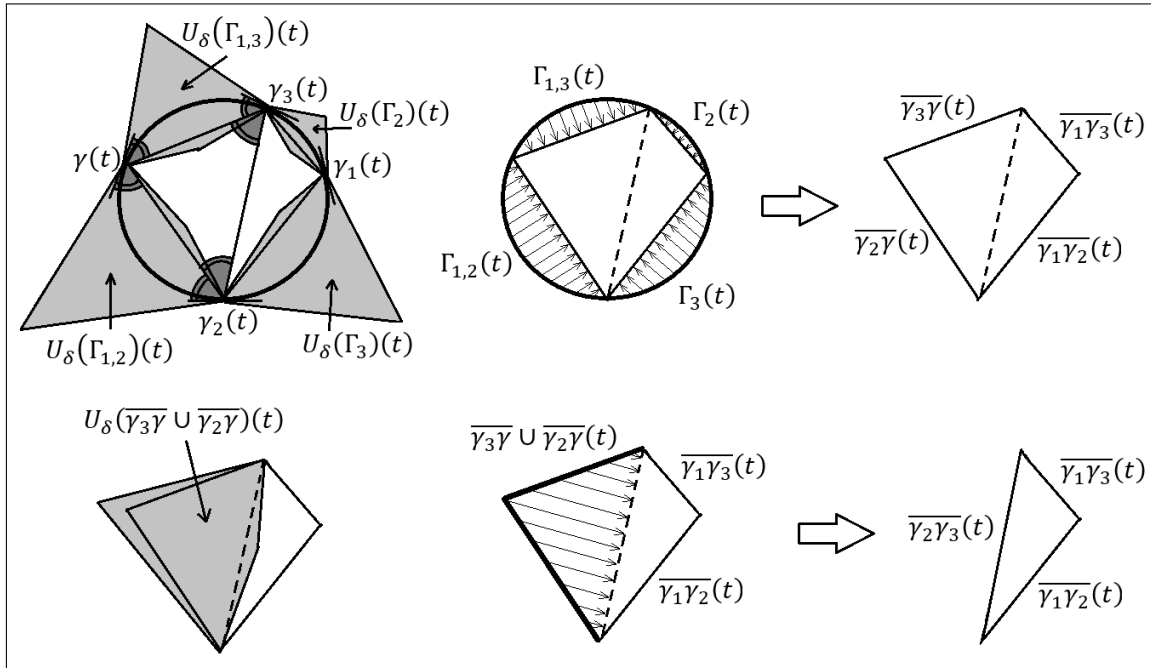
Figura 22 – "Amassamento" dos arcos  $\Gamma_1, \Gamma_2, \Gamma_3$  no caso 1.



Fonte: elaborado pelo autor.

*Caso 2:* Existe  $i \in \{1, 2, 3\}$  tal que  $\theta_i \geq \frac{\pi}{2}$  (digamos  $i = 1$ ). Neste caso,  $\Gamma_2, \Gamma_3$  são amassáveis em suas respectivas envoltórias de suporte, mas o mesmo não vale para  $\Gamma_1$ . Para contornar essa situação, tomamos, para cada  $t > 0$ ,  $\gamma(t)$  o ponto médio do arco  $\Gamma_1(t)$  e definimos  $\Gamma_{1,2}(t)$  a região em  $\Gamma_1(t)$  delimitada por  $\gamma_2(t), \gamma(t)$  e  $\Gamma_{1,3}(t)$  a região em  $\Gamma_1(t)$  delimitada por  $\gamma_3(t), \gamma(t)$ . Denote também  $\Gamma_{1,j} = (\cup_{t>0} \Gamma_{1,j}(t)) \cup \{0\} \subset C_a^3$  ( $j = 2, 3$ ). Pelos mesmos argumentos do Caso 1, temos que  $\Gamma_2, \Gamma_3, \Gamma_{1,2}, \Gamma_{1,3}$  são amassáveis em suas respectivas envoltórias de suporte, donde  $(\Gamma, 0)$  é bi-Lipschitz ambiente equivalente a  $(\overline{\gamma_2\gamma_1} \cup \overline{\gamma_1\gamma_3} \cup \overline{\gamma_3\gamma} \cup \overline{\gamma\gamma_2}, 0)$  em  $(C_a^3, 0)$ .

Como  $\angle \gamma\gamma_2\gamma_3(t) = \angle \gamma\gamma_3\gamma_2(t) = \frac{1}{2}\theta_1 < \frac{\pi}{2} - \varepsilon$ , temos que  $\overline{\gamma_2\gamma} \cup \overline{\gamma\gamma_3}$  é amassável numa  $\delta$ -envoltória de suporte que não intersecta pontos interiores de  $\overline{\gamma_2\gamma_1} \cup \overline{\gamma_3\gamma_1}$ , e assim  $(\overline{\gamma_2\gamma_1} \cup \overline{\gamma_1\gamma_3} \cup \overline{\gamma_3\gamma} \cup \overline{\gamma_2\gamma}, 0)$  é bi-Lipschitz ambiente equivalente a  $(\overline{\gamma_2\gamma_1} \cup \overline{\gamma_1\gamma_3} \cup \overline{\gamma_2\gamma_3}, 0) = (X, 0)$  em  $(C_a^3, 0)$ , como queríamos. Como  $(X, 0)$  é bi-Lipschitz ambiente equivalente a  $(\Gamma, 0)$  em  $C_a^3$ , pelo Corolário 3.2.4, o resultado está demonstrado.  $\square$

Figura 23 –  $\delta$ -envoltórias e "amassamentos" no caso 2

Fonte: elaborado pelo autor.

**Proposição 6.2.5.** *Seja  $a > 0$  e seja  $(X, 0) \subset (C_a^3, 0)$  um germe de superfície LNE, semialgébrica, 2-dimensional puro e fechada, com link conexo. Então,  $(X, 0)$  é bi-Lipschitz ambiente equivalente a um germe de uma superfície formada por uma união finita de triângulos lineares delimitados por arcos.*

*Demonstração.* Pela Proposição 4.3.4, para cada  $\delta > 0$ , existe uma decomposição  $\delta$ -convexa  $(X, 0) = \bigcup_{i=1}^n (X_i, 0)$ . Para  $i = 1, \dots, n$ , sejam  $(\gamma_{i,0}, 0), (\gamma_{i,1}, 0)$  os arcos de fronteira do triângulo  $(X_i, 0)$ . Se  $T_i = r_{\theta_i}(X_i)$ ,  $U_\delta(T_i)$  é a  $\delta$ -envoltória de suporte de  $T_i$  e  $U_i = r_{-\theta_i}(U_\delta(T_i))$ , então como  $T_i$  é triângulo sincronizado convexo e com derivada  $\delta$ -limitada, temos que, para todo  $C > 1$ , podemos tomar  $\delta > 0$  suficientemente pequeno de modo que, para todo  $t > 0$  suficientemente pequeno e todos os pontos  $p, q \in U_i(t)$ :

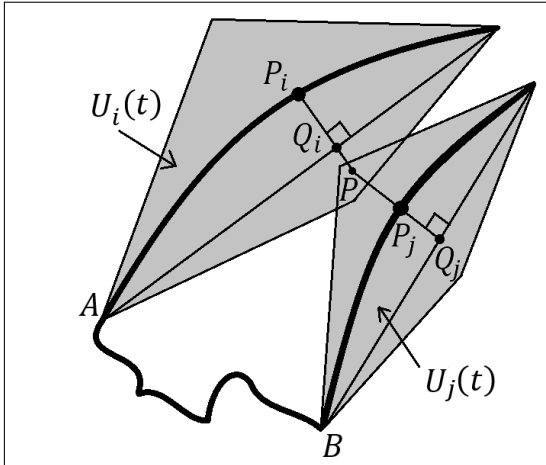
$$\angle p\gamma_{i,0}(t)q, \angle p\gamma_{i,1}(t)q < \arctan \frac{1}{4C}$$

Pelo Teorema 2.2.22, existe  $C > 1$  de modo que  $X(t)$  seja  $C$ -LNE, para todo  $t > 0$  pequeno. Ao tomar  $C$  cumprindo tal condição e  $\delta$  como acima, afirmamos que, para  $t > 0$  e todos  $i \leq i < j \leq n$ ,  $U_i(t) \cap U_j(t)$  é igual a um ponto de algum arco de fronteira ou igual a  $\emptyset$ . Suponha o contrário, isto é, existe  $P \in U_i(t) \cap U_j(t)$ ,  $P \neq \gamma_{k,0}(t), \gamma_{k,1}(t)$ . Para  $s = i, j$ , a perpendicular, por  $P$ , a  $\overline{\gamma_{k,0}\gamma_{k,1}}(t)$  intersecta  $X_k(t)$  em  $P_k$  e  $\gamma_{k,0}\gamma_{k,1}(t)$  em  $Q_k$ . Sejam  $A \in \{\gamma_{i,0}(t), \gamma_{i,1}(t)\}$ ,  $B \in \{\gamma_{j,0}(t), \gamma_{j,1}(t)\}$  tais que o caminho em  $X(t)$  de comprimento mínimo conectando  $P_i$  a  $P_j$  passa

por  $A$  e  $B$ . Em particular:

$$d_{X(t)}(P_i, P_j) \geq \|P_i - A\| + \|A - B\| + \|B - P_j\|$$

Figura 24 – Prova de que  $U_i(t) \cap U_j(t)$  é um ponto de arco de fronteira, ou vazio



Fonte: elaborado pelo autor.

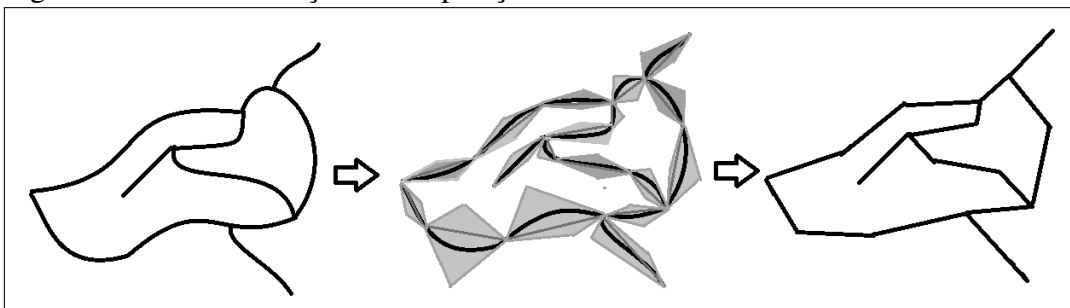
Temos que  $\|P_i - P_j\| \leq \|P_i - Q_i\| + \|Q_i - P\| + \|P - P_j\| + \|P_j - Q_j\|$ . Como as desigualdades  $\angle P_i A Q_i, \angle P A Q_i, \angle P B Q_j, \angle P_j B Q_j < \arctan \frac{1}{4C}$  são válidas, temos:

$$\|P_i - Q_i\|, \|Q_i - P\| \leq \frac{\|A - Q_i\|}{4C} \leq \frac{\|A - P_i\|}{4C}$$

$$\|P - P_j\|, \|P_j - Q_j\| \leq \frac{\|B - Q_j\|}{4C} \leq \frac{\|B - P_j\|}{4C}$$

Logo,  $\|P_i - P_j\| \leq \frac{\|P_i - A\| + \|B - P_j\|}{2C} \leq \frac{\|P_i - A\| + \|A - B\| + \|B - P_j\|}{2C} \leq \frac{d_{X(t)}(P_i, P_j)}{2C}$ , uma contra-dição. A afirmação está, pois, provada, e desse modo cada  $(X_i, 0)$  é amassável em cada  $(U_i, 0)$  correspondente, finalizando a demonstração.  $\square$

Figura 25 – Demonstração da Proposição 6.2.5



Fonte: elaborado pelo autor.

## 7 SUPERFÍCIES POLIGONAIS E MERGULHO NORMAL

### 7.1 Definições e lemas preliminares

**Definição 7.1.1.** *Seja  $a > 0$  e seja  $(X, 0) \subset (C_a^3, 0)$  um germe de superfície semialgébrica fechada. Dizemos que  $X$  é uma **Superfície Poligonal** se existe  $n \in \mathbb{N}_{\geq 2}$ , arcos distintos  $\gamma_1, \dots, \gamma_n \subset X$  e uma das duas situações seguintes ocorrer:*

1. *O link plano de  $X$  é homeomorfo a  $[0, 1]$  e  $(X, 0) = (\cup_{i=1}^{n-1} \overline{\gamma_i \gamma_{i+1}}, 0)$ . Neste caso, dizemos que  $X$  é **Poligonal Aberta** (ou  **$(n-1)$ -Gonal Aberta**), e que  $n$  é o número de vértices de  $X$ .*
2. *O link plano de  $X$  é homeomorfo a  $\mathbb{S}^1$ ,  $n \geq 3$  e  $(X, 0) = (\cup_{i=1}^n \overline{\gamma_i \gamma_{i+1}}, 0)$ , onde  $\gamma_{n+1} = \gamma_1$ . Neste caso, dizemos que  $X$  é **Poligonal Fechada** (ou  **$n$ -Gonal Fechada**), e que  $n$  é o número de vértices de  $X$ .*

*Em todo caso, denotamos  $X$  como uma superfície poligonal (aberta ou fechada) delimitada pelos arcos  $\gamma_1, \dots, \gamma_n$ . As superfícies  $\overline{\gamma_1 \gamma_2}, \dots, \overline{\gamma_{n-1} \gamma_n}$  são definidas como **Superfícies de Arestas de  $X$**  (caso  $X$  seja fechada,  $\overline{\gamma_1 \gamma_n}$  também é superfície de aresta de  $X$ ).*

*Dizemos ainda que  $X$  é uma **Superfície  $n$ -Gonal não Degenerada** se  $n \geq 3$  e as seguintes condições forem satisfeitas:*

- *$X$  é  $n$ -gonal aberta e  $\angle \gamma_{i-1} \gamma_i \gamma_{i+1} < \pi$ , para  $i = 2, \dots, n-1$ , ou  $X$  é  $n$ -gonal fechada e  $\angle \gamma_{i-1} \gamma_i \gamma_{i+1} < \pi$ , para  $i = 1, \dots, n$  ( $\gamma_0 = \gamma_n$ ,  $\gamma_1 = \gamma_{n+1}$ );*
- *para todo  $t > 0$  suficientemente pequeno e todos  $1 \leq i < j < k \leq n$ ,  $\gamma_i(t), \gamma_j(t), \gamma_k(t)$  não são colineares.*

**Lema 7.1.2.** *Seja  $(X, 0)$  um germe de superfície poligonal (aberta ou fechada) LNE delimitada por  $\gamma_1, \dots, \gamma_n$  e seja  $i \in \{1, \dots, n\}$  tal que:*

- *$\overline{\gamma_{i-1} \gamma_i}, \overline{\gamma_i \gamma_{i+1}}$  são superfícies de arestas de  $X$ ;*
- *$\alpha = \text{tord}(\gamma_{i-1}, \gamma_i) = \text{tord}(\gamma_i, \gamma_{i+1})$ ;*
- *$0 < \angle \gamma_{i-1} \gamma_i \gamma_{i+1} < \pi$ .*

*Então existe  $\varepsilon_0 > 0$  tal que, para todo  $\varepsilon \in (0, \varepsilon_0)$ , se  $(\gamma_\varepsilon, 0)$  é o arco definido por:*

$$\gamma_\varepsilon(t) \in \overline{\gamma_{i-1}(t) \gamma_i(t)} ; \|\gamma_\varepsilon(t) - \gamma_i(t)\| = \varepsilon \cdot t^\alpha \quad (t > 0)$$

*Então  $(X, 0)$  é bi-Lipschitz ambiente equivalente ao germe da superfície poligonal (aberta ou fechada) delimitada por  $\gamma_1, \dots, \gamma_{i-1}, \gamma_\varepsilon, \gamma_{i+1}, \dots, \gamma_n$ .*

*Demonstração.* Como  $\alpha = \text{tord}(\gamma_i, \gamma_{i+1}) = \text{tord}(\gamma_{i-1}, \gamma_i)$ , existem  $b_i, b_{i-1} > 0$  tais que  $\|\gamma_i(t) - \gamma_{i+1}(t)\| = b_i \cdot t^\alpha + o(t^\alpha)$  e  $\|\gamma_{i-1}(t) - \gamma_i(t)\| = b_{i-1} \cdot t^\alpha + o(t^\alpha)$ . Logo, para todo  $t > 0$  suficien-

temente pequeno,  $\|\gamma_i(t) - \gamma_{i+1}(t)\| > \frac{b_i}{2}.t^\alpha$  e  $\|\gamma_{i-1}(t) - \gamma_i(t)\| > \frac{b_{i-1}}{2}.t^\alpha$ , e como  $(X, 0)$  é LNE, pelo Teorema 2.2.22 existe  $C > 1$  tal que  $X(t)$  é  $C$ -LNE. Ademais, como  $0 < \angle \gamma_{i-1} \gamma_i \gamma_{i+1} < \pi$ , temos que existe  $M > 1$  tal que  $\sin(\theta_i(t)) > \frac{2}{M}$ , onde  $\theta_i(t) = \angle \gamma_{i-1}(t) \gamma_i(t) \gamma_{i+1}(t)$ , e também que  $\angle \gamma_\varepsilon \gamma_{i+1} \gamma_i$  é uma função decrescente em  $\varepsilon$ , com  $\angle \gamma_\varepsilon \gamma_{i+1} \gamma_i \rightarrow 0$  quando  $\varepsilon \rightarrow 0$ .

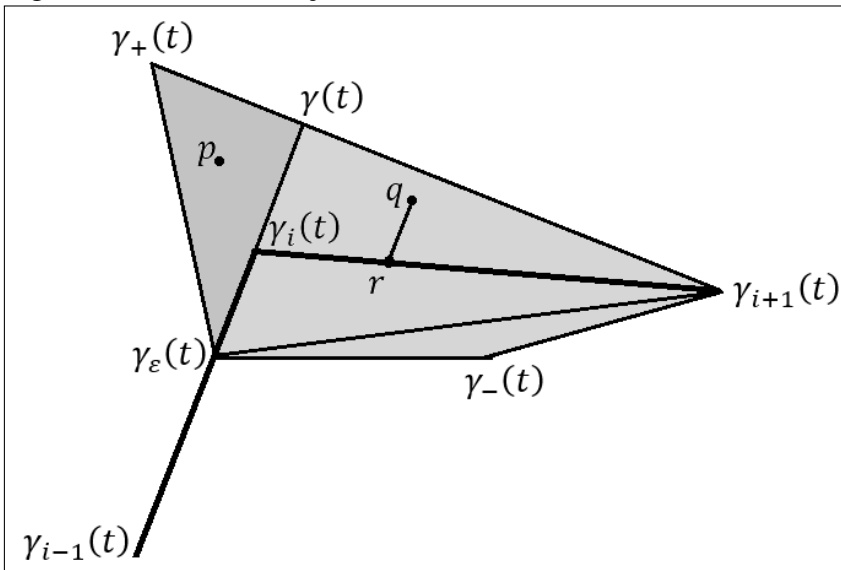
Considere  $\varepsilon_0 < \frac{b_i}{4C}, \frac{b_{i-1}}{4C}$  tal que  $\angle \gamma_{\varepsilon_0}(t) \gamma_{i+1}(t) \gamma_i(t) < \arcsin\left(\frac{1}{2MC}\right)$  e  $\varepsilon \in (0, \varepsilon_0)$ . Dado  $\theta > 0$  suficientemente pequeno, a  $\theta$ -envoltória de amassamento  $V_\theta(Y)$  de  $Y = \overline{\gamma_\varepsilon \gamma_i} \cup \overline{\gamma_i \gamma_{i+1}}$  é delimitada pelos arcos  $\gamma_\varepsilon, \gamma_+, \gamma_{i+1}, \gamma_-$ , onde  $\gamma_+$  é o arco de fronteira de  $V_\theta(Y)$  mais próximo de  $\gamma_i$ . Defina  $\gamma(t)$  a interseção das retas  $\overleftrightarrow{\gamma_\varepsilon(t) \gamma_i(t)}$  e  $\overleftrightarrow{\gamma_+(t) \gamma_{i+1}(t)}$ . Podemos tomar  $\theta$  pequeno o bastante de modo que, para cada  $t > 0$ , e para qualquer ponto  $p$  no triângulo  $\gamma_+(t) \gamma_\varepsilon(t) \gamma(t)$  e qualquer ponto  $q$  no quadrilátero  $\gamma_\varepsilon(t) \gamma(t) \gamma_{i+1}(t) \gamma_-(t)$ , temos:

- $\|p - \gamma_i(t)\| \leq \|\gamma_\varepsilon(t) - \gamma_i(t)\| = \varepsilon.t^\alpha$
- $\angle q \gamma_{i+1}(t) \gamma_i(t) < \beta$ , onde  $\beta \in (0, \frac{\pi}{2})$  é tal que  $\sin(\theta_i(t) \pm \beta) > \frac{1}{M}$  e  $\sin(\beta) < \frac{1}{MC}$ . Tal ângulo  $\beta$  sempre existe, pois  $\sin \theta_i(t) > \frac{2}{M} > \frac{1}{M}$  e:

$$\beta < \angle \gamma_{\varepsilon_0}(t) \gamma_{i+1}(t) \gamma_i(t) + 2\theta < \arcsin\left(\frac{1}{2MC}\right) + 2\theta < \arcsin\left(\frac{1}{MC}\right)$$

- $\|q - r\| \leq \|\gamma(t) - \gamma_\varepsilon(t)\| = \|\gamma(t) - \gamma_i(t)\| + \|\gamma_i(t) - \gamma_\varepsilon(t)\| < 2\varepsilon.t^\alpha$ , onde  $r$  é o ponto sobre o segmento  $\overline{\gamma_{i+1}(t) \gamma_i(t)}$  tal que  $\overline{qr}$  e  $\overline{\gamma_\varepsilon(t) \gamma_i(t)}$  são paralelas.

Figura 26 – Demonstração do Lema 7.1.2



Fonte: elaborado pelo autor.

Provemos que  $V_\theta(Y)(t) \cap (X \setminus Y)(t) = \emptyset$ . Suponha o contrário, ou seja existe ao menos um ponto em tal interseção. Dividiremos a análise em dois casos:

*Caso 1:* o ponto na interseção é  $p$  no triângulo  $\gamma_+(t)\gamma_\varepsilon(t)\gamma(t)$ . Neste caso, temos:

$$\|p - \gamma_i(t)\| \leq \varepsilon.t^\alpha < \frac{1}{C} \left( \frac{b_i}{2}.t^\alpha \right) < \frac{1}{C} \|\gamma_i(t) - \gamma_{i+1}(t)\|$$

$$\|p - \gamma_i(t)\| \leq \varepsilon.t^\alpha < \frac{1}{C} \left( \frac{b_{i-1}}{2}.t^\alpha \right) < \frac{1}{C} \|\gamma_{i-1}(t) - \gamma_i(t)\|$$

Como  $d_{X(t)}(p, \gamma_i(t)) \geq \min\{\|\gamma_i(t) - \gamma_{i+1}(t)\|, \|\gamma_{i-1}(t) - \gamma_i(t)\|\}$ , segue que  $d_{X(t)}(p, \gamma_i(t)) > C\|p - \gamma_i(t)\|$ , uma contradição.

*Caso 2::* o ponto na interseção é  $q$  no quadrilátero  $\gamma_\varepsilon(t)\gamma(t)\gamma_{i+1}(t)\gamma_-(t)$ . Neste caso, temos:

$$\|q - r\| \leq 2\varepsilon.t^\alpha \leq \frac{1}{C} \cdot \frac{b_{i-1}}{2}.t^\alpha < \frac{1}{C} \|\gamma_{i-1}(t) - \gamma_i(t)\|$$

Para  $q$  no triângulo  $\gamma_i(t)\gamma(t)\gamma_{i+1}(t)$ , temos:

$$\begin{aligned} \angle rq\gamma_{i+1}(t) &= \pi - \angle qr\gamma_{i+1}(t) - \angle r\gamma_{i+1}(t)q = \\ &= \theta_i(t) - \angle r\gamma_{i+1}(t)q \in (\theta_i(t) - \beta, \theta_i(t)) \end{aligned}$$

Para  $q$  no quadrilátero  $\gamma_i(t)\gamma_\varepsilon(t)\gamma_-(t)\gamma_{i+1}(t)$ , temos:

$$\begin{aligned} \angle rq\gamma_{i+1}(t) &= \pi - \angle qr\gamma_{i+1}(t) - \angle r\gamma_{i+1}(t)q = \\ &= (\pi - \theta_i(t)) - \angle r\gamma_{i+1}(t)q \in (\pi - \theta_i(t) - \beta, \pi - \theta_i(t)) \end{aligned}$$

Em todo caso,  $\sin(\angle rq\gamma_{i+1}(t)) > \frac{1}{M}$ . Se  $h$  é a distância de  $r$  à reta  $\overleftrightarrow{\gamma_{i+1}(t)q}$ , então:

$$\begin{aligned} \|q - r\| &= \frac{h}{\sin \angle rq\gamma_{i+1}(t)} < M.h = \\ &= M\|r - \gamma_{i+1}(t)\| \sin(\angle q\gamma_{i+1}(t)\gamma_i(t)) < \frac{1}{C} \|r - \gamma_{i+1}(t)\| \end{aligned}$$

Como  $d_{X(t)}(q, r) \geq \min\{\|r - \gamma_{i+1}(t)\|, \|\gamma_{i-1}(t) - \gamma_i(t)\|\}$ , segue que  $d_{X(t)}(q, r) > C\|q - r\|$ , uma contradição.

Portanto, da Observação 6.2.3,  $(X, 0)$  é bi-Lipschitz ambiente equivalente ao germe da superfície poligonal delimitada por  $\gamma_1, \dots, \gamma_{i-1}, \gamma_\varepsilon, \gamma_{i+1}, \dots, \gamma_n$ , finalizando a prova.  $\square$



**Lema 7.1.3.** *Seja  $(X, 0)$  um germe de superfície poligonal (aberta ou fechada) LNE delimitada por  $\gamma_1, \dots, \gamma_n$  e seja  $i \in \{1, \dots, n\}$  tal que:*

- $\overline{\gamma_{i-1}\gamma_i}, \overline{\gamma_i\gamma_{i+1}}$  são superfícies de arestas de  $X$ ;
- $tord(\gamma_{i-1}, \gamma_i) > tord(\gamma_i, \gamma_{i+1})$ ;
- $0 < \angle \gamma_{k-1}\gamma_k\gamma_{k+1} < \pi$ , para todo  $k$ .

Então as seguintes afirmações são verdadeiras:

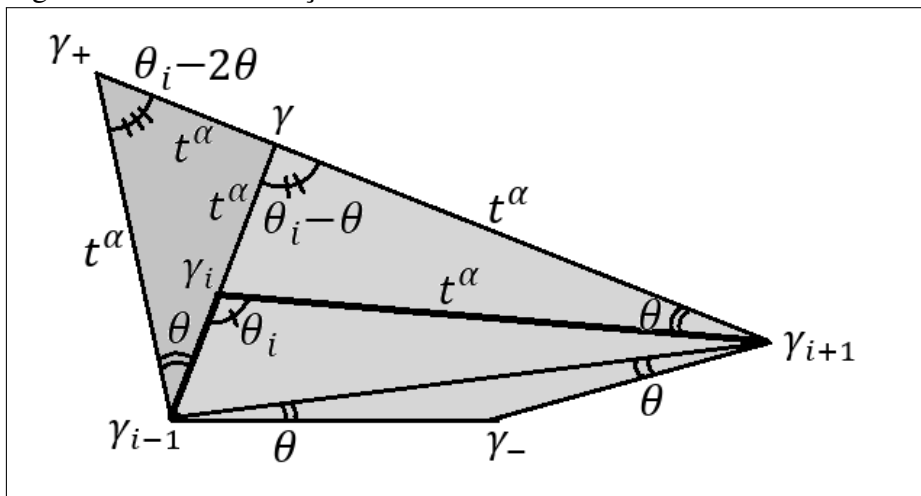
1. Se  $X(t) \simeq [0, 1]$  e  $i = 2$ , então  $(X, 0)$  é bi-Lipschitz ambiente equivalente ao germe da superfície poligonal aberta delimitada por  $\gamma_1, \gamma_3, \dots, \gamma_n$ .
2. Se  $\overline{\gamma_{i-2}\gamma_{i-1}}$  é superfície de aresta de  $X$  e  $tord(\gamma_{i-2}, \gamma_{i-1}) \leq tord(\gamma_i, \gamma_{i+1})$ , então  $(X, 0)$  é bi-Lipschitz ambiente equivalente ao germe da superfície poligonal (aberta ou fechada) delimitada por  $\gamma_1, \dots, \gamma_{i-1}, \gamma_{i+1}, \dots, \gamma_n$ .

*Demonstração.* Seja  $\theta_i = \angle \gamma_{i-1}\gamma_i\gamma_{i+1}$  e  $C > 1$  tal que  $X(t)$  é  $C$ -LNE, para  $t > 0$  (Teorema 2.2.22).

Como na demonstração do lema anterior, dado  $\theta > 0$  suficientemente pequeno, a  $\theta$ -envoltória de amassamento  $V_\theta(Y)$  de  $Y = \overline{\gamma_\varepsilon\gamma_i} \cup \overline{\gamma_i\gamma_{i+1}}$  é delimitada pelos arcos  $\gamma_\varepsilon, \gamma_+, \gamma_{i+1}, \gamma_-$ , onde  $\gamma_+$  é o arco de fronteira de  $V_\theta(Y)$  mais próximo de  $\gamma_i$ . Defina  $\gamma(t)$  a interseção das retas  $\overleftarrow{\gamma_{i-1}\gamma_i(t)}$  e  $\overleftarrow{\gamma_+\gamma_{i+1}(t)}$ . Como  $tord(\gamma_{i-1}, \gamma_i) > tord(\gamma_i, \gamma_{i+1})$ , temos que  $\angle \gamma_{i-1}\gamma_{i+1}\gamma_i = 0$  e  $\angle \gamma_{i+1}\gamma_{i-1}\gamma_i = \pi - \theta_i$ .

Temos ainda que  $\angle \gamma\gamma_i\gamma_{i+1} = \pi - \theta_i$ ,  $\angle \gamma\gamma_{i+1}\gamma_i = \angle \gamma\gamma_{i-1}\gamma_+ = \theta$ ,  $\angle \gamma_i\gamma\gamma_{i+1} = \theta_i - \theta$  e  $\angle \gamma_{i-1}\gamma_+\gamma = \theta_i - 2\theta$ , para  $\theta < \frac{\theta_i}{2}$ . Dessa forma, se  $tord(\gamma_i, \gamma_{i+1}) = \alpha$ , então ao considerarmos os arcos  $\gamma_i, \gamma, \gamma_{i+1}$ , temos  $tord(\gamma_i, \gamma) = tord(\gamma, \gamma_{i+1}) = \alpha \Rightarrow tord(\gamma_{i-1}, \gamma) = \alpha$ . Considerando os arcos  $\gamma_{i-1}, \gamma, \gamma_+$ , temos, de  $tord(\gamma_{i-1}, \gamma) = \alpha$ , que  $tord(\gamma_{i-1}, \gamma_+) = tord(\gamma_+, \gamma) = \alpha$ .

Figura 27 – Determinação das ordens de contato no Lema 7.1.3



Fonte: elaborado pelo autor.

Ademais, existe  $b_\theta > 0$  tal que a série de Puiseux de  $\|\gamma_{i-1}(t) - \gamma(t)\|$  é  $b_\theta.t^\alpha + o(t^\alpha)$ , com  $b_\theta \rightarrow 0$  quando  $\theta \rightarrow 0$ . Assim, para cada  $t > 0$ , a maior distância conectando dois pontos no triângulo  $\gamma_{i-1}(t)\gamma_+(t)\gamma(t)$  tem série de Puiseux igual a  $c_\theta.t^\alpha + o(t^\alpha)$ , com  $c_\theta > 0$  e  $c_\theta \rightarrow 0$  quando  $\theta \rightarrow 0$ . Em particular, existe  $\theta > 0$  tal que, para  $t > 0$  e para todo ponto  $p$  no triângulo  $\gamma_+(t)\gamma_{i-1}(t)\gamma(t)$ :

$$\|p - \gamma_i(t)\| < \frac{1}{C\tilde{C}} \|\gamma_i(t) - \gamma_{i+1}(t)\|$$

Onde  $\tilde{C} \geq 1$  é tal que  $\|\gamma_{i-2}(t) - \gamma_{i-1}(t)\| \geq \frac{1}{\tilde{C}} \|\gamma_{i-2}(t) - \gamma_{i-1}(t)\|$ , para  $t > 0$  pequeno ( $\tilde{C}$  existe, pois  $tord(\gamma_{i-2}, \gamma_{i-1}) \leq tord(\gamma_i, \gamma_{i+1})$ ). Analogamente ao que foi feito no lema anterior, existe  $\theta > 0$  suficientemente pequeno tal que todo ponto  $q$  no quadrilátero  $\gamma_{i-1}(t)\gamma(t)\gamma_{i+1}(t)\gamma_-(t)$ :

$$\|q - r\| < \frac{1}{C\tilde{C}} \|\gamma_{i+1}(t) - r\| \leq \frac{1}{C\tilde{C}} \|\gamma_i(t) - \gamma_{i+1}(t)\|$$

onde  $r$  é o ponto sobre o segmento  $\overline{\gamma_{i+1}\gamma_i}(t)$  tal que  $\overline{qr}$  e  $\overline{\gamma_{i-1}\gamma_i}(t)$  são paralelas.

**Afirmção 7.1.4.** *Caso  $\overline{\gamma_{i-2}\gamma_{i-1}}$  seja superfície de aresta de  $X$  e  $tord(\gamma_{i-2}, \gamma_{i-1}) < tord(\gamma_{i-1}, \gamma_i)$ , existe  $\theta > 0$  suficientemente pequeno tal que  $\overline{\gamma_{i-2}\gamma_{i-1}}(t) \cap V_\theta(Y) = \{\gamma_{i-1}(t)\}$ , para  $t > 0$ .*

*Demonstração.* Suponha o contrário, isto é, para todo  $\theta > 0$ , existe  $t > 0$  suficientemente pequeno de modo que a semirreta  $s(t) = \overline{\gamma_{i-1}(t)\gamma_{i-2}(t)}$  seccione o quadrilátero  $\gamma_{i-1}(t)\gamma_+(t)\gamma_{i+1}(t)\gamma_-(t)$ . Como  $\angle\gamma_{i-2}\gamma_{i-1}\gamma_i > 0$ , podemos tomar  $\theta$  pequeno o bastante de modo que  $s(t)$  não secciona o triângulo  $\gamma_{i-1}(t)\gamma_+(t)\gamma(t)$ . Logo,  $s(t)$  secciona o quadrilátero  $\gamma_{i-1}(t)\gamma(t)\gamma_{i+1}(t)\gamma_-(t)$ , o que implica  $\angle\gamma_{i-2}\gamma_{i-1}\gamma_i \leq \pi - \theta_i$ .

*Caso 1:* Se  $\angle\gamma_{i-2}\gamma_{i-1}\gamma_i < \pi - \theta_i$ , então  $s(t)$  intersecta  $\overline{\gamma(t)\gamma_{i+1}(t)}$  num ponto  $\tilde{\gamma}(t)$ .

Considere o arco  $\tilde{\gamma} = \tilde{\gamma}(t)$ . Como:

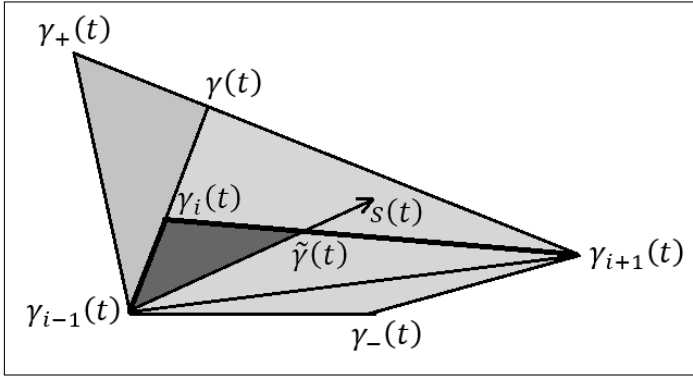
$$\angle\gamma_i(t)\tilde{\gamma}(t)\gamma_{i-1}(t) = \pi - \angle\gamma_{i-2}(t)\gamma_{i-1}(t)\gamma_i(t) - \theta_i > 0$$

temos:

$$\alpha_1 = tord(\gamma_{i-1}, \gamma_i) = tord(\gamma_i, \tilde{\gamma}) = tord(\tilde{\gamma}, \gamma_{i-1})$$

Assim,  $\tilde{\gamma}(t)$  é a interseção dos segmentos  $\overline{\gamma_{i-2}\gamma_{i-1}}(t)$  e  $\overline{\gamma_i\gamma_{i+1}}(t)$ , contradição com o fato de que  $X(t) \simeq [0, 1]$  ou  $X(t) \simeq \mathbb{S}^1$ .

Figura 28 – Demonstração da Afirmação 7.1.4, caso 1



Fonte: elaborado pelo autor.

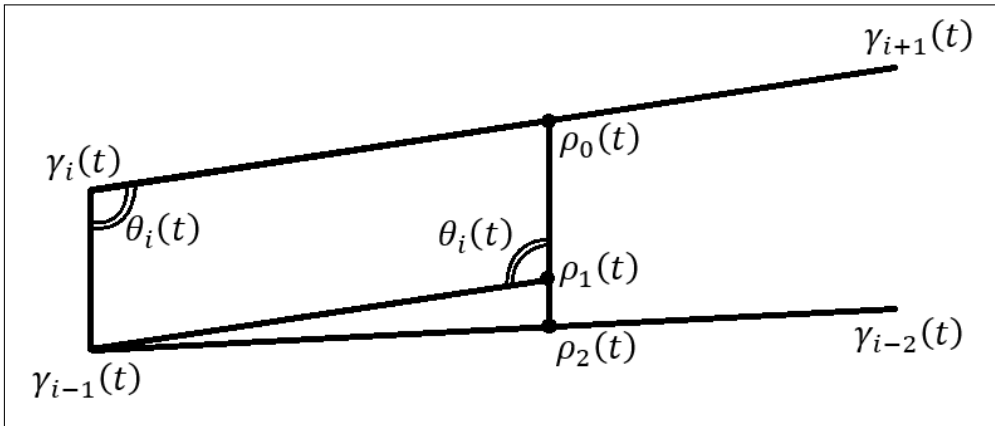
Caso 2: Se  $\angle \gamma_{i-2} \gamma_{i-1} \gamma_i = \pi - \theta_i$ , seja  $\alpha_0 \in \mathbb{Q}_{\geq 1}$  tal que:

$$\text{tord}(\gamma_{i-2}, \gamma_{i-1}), \text{tord}(\gamma_i, \gamma_{i+1}) < \alpha_0 < \alpha_1$$

e seja  $\rho_0(t) \in \overline{\gamma_i(t) \gamma_{i+1}(t)}$  tal que  $\|\gamma_i(t) - \rho_0(t)\| = t^{\alpha_0}$ . Sejam ainda  $\rho_1(t) \in C_a^3(t)$  tal que  $\gamma_{i-1}(t) \gamma_i(t) \rho_0(t) \rho_1(t)$  é um paralelogramo,  $\rho_2(t)$  a interseção das retas  $\overleftrightarrow{\rho_0(t) \rho_1(t)}$  e  $\overleftrightarrow{\gamma_{i-2}(t) \gamma_{i-1}(t)}$  e sejam os arcos  $\rho_k = \rho_k(t)$  ( $k = 0, 1, 2$ ). Como  $\angle \gamma_i \gamma_{i-1} \rho_1 = \pi - \theta_i = \angle \gamma_{i-2} \gamma_{i-1} \gamma_i = \angle \rho_2 \gamma_{i-1} \gamma_i$ , temos que  $\angle \rho_2 \gamma_{i-1} \rho_1 = 0$  e

$$\{\angle \rho_2 \rho_1 \gamma_{i-1}, \angle \rho_1 \rho_2 \gamma_{i-1}\} = \{\theta_i, \pi - \theta_i\} \neq \{0, \pi\}$$

Figura 29 – Demonstração da Afirmação 7.1.4, caso 2



Fonte: elaborado pelo autor.

Assim,  $\text{tord}(\gamma_{i-1}, \rho_2) = \text{tord}(\gamma_{i-1}, \rho_1) = \text{tord}(\gamma_i, \rho_0) = \alpha_0$ , donde  $d_{X(t)}(\rho_2(t), \rho_0(t))$

é:

$$\|\rho_2(t) - \gamma_{i-1}(t)\| + \|\gamma_{i-1}(t) - \gamma_i(t)\| + \|\gamma_i(t) - \rho_0(t)\| > \|\gamma_i(t) - \rho_0(t)\| = t^{\alpha_0}$$

Ademais, existe  $\alpha_1 \in \mathbb{Q}_{\geq 1}$ ,  $\alpha_1 > \alpha_0$ , tal que  $\text{tord}(\rho_2, \rho_1) = \alpha_1$ . Como  $\alpha = \text{tord}(\rho_0, \rho_1)$  e  $\rho_0(t), \rho_1(t), \rho_2(t)$  são colineares, segue que existe  $b > 0$  tal que  $\|\rho_2(t) - \rho_0(t)\| = b \cdot t^{\tilde{\alpha}} + o(t^{\tilde{\alpha}})$ ,

onde  $\tilde{\alpha} = \min\{\alpha, \alpha_1\} > \alpha_0$ . Portanto, existe  $0 < t < \left(\frac{1}{2b\tilde{C}}\right)^{\frac{1}{\tilde{\alpha}-\alpha_0}}$  tal que  $\|\rho_2(t) - \rho_0(t)\| < 2b.t^{\tilde{\alpha}}$ , e com isso:

$$\frac{\|\rho_2(t) - \rho_0(t)\|}{d_{X(t)}(\rho_2(t), \rho_0(t))} < \frac{2b.t^{\tilde{\alpha}}}{t^{\alpha_0}} = 2b.t^{\tilde{\alpha}-\alpha_0} < \frac{1}{\tilde{C}}$$

Uma contradição, visto que  $X(t)$  é  $C$ -LNE. Logo a afirmação está provada.  $\square$

De volta à demonstração do Lema, tome  $\theta > 0$  satisfazendo as condições supracitadas e a Afirmação 7.1.4, caso a hipótese (2) seja assumida. Demonstramos que  $V_\theta(Y)(t) \cap (X \setminus Y)(t) = \emptyset$ . Suponha o contrário e dividamos a análise em dois casos.

*Caso 1:* o ponto na interseção é  $p$  no triângulo  $\gamma_+(t)\gamma_{i-1}(t)\gamma(t)$ . Se a hipótese (1) for assumida, então:

$$d_{X(t)}(p, \gamma_i(t)) \geq \|\gamma_i(t) - \gamma_{i+1}(t)\| \geq \frac{1}{\tilde{C}} \|\gamma_i(t) - \gamma_{i+1}(t)\|$$

E se a hipótese (2) for assumida, então:

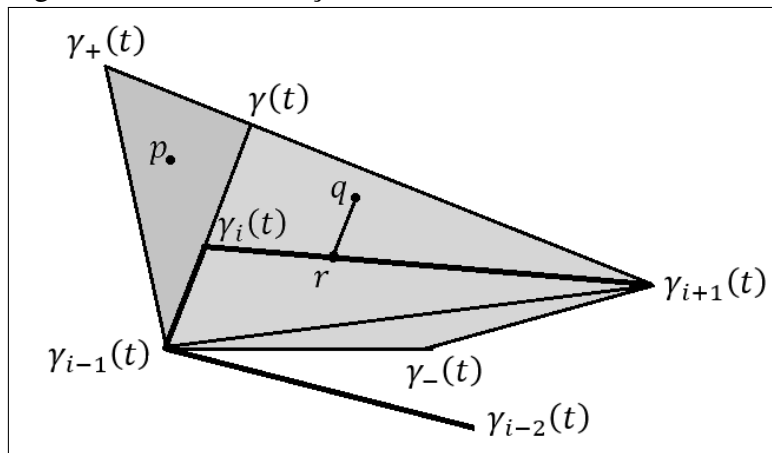
$$d_{X(t)}(p, \gamma_i(t)) \geq \min\{\|\gamma_i(t) - \gamma_{i+1}(t)\|, \|\gamma_{i-2}(t) - \gamma_{i-1}(t)\|\} \geq \frac{1}{\tilde{C}} \|\gamma_i(t) - \gamma_{i+1}(t)\|$$

De todo modo, temos:

$$\|p - \gamma_i(t)\| < \frac{1}{\tilde{C}\tilde{C}} \|\gamma_i(t) - \gamma_{i+1}(t)\| \leq \frac{1}{\tilde{C}} d_{X(t)}(p, \gamma_i(t))$$

uma contradição.

Figura 30 – Demonstração do Lema 7.1.3



Fonte: elaborado pelo autor.

*Caso 2:* o ponto na interseção é  $q$  no quadrilátero  $\gamma_{i-1}(t)\gamma(t)\gamma_{i+1}(t)\gamma_-(t)$ . Se a hipótese (1) for assumida, então:

$$d_{X(t)}(q, r) \geq \|\gamma_{i+1}(t) - r\| > C\|q - r\|$$

E se a hipótese (2) for assumida, então, como:

$$\|\gamma_{i-2}(t) - \gamma_{i-1}(t)\| \geq \frac{1}{\bar{C}}\|\gamma_i(t) - \gamma_{i+1}(t)\| \geq \frac{1}{\bar{C}}\|\gamma_{i+1}(t) - r\|$$

temos:

$$d_{X(t)}(q, r) \geq \min\{\|\gamma_{i+1}(t) - r\|, \|\gamma_{i-2}(t) - \gamma_{i-1}(t)\|\} \geq \frac{1}{\bar{C}}\|\gamma_{i+1}(t) - r\|$$

Assim:

$$\|q - r\| < \frac{1}{C\bar{C}}\|\gamma_{i+1}(t) - r\| \leq \frac{1}{C}d_{X(t)}(q, r)$$

uma contradição. O resultado segue pela Observação 6.2.3.  $\square$

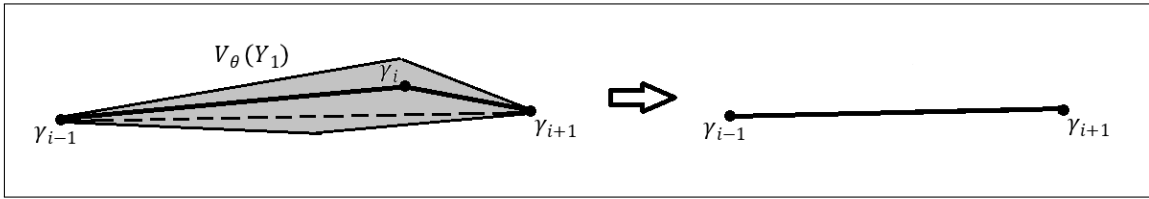
## 7.2 Reduções de arestas em superfícies poligonais

**Proposição 7.2.1.** *Sejam  $a > 0$ ,  $n \geq 3$  inteiro e seja  $(X, 0) \subset (C_a^3, 0)$  um germe de superfície LNE poligonal delimitada pelos arcos  $\gamma_1, \dots, \gamma_n$ .*

1. *Se  $(X, 0)$  é  $(n-1)$ -gonal aberta, então  $(X, 0)$  é bi-Lipschitz ambiente equivalente ao germe de superfície 1-gonal aberta delimitada por  $\gamma_1, \gamma_n$ .*
2. *Se  $(X, 0)$  é  $n$ -gonal fechada, então  $(X, 0)$  é bi-Lipschitz ambiente equivalente a um germe de uma superfície LNE 3-gonal fechada.*

*Demonstração.* A prova será por indução em  $n$  (no que segue, considere  $\gamma_0 = \gamma_n$  e  $\gamma_1 = \gamma_{n+1}$  no caso de  $X$  ser poligonal fechada). O caso inicial  $n = 3$  já foi analisado na Proposição 6.2.1. Para o passo indutivo, suponha primeiro que  $\angle\gamma_{i-1}\gamma_i\gamma_{i+1} = \pi$ , para algum  $i$ . Temos que  $\angle\gamma_i\gamma_{i-1}\gamma_{i+1} = \angle\gamma_i\gamma_{i+1}\gamma_{i-1} = 0$ , de modo que existe  $\theta > 0$  suficientemente pequeno tal que a  $\theta$ -envoltória de amassamento  $V_\delta(Y_1)$  de  $(Y_1, 0) = (\overline{\gamma_{i-1}\gamma_i} \cup \overline{\gamma_i\gamma_{i+1}}, 0)$  não intersecta  $(X \setminus Y_1, 0)$ , pelos mesmos argumentos da Proposição 6.2.5 (por uma rotação de eixos, se necessário,  $(Y_1, 0)$  pode ser visto como germe de triângulo sincronizado convexo de derivada  $\delta$ -limitada, para cada  $\delta > 0$ ). Portanto,  $(Y_1, 0)$  é amassável em  $V_\delta(Y_1)$  e assim  $(X, 0)$  é bi-Lipschitz ambiente equivalente à poligonal (aberta ou fechada) delimitada pelos arcos  $\gamma_1, \dots, \gamma_{i-1}, \gamma_{i+1}, \dots, \gamma_n$ , e o resultado segue por indução neste caso.

Figura 31 – Resolução do caso  $\gamma_{i-1}\gamma_i\gamma_{i+1} = \pi$  da Proposição 7.2.1



Fonte: elaborado pelo autor.

Suponha agora que  $\angle \gamma_{i-1}\gamma_i\gamma_{i+1} < \pi$  para todo  $i$  e defina  $\alpha_i = \text{tord}(\gamma_i, \gamma_{i+1})$ . Temos dois casos a considerar.

*Caso I:*  $\alpha_i = \alpha_j$ , para todos  $i \neq j$ . Seja  $\alpha$  o valor comum dos  $\alpha_i$  e separemos este caso em dois subcasos.

*Caso I.1:*  $X$  é poligonal não degenerada. Considere  $I \subseteq \binom{[n]}{2}$  um conjunto de pares de índices  $(i, j)$ ;  $1 \leq i < j \leq n$  tal que:

1.  $(1, 2), \dots, (n-1, n) \in I$ , se  $X$  é poligonal aberta, e  $(1, 2), \dots, (n-1, n), (1, n) \in I$ , se  $X$  é poligonal fechada.
2. para todo  $t > 0$  suficientemente pequeno,  $\cup_{\{i,j\} \in I} \overline{\gamma_i(t)\gamma_j(t)}$  é uma triangulação do fecho convexo determinado por  $\gamma_1(t), \dots, \gamma_n(t)$ .

Como  $X$  é poligonal não degenerada e como o tipo topológico de  $X(t)$  é invariante para  $t$  pequeno, pelo Teorema 2.1.20, tal conjunto de pares de índices sempre existe. Agora, suponha que as arestas  $\overline{\gamma_i\gamma_{i+1}}(t)$  no link  $X(t)$  são destacadas e que o fecho convexo determinado por  $\gamma_1(t), \dots, \gamma_n(t)$  seja um  $k$ -ágono, onde  $a$  de suas  $k$  arestas são destacadas. Por exemplo, na triangulação do diagrama esquerdo da Figura 28, as arestas destacadas são  $\overline{\gamma_1(t)\gamma_2(t)}$ ,  $\dots$ ,  $\overline{\gamma_5(t)\gamma_6(t)}$  e:

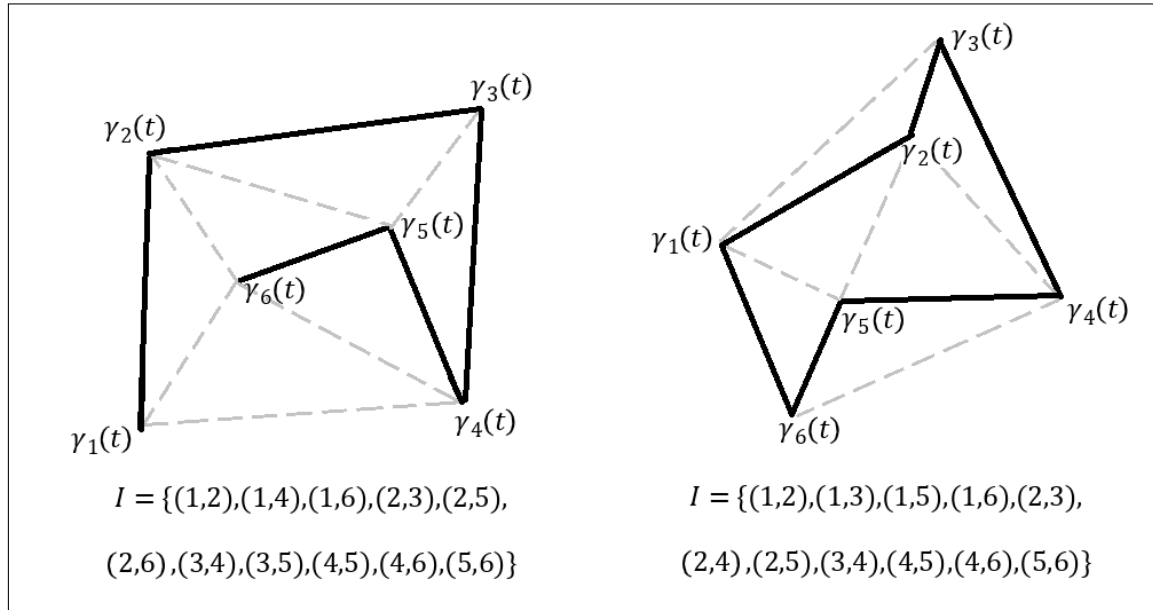
$$I = \{(1, 2), (1, 4), (1, 6), (2, 3), (2, 5), (2, 6), (3, 4), (3, 5), (4, 5), (4, 6), (5, 6)\}$$

Já na triangulação do diagrama direito da Figura 28, as arestas destacadas são  $\overline{\gamma_1(t)\gamma_2(t)}$ ,  $\dots$ ,  $\overline{\gamma_5(t)\gamma_6(t)}$ ,  $\overline{\gamma_6(t)\gamma_1(t)}$  e:

$$I = \{(1, 2), (1, 3), (1, 5), (1, 6), (2, 3), (2, 4), (2, 5), (3, 4), (4, 5), (4, 6), (5, 6)\}$$

Seja  $T$  o número de triângulos no interior desse fecho determinados pela triangulação. Calculando a soma dos ângulos internos de todos esses triângulos, temos um total de  $T \cdot \pi$ . Por outro lado, ao contar esse total olhando os ângulos no  $k$ -ágono do fecho e os ângulos ao redor de cada ponto interior, temos um total de  $(k-2) \cdot \pi + (n-k) \cdot 2\pi = (2n-k-2) \cdot \pi$ . Igualando tais quantidades, temos que o total de triângulos é  $T = 2n - k - 2$ .

Figura 32 – Exemplos de triangulações de links de superfícies poligonais



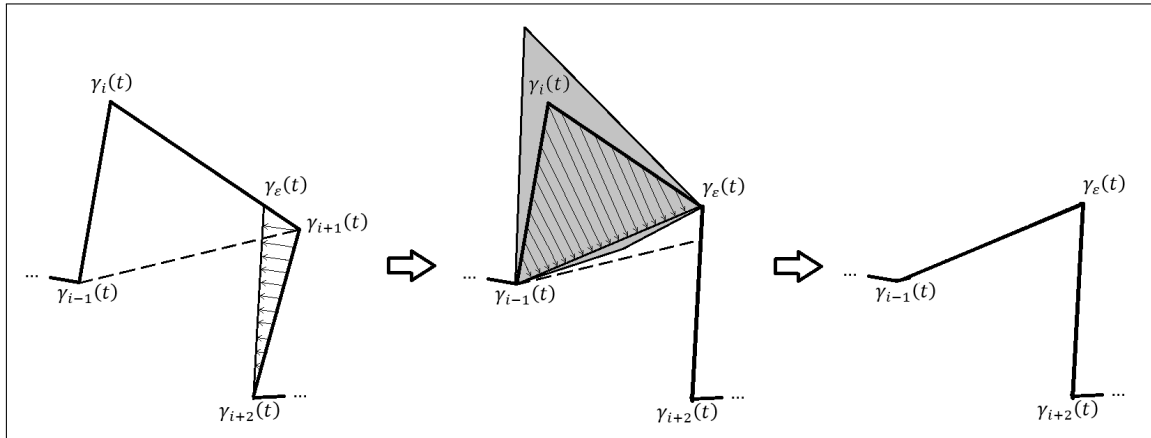
Fonte: elaborado pelo autor.

Afirmamos que existe um dentre esses  $2n - k - 2$  triângulos que possuem ao menos duas de suas três arestas destacadas. Suponha o contrário, ou seja, cada triângulo possui no máximo uma aresta destacada, e analisemos primeiro o caso  $X(t) \simeq [0, 1]$ . Contando o número de arestas destacadas em cada triângulo, temos no máximo  $T = 2n - k - 2$  arestas destacadas. Por outro lado, como há  $a$  arestas destacadas na borda do fecho convexo, existem  $n - 1 - a$  arestas destacadas no interior do fecho. Logo, como cada aresta do interior foi contada duas vezes e cada aresta na borda foi contada uma vez, o total das arestas de cada triângulo contabilizado é igual a  $2(n - 1 - a) + a = 2n - a - 2$ . Como  $a < k$ , temos  $2n - a - 2 > 2n - k - 2$ , contradição. No caso  $X(t) \simeq \mathbb{S}^1$ , o número máximo de arestas destacadas ainda é  $2n - k - 2$ , mas por outro lado esse total é  $2(n - a) + a = 2n - a$ , pois há  $n - a$  arestas destacadas no interior do fecho. Como  $a \leq k$ , temos  $2n - a > 2n - k - 2$ , de novo uma contradição. Portanto, a afirmação está provada.

Considere tal triângulo e suponha que as suas arestas destacadas sejam  $\overline{\gamma_{i-1}\gamma_i}, \overline{\gamma_i\gamma_{i+1}}$ . Se  $2 \leq i \leq n - 2$ , para cada  $\varepsilon > 0$ , seja  $\gamma_\varepsilon(t) \in \overline{\gamma_i(t)\gamma_{i+1}(t)}$  tal que  $\|\gamma_\varepsilon(t) - \gamma_{i+1}(t)\| = \varepsilon t^\alpha$  e seja o arco  $\gamma_\varepsilon = \gamma_\varepsilon(t)$  (note que  $(\gamma_\varepsilon, 0)$  está bem definida, para todo  $\varepsilon > 0$  suficientemente pequeno). Pelo Lema 7.1.2, existe  $\varepsilon$  de modo que  $(X, 0)$  é bi-Lipschitz ambiente equivalente à poligonal delimitada pelos arcos  $\gamma_1, \dots, \gamma_i, \gamma_\varepsilon, \gamma_{i+2}, \dots, \gamma_n$ . Como  $\angle \gamma_{i+1}\gamma_{i-1}\gamma_\varepsilon > 0$ , existe uma  $\theta$ -envoltória de amassamento  $V_\theta(Y_2)$  de  $Y_2 = \overline{\gamma_{i-1}\gamma_i} \cup \overline{\gamma_i\gamma_\varepsilon}$ , tal que  $V_\theta(Y_3)$  não intersecta nenhum ponto de  $(X \setminus Y_2, 0)$ , uma vez que o triângulo  $\gamma_{i-1}\gamma_\varepsilon\gamma_{i+1}(t)$  não tem pontos de  $X(t)$  em seu interior.

Logo,  $(Y_2, 0)$  é amassável em  $V_\theta(Y_2)$  e assim  $(X, 0)$  é bi-Lipschitz ambiente equivalente ao germe da poligonal delimitada pelos arcos  $\gamma_1, \dots, \gamma_{i-1}, \gamma_\varepsilon, \gamma_{i+2}, \dots, \gamma_n$ , e o resultado segue

Figura 33 – Resolução do caso 1.1 da Proposição 7.2.1



Fonte: elaborado pelo autor.

por hipótese de indução. Observe que tal argumento também funciona para  $i = n - 1$  no caso  $X(t) \simeq \mathbb{S}^1$  (basta renomear  $\gamma_1, \dots, \gamma_n$  como  $\gamma_n, \dots, \gamma_1$ , respectivamente), e no caso  $X(t) \simeq [0, 1]$ , tal argumento funciona também para  $i = n - 1, n$  (por uma renomeação similar).

*Caso 1.2:*  $X$  não é poligonal não degenerada. Neste caso, provemos que existe  $\tilde{X}$  poligonal não degenerada de mesmo número de vértices de  $X$  tal que  $(X, 0)$  é bi-Lipschitz ambiente equivalente a  $(\tilde{X}, 0)$  em  $(C_a^3, 0)$ . Realize o seguinte algoritmo, de modo sucessivo para  $i = 2, \dots, n - 1$ :

**Passo 1:** Escolha  $\varepsilon_1 > 0$  suficientemente pequeno de modo que, se  $\gamma(t) \in \overline{\gamma_{i-1}(t)\gamma_i(t)}$  é tal que  $\|\gamma(t) - \gamma_i(t)\| = \varepsilon_1 \cdot t^\alpha$  e  $\gamma = \gamma(t)$ , tenhamos  $\overrightarrow{\gamma\gamma_{i+1}} \neq \pm \overrightarrow{\gamma_j\gamma_k}$ , para todos  $j, k$  índices distintos em  $\{1, \dots, n\}$ , e  $(X, 0)$  é bi-Lipschitz ambiente equivalente ao germe da superfície poligonal (aberta ou fechada) LNE delimitada por  $\gamma_1, \dots, \gamma_{i-1}, \gamma, \gamma_{i+1}, \dots, \gamma_n$ . Tal  $\varepsilon_1$  existe, pelo Lema 7.1.2 e pelo fato de que  $\angle \gamma\gamma_{i+1}\gamma_i > 0$ .

**Passo 2:** A seguir, para cada  $t > 0$  pequeno e para todos os índices distintos  $j, k$  em  $\{1, \dots, n\}$ , seja  $\gamma_{k,l}(t)$  a interseção da reta  $\overleftarrow{\gamma_k(t)\gamma_l(t)}$  com a reta  $\overleftarrow{\gamma(t)\gamma_{i+1}(t)}$ . Tal interseção sempre existe, pois  $\overrightarrow{\gamma\gamma_{i+1}} \neq \pm \overrightarrow{\gamma_j\gamma_k}$ . Além disso, é possível ter ainda  $\gamma_{k,l}(t) = \gamma(t)$ . Defina os arcos  $\gamma_{j,k} = \gamma_{j,k}(t)$ . Para índices  $j, k$  tais  $(\gamma_{j,k}, 0) \neq (\gamma, 0)$ , existem  $a_{j,k} > 0$  e  $\alpha_{j,k} \in \mathbb{Q}_{\geq 1}$  tais que  $\|\gamma(t) - \gamma_{j,k}(t)\| = a_{j,k} \cdot t^{\alpha_{j,k}} + o(t^{\alpha_{j,k}})$ .

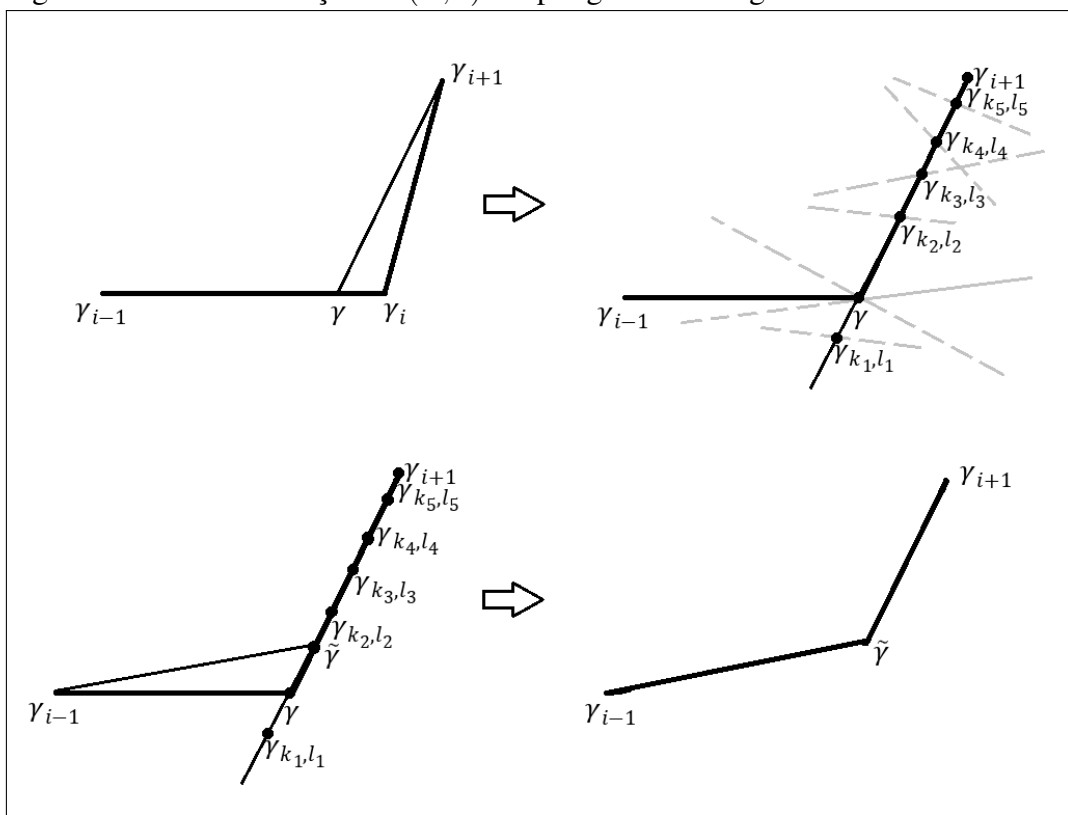
Escolha  $0 < \varepsilon_2 < a_{j,k}$  suficientemente pequeno de modo que, se  $\tilde{\gamma}(t) \in \overline{\gamma(t)\gamma_{i+1}(t)}$  é tal que  $\|\gamma(t) - \tilde{\gamma}(t)\| = \varepsilon_2 \cdot t^\alpha$  e  $\tilde{\gamma} = \tilde{\gamma}(t)$ , tenhamos  $\overrightarrow{\tilde{\gamma}\gamma_{i-1}} \neq \pm \overrightarrow{\gamma_j\gamma_k}$ , para todos  $j, k$  índices distintos em  $\{1, \dots, n\}$  e  $(X, 0)$  é bi-Lipschitz ambiente equivalente ao germe da superfície poligonal (aberta ou fechada) LNE delimitada por  $\gamma_1, \dots, \gamma_{i-1}, \tilde{\gamma}, \gamma_{i+1}, \dots, \gamma_n$ . Tal  $\varepsilon_2$  existe, pelo Lema 7.1.2 e pelo fato de que  $\angle \gamma\gamma_{i-1}\tilde{\gamma} > 0$ .

**Passo 3:** Rotule  $\tilde{\gamma}$  como  $\gamma_i$ . Se  $i < n - 1$ , realize o algoritmo para  $i + 1$ ; se  $i = n - 1$ ,



pare o algoritmo.

Figura 34 – Transformação de  $(X, 0)$  em poligonal não degenerada



Fonte: elaborado pelo autor.

Quando o algoritmo é aplicado em  $i$ ,  $\gamma_i$  é transformado num arco em que  $\gamma_i(t)$  não pertence a nenhuma reta conectando  $\gamma_j(t)$  a  $\gamma_k(t)$ , com  $j, k \neq i$  índices distintos em  $\{1, \dots, n\}$ . Como os arcos  $\gamma_1, \gamma_n$  permaneceram fixos,  $(X, 0)$  é bi-Lipschitz ambiente equivalente ao germe de uma superfície poligonal não degenerada  $(\tilde{X}, 0)$ , que compartilhe os arcos de fronteira  $(\gamma_1, 0), (\gamma_n, 0)$  com  $(X, 0)$ , finalizando a prova nesse caso, reduzindo-o ao caso 1.1.

*Caso 2:* Existem  $i, j$  tais que  $\alpha_i \neq \alpha_j$ . Dividiremos em mais subcasos.

*Caso 2.1:*  $X(t) \simeq [0, 1]$  e  $\alpha_1 > \alpha_2$ .

Pelo Lema 7.1.3, Afirmação (1),  $(X, 0)$  é bi-Lipschitz ambiente equivalente ao germe da poligonal delimitada pelos arcos  $\gamma_1, \gamma_3, \dots, \gamma_n$ , e o resultado segue por indução.

*Caso 2.2:*  $X(t) \simeq [0, 1]$  e  $\alpha_{n-1} > \alpha_{n-2}$ .

Esse caso é análogo ao Caso 2.1, bastando renomar  $\gamma_1, \dots, \gamma_n$  para  $\gamma_n, \dots, \gamma_1$ , respectivamente.

*Caso 2.3:*  $X(t) \simeq [0, 1]$  e  $\alpha_{n-1} \leq \alpha_{n-2}, \alpha_1 \leq \alpha_2$ .

Seja  $\alpha = \max\{\alpha_1, \dots, \alpha_{n-1}\}$  e considere índices  $1 \leq k_1 \leq k_2 \leq n-1$  tais que  $\alpha_{k_1} =$

$\dots = \alpha_{k_2} = \alpha$ ,  $\alpha_{k_1-1} < \alpha$  (caso  $k_1 > 1$ ) e que  $\alpha_{k_2+1} < \alpha$  (caso  $k_2 < n-1$ ). Seja  $C > 1$  tal que  $X(t)$  é  $C$ -LNE, para cada  $t > 0$  pequeno (Teorema 2.2.22). Como  $\alpha = \text{tord}(\gamma_{k_1}, \gamma_{k_1+1}) = \dots = \text{tord}(\gamma_{k_2}, \gamma_{k_2+1})$ , existe  $a_\alpha > 0$  tal que  $d_{X(t)}(\gamma_{k_1}(t), \gamma_{k_2+1}(t)) = a_\alpha \cdot t^\alpha + o(t^\alpha)$ . Agora, analisemos mais três subcasos.

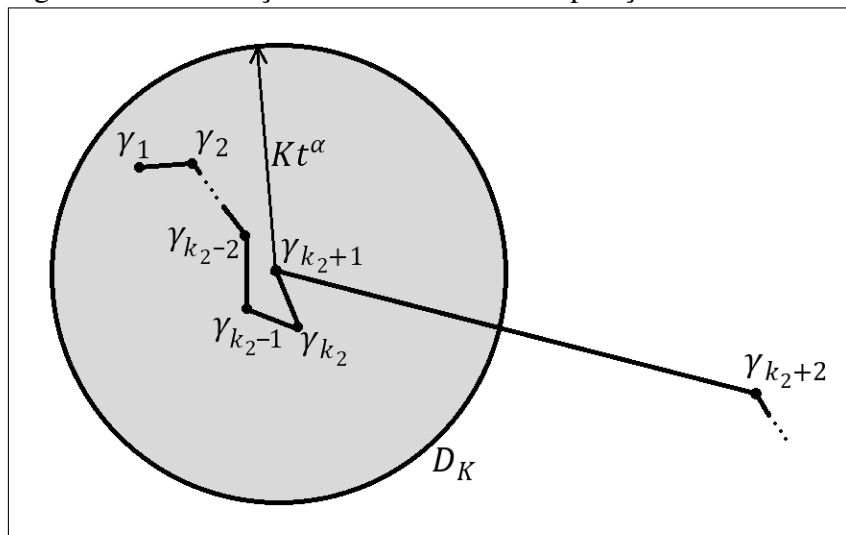
*Caso 2.3.1:  $k_1 = 1$ .*

Neste caso, como  $\alpha = \alpha_1 \leq \alpha_2$ , temos  $k_2 \geq 2$ , pela maximalidade de  $\alpha$  e  $k_2 < n-1$ , pois existe  $\alpha_i \neq \alpha_j$ . Para cada  $t > 0$  pequeno, seja  $\gamma(t) \in \overline{\gamma_{k_2+1}(t)\gamma_{k_2+2}(t)}$  tal que  $\|\gamma_{k_2+1}(t) - \gamma(t)\| = a_\alpha \cdot t^\alpha$ . Note que  $\gamma(t)$  está bem definida para todo  $t > 0$  suficientemente pequeno, uma vez que  $\alpha_{k_2+1} < \alpha_{k_2}$ . Defina também  $\gamma = \gamma(t)$ . Seja  $Y_3$  a superfície poligonal aberta delimitada por  $\gamma_1, \dots, \gamma_{k_2+1}, \gamma$ . Pelo Caso 1,  $(Y_3, 0)$  é bi-Lipschitz ambiente equivalente à poligonal aberta delimitada por  $\gamma_1, \gamma$ . Ademais, existe  $K > a_\alpha$  tal que, se:

$$D_K(t) = \{p \in C_a^3(t) \mid \|p - \gamma_{k_2+1}(t)\| \leq K \cdot t^\alpha\}$$

e  $D_k = \bigcup_{t>0} D_K(t) \cup \{0\}$ , então  $(D_K, 0)$  contém os germes das envoltórias de amassamento utilizadas para transformar  $(Y_3, 0)$  em  $(\overline{\gamma_1\gamma}, 0)$ .

Figura 35 – Resolução do caso 2.3.1 da Proposição 7.2.1



Fonte: elaborado pelo autor.

Suponha que  $k_2 < n - 2$  e que existe  $p \in (\overline{\gamma_{k_2+2}\gamma_{k_2+3}} \cup \dots \cup \overline{\gamma_{n-1}\gamma_n})(t)$  tal que  $p \in D_K(t)$ . Assim,  $\|p - \gamma_{k_2+1}(t)\| \leq K.t^\alpha$ , mas por outro lado:

$$d_{X(t)}(p, \gamma_{k_2+1}(t)) \geq \|\gamma_{k_2+1}(t) - \gamma_{k_2+2}(t)\| > C.K.t^\alpha$$

para  $t$  suficientemente pequeno, uma vez que  $tord(\gamma_{k_2+1}, \gamma_{k_2+2}) < \alpha$ . Isso é uma contradição, e portanto as envoltórias de amassamento utilizadas para transformar  $(Y_4, 0)$  em  $(\overline{\gamma_1\gamma}, 0)$  não intersectam  $((X \setminus Y_4, 0)$ , donde  $(X, 0)$  é bi-Lipschitz ambiente equivalente ao germe da superfície poligonal aberta delimitada por  $\gamma_1, \gamma, \gamma_{k_2+2}, \dots, \gamma_n$ , e o resultado segue por indução.

*Caso 2.3.2:  $k_2 = n - 1$ .*

Esse caso é análogo ao Caso 2.3.1, bastando renomar  $\gamma_1, \dots, \gamma_n$  para  $\gamma_n, \dots, \gamma_1$ , respectivamente.

*Caso 2.3.3:  $1 < k_1 \leq k_2 < n - 1$ .*

Suponha sem perda de generalidade  $\alpha_{k_1-1} \leq \alpha_{k_2+1}$  (caso contrário, renomeie  $\gamma_1, \dots, \gamma_n$  para  $\gamma_n, \dots, \gamma_1$ , respectivamente). Se  $k_1 = k_2$ , então pelo Lema 7.1.3, Afirmação (2),  $(X, 0)$  é bi-Lipschitz ambiente equivalente ao germe da poligonal aberta delimitada por  $\gamma_1, \dots, \gamma_{k_1}, \gamma_{k_1+2}, \dots, \gamma_n$  e o resultado segue por indução. Se  $k_1 < k_2$ , para cada  $t > 0$  pequeno, sejam  $\gamma(t) \in \overline{\gamma_{k_2+1}(t)\gamma_{k_2+2}(t)}$  e  $\tilde{\gamma}(t) \in \overline{\gamma_{k_1-1}(t)\gamma_{k_1}(t)}$  tais que:

$$\|\gamma_{k_2+1}(t) - \gamma(t)\| = \|\gamma_{k_1}(t) - \tilde{\gamma}(t)\| = a_\alpha.t^\alpha$$

Note que  $\gamma(t), \tilde{\gamma}(t)$  estão bem definidas para todo  $t > 0$  suficientemente pequeno, uma vez que  $\alpha_{k_2+1}, \alpha_{k_1-1} < \alpha$ . Defina também  $\gamma = \gamma(t), \tilde{\gamma} = \tilde{\gamma}(t)$ . Seja  $Y_4$  a poligonal aberta delimitada por  $\tilde{\gamma}, \gamma_{k_1}, \dots, \gamma_{k_2+1}, \gamma$ . Pelo Caso 1,  $(Y_4, 0)$  é bi-Lipschitz ambiente equivalente à poligonal aberta delimitada por  $\tilde{\gamma}, \gamma$ . Ademais, de modo análogo ao Caso 2.3.1, existe  $K > a_\alpha$  tal que  $(D_K, 0)$  contém os germes das envoltórias de amassamento utilizadas para transformar  $(Y_4, 0)$  em  $(\overline{\tilde{\gamma}, \gamma}, 0)$ .

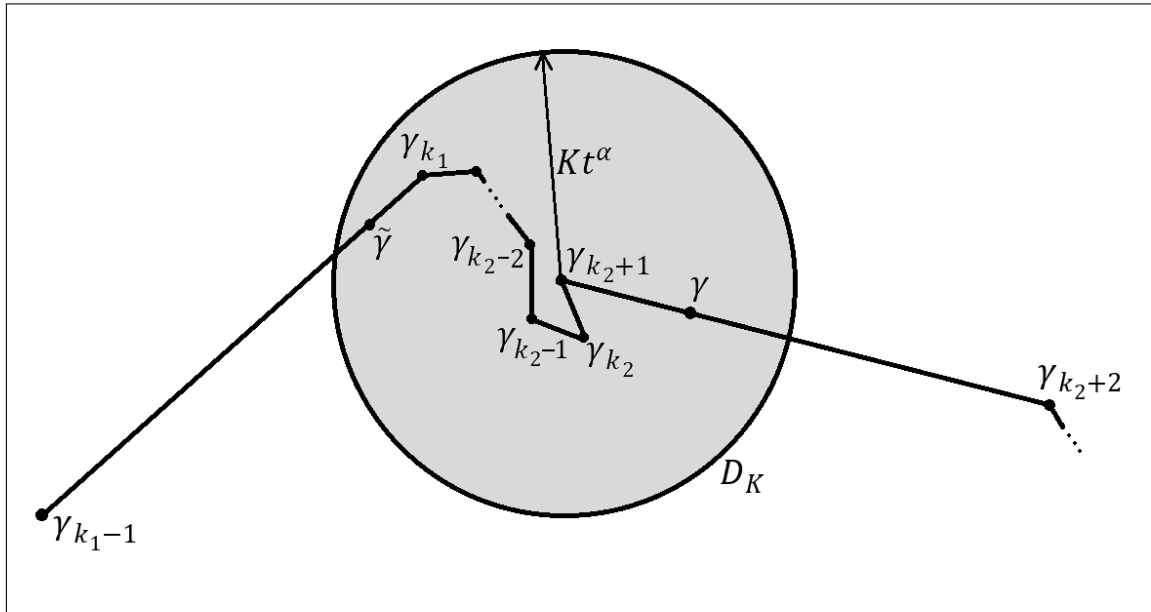
Suponha que existe  $p \in (X \setminus (\overline{\gamma_{k_1-1}\gamma_{k_1}} \cup \dots \cup \overline{\gamma_{k_2+1}\gamma_{k_2+2}}))(t)$  tal que  $p \in D_K(t)$ . Assim,  $\|p - \gamma_{k_2+1}(t)\| \leq K.t^\alpha$ . Por outro lado, para  $t$  suficientemente pequeno:

$$\|\gamma_{k_2+1}(t) - \gamma_{k_2+2}(t)\|, \|\gamma_{k_1-1}(t) - \gamma_{k_1}(t)\| > C.K.t^\alpha$$

Uma vez que  $tord(\gamma_{k_2+1}, \gamma_{k_2+2}), tord(\gamma_{k_1-1}, \gamma_{k_1}) < \alpha$ . Como o caminho de comprimento mínimo em  $X(t)$  conectando  $p$  a  $\gamma_{k_2+1}(t)$  contém o segmento  $\overline{\gamma_{k_1-1}\gamma_{k_1}}(t)$  ou o segmento  $\overline{\gamma_{k_2+1}\gamma_{k_2+2}}(t)$ , segue que:

$$d_{X(t)}(p, \gamma_{k_2+1}(t)) > C.K.t^\alpha \geq C.\|p - \gamma_{k_2+1}(t)\|$$

Figura 36 – Resolução do caso 2.3.3 da Proposição 7.2.1



Fonte: elaborado pelo autor.

Isso é uma contradição, e portanto as envoltórias de amassamento utilizadas para transformar  $(Y_4, 0)$  em  $(\overline{\gamma_1 \gamma}, 0)$  não intersectam  $(X \setminus Y_4, 0)$ , donde  $(X, 0)$  é bi-Lipschitz ambiente equivalente ao germe da superfície poligonal aberta delimitada por  $\gamma_1, \dots, \tilde{\gamma}, \gamma, \gamma_{k_2+2}, \dots, \gamma_n$ , e o resultado segue por indução.

*Caso 2.4:*  $X(t) \simeq \mathbb{S}^1$ .

Seja  $\alpha = \max\{\alpha_1, \dots, \alpha_n\}$  e  $\tilde{\alpha} = \min\{\alpha_1, \dots, \alpha_n\}$ . Temos que, para  $i = 1, \dots, n$ , existe  $a_i > 0$  tal que  $\|\gamma_i(t) - \gamma_{i+1}(t)\| = a_i t^{\alpha_i} + o(t^{\alpha_i})$ . Se  $j \in \{1, \dots, n\}$  é tal que  $\tilde{\alpha} = \alpha_j$ , então como:

$$\|\gamma_j(t) - \gamma_{j+1}(t)\| \geq \sum_{i \neq j} \|\gamma_i(t) - \gamma_{i+1}(t)\| \Rightarrow a_j t^{\tilde{\alpha}} + o(t^{\tilde{\alpha}}) \geq \sum_{i \neq j} (a_i t^{\alpha_i} + o(t^{\alpha_i}))$$

Segue que existe  $i \neq j$  tal que  $\alpha_i = \tilde{\alpha}$ . Se  $i = j + 1$ , então como  $\angle \gamma_j \gamma_{j+1} \gamma_{j+2} > 0$ , temos  $tord(\gamma_j, \gamma_{j+2}) = \tilde{\alpha}$  e portanto existe  $b > 0$  tal que  $\|\gamma_j(t) - \gamma_{j+2}(t)\| = b t^{\tilde{\alpha}} + o(t^{\tilde{\alpha}})$ . Como:

$$\|\gamma_j(t) - \gamma_{j+2}(t)\| \geq \sum_{i \neq j, j+1} \|\gamma_i(t) - \gamma_{i+1}(t)\| \Rightarrow b t^{\tilde{\alpha}} + o(t^{\tilde{\alpha}}) \geq \sum_{i \neq j, j+1} (a_i t^{\alpha_i} + o(t^{\alpha_i}))$$

Segue que existe  $i \neq \{j, j+1\}$  tal que  $\alpha_i = \tilde{\alpha}$ . Se  $i = j - 1$ , de modo análogo temos que existe  $i \neq \{j, j-1\}$  tal que  $\alpha_i = \tilde{\alpha}$ . Em todo caso, podemos considerar índices  $1 < k_1 \leq k_2 < n - 1$  tais que  $\alpha_{k_1} = \dots = \alpha_{k_2} = \alpha$ ,  $\alpha_{k_1-1} < \alpha$  e  $\alpha_{k_2+1} < \alpha$ , rotulando  $\gamma_1, \dots, \gamma_n$  como  $\gamma_{1+l}, \dots, \gamma_{n+l}$ , se necessário (índices módulo  $n$ ). O resto da demonstração é totalmente análogo ao que foi feito no Caso 2.3.3.

Como todos os casos foram contemplados, a prova está finalmente completa.  $\square$

### 7.3 Resultado principal

**Teorema 7.3.1.** *Seja  $(X, 0) \subset (\mathbb{R}^3, 0)$  um germe de superfície semialgébrica normalmente mergulhado.*

1. *Se o link de  $X$  é homeomorfo a  $[0, 1]$ , então  $(X, 0)$  é bi-Lipschitz ambiente equivalente ao germe de um  $\alpha$ -triângulo de Hölder padrão mergulhado em  $\mathbb{R}^3$ , com vértice principal na origem, para algum racional  $\alpha \geq 1$ .*
2. *Se o link de  $X$  é homeomorfo a  $\mathbb{S}^1$ , então  $(X, 0)$  é bi-Lipschitz ambiente equivalente ao germe da  $\beta$ -corneta padrão  $(H_\beta, 0)$ , para algum racional  $\beta \geq 1$ .*

*Demonstração.* Pela Proposição 3.1.3, é suficiente demonstrar equivalência bi-Lipschitz ambiente para  $X \subset C_a^3$ ,  $a > 0$ . Da Proposição 6.2.5,  $(X, 0)$  é bi-Lipschitz ambiente equivalente a uma superfície poligonal (aberta ou fechada) LNE em  $(C_a^3, 0)$ .

- Se  $X(t) \simeq [0, 1]$ , pela Proposição 7.2.1,  $(X, 0)$  é bi-Lipschitz ambiente equivalente ao germe de uma superfície 1-gonal aberta, e pela Proposição 5.2.3,  $(X, 0)$  é bi-Lipschitz ambiente equivalente ao germe de um  $\alpha$ -triângulo de Hölder padrão mergulhado em  $\mathbb{R}^3$ , com vértice principal na origem, para algum racional  $\alpha \geq 1$ .
- Se  $X(t) \simeq \mathbb{S}^1$ , pela Proposição 7.2.1,  $(X, 0)$  é bi-Lipschitz ambiente equivalente ao germe de uma superfície 3-gonal fechada, e pela Proposição 6.2.4,  $(X, 0)$  é bi-Lipschitz ambiente equivalente ao germe da  $\beta$ -corneta padrão  $(H_\beta, 0)$ , para algum racional  $\beta \geq 1$ .

□

**Corolário 7.3.2.** *Seja  $(X, 0) \subset (\mathbb{R}^3, 0)$  germe de superfície semialgébrica fechada. Assuma que  $X$  é LNE, tem singularidade isolada na origem e link conexo. Se  $(X, 0)$  é bi-Lipschitz exterior equivalente a  $(Y, 0)$ , então  $(X, 0)$  e  $(Y, 0)$  são ambiente bi-Lipschitz equivalentes.*

## 8 CONCLUSÕES E TRABALHOS FUTUROS

Nesta tese demonstramos que a classificação de superfícies semialgébricas normalmente mergulhadas em  $\mathbb{R}^3$  com link simples (isto é, homeomorfa a um círculo ou a um segmento) é determinada pelo tipo topológico de seu link. Para provar tal resultado, estabelecemos as definições de triângulos sincronizados no Capítulo 4, de isotopia bi-Lipschitz ambiente no Capítulo 5, reduzimos a análise do problema a superfícies formada por triângulos sincronizados lineares no Capítulo 6, e usamos triangulações de link para reduzir o número desses triângulos e aplicar indução.

Os conceitos e ferramentas desenvolvidos nos Capítulos 4, 5 e 6 podem ser generalizados facilmente para englobar germes de triângulos sincronizados em  $C_a^{n+1}$ , para  $n > 2$ , ao introduzir  $n$ -uplas de famílias de funções geradoras. Entretanto, a redução do número de lados de uma superfície poligonal não pode ser realizada usando a técnica de triangulação do link vista no Capítulo 7. De fato, existem superfícies LNE em  $C_a^4$  que são bi-Lipschitz exterior equivalentes, mas não são ambiente bi-Lipschitz equivalentes! Um exemplo, baseado nas observações do Prof. Dr. Edson Sampaio, é a seguinte superfície em  $C_{2023}^4$  cujo link é homeomorfo a um nó de trevo, visto que em toda triangulação dele sempre há arestas desse link que intersectam cada uma das faces. Mais precisamente, para cada  $t > 0$ , considere os pontos:

$$A_1(t) = (5t\sqrt{3}, 3t, 3t, t); A_2(t) = (-4t\sqrt{3}, 6t, 3t, t); A_3(t) = (-t\sqrt{3}, -9t, 3t, t)$$

$$B_1(t) = (-4t\sqrt{3}, -6t, -3t, t); B_2(t) = (5t\sqrt{3}, -3t, -3t, t); B_3(t) = (-t\sqrt{3}, 9t, -3t, t)$$

Considere também:

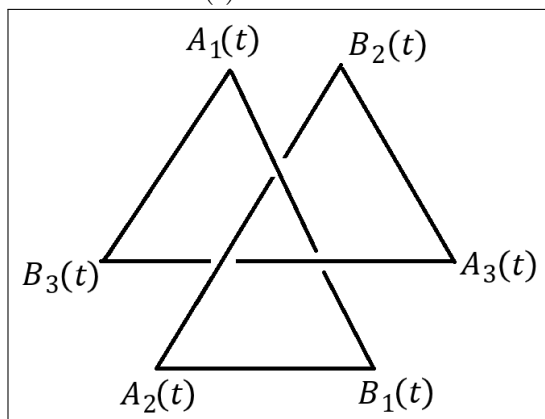
$$X(t) = \overline{A_1(t)B_1(t)} \cup \overline{B_1(t)A_2(t)} \cup \overline{A_2(t)B_2(t)} \cup \overline{B_2(t)A_3(t)} \cup \overline{A_3(t)B_3(t)} \cup \overline{B_3(t)A_1(t)}$$

Finalmente, defina  $X = (\cup_{t>0} X(t)) \cup \{0\}$ . Não é difícil ver que  $X$  possui link plano conexo, homeomorfo a  $\mathbb{S}^1$  e normalmente mergulhado, donde  $(X, 0)$  é LNE, pelo Teorema 2.2.22. Ademais, pelo Teorema 2.3.24,  $(X, 0)$  é bi-Lipschitz intrínseca equivalente a  $(H_\beta, 0)$ , para algum  $\beta \geq 1$  racional. Como o cone tangente de  $X$  na origem é  $X$ , ele não tem densidade 0 na origem, donde  $\beta = 1$ . Segue, do mergulho normal, que  $(X, 0)$  é bi-Lipschitz exterior equivalente ao germe na origem de:

$$\{(x, y, 0, t) \in \mathbb{R}^4 \mid t \geq 0; x^2 + y^2 = t^2\}$$

Entretanto, tais germes de superfícies não são ambiente bi-Lipschitz equivalentes, pois não são ambiente topologicamente equivalentes, já que o link de  $X$  é um nó não trivial.

Figura 37 – Representação Gráfica de  $X(t)$



Fonte: elaborado pelo autor.

Tal exemplo mostra que obstruções topológicas são obstáculos ao uso da técnica de triangulação, e que eles são parte importante numa eventual estrutura canônica da classificação Lipschitz ambiente dos germes de superfícies. Por outro lado, a rigidez de curvas complexas subanalíticas em  $\mathbb{C}^2$ , quando vistas como superfícies planas em  $\mathbb{R}^4$  mediante a projeção canônica, ou as variedades determinantis, (veja, por exemplo, (KERNER *et al.*, 2018)) podem ser casos particulares valiosos que revelem alguma técnica inovadora que permita resolver o problema em dimensões maiores.

A extensão da classificação bi-Lipschitz ambiente de superfícies em  $\mathbb{R}^3$  com link isomorfo a um grafo em geral não foi discutido nesta tese, mas o autor acredita que uma possível demonstração envolve a aplicação direta do caso particular visto aqui, com alguns possíveis lemas técnicos, nos moldes do Capítulo 3, que visam “colar” aplicações bi-Lipschitz, com a finalidade de estender a aplicação para mais de uma aresta ou face do respectivo complexo de Hölder geométrico.

Outra observação bastante interessante é a seguinte: ao demonstrar o teorema principal, na verdade construímos uma isotopia de aplicações bi-Lipschitz ambiente que levam os germes de superfícies normalmente mergulhadas em cornetas ou triângulos de Hölder, o que é muito mais geral do que o problema proposto originalmente. Isso suscita uma quarta equivalência bi-Lipschitz relacionada a isotopia ambiente. De modo mais preciso, dizemos que dois conjuntos  $X, Y \in \mathbb{R}^n$  são bi-Lipschitz ambiente isotópicos se existe uma aplicação contínua  $\varphi : \mathbb{R}^n \times [0, 1] \rightarrow \mathbb{R}^n$  tal que, denotando  $\varphi_\tau(p) = \varphi(p, \tau)$ , cada aplicação  $\varphi_\tau : \mathbb{R}^n \rightarrow \mathbb{R}^n$  é bi-

Lipschitz,  $\varphi_0 = id_{\mathbb{R}^n}$  e  $\varphi_1(X) = Y$ . Uma questão natural é saber sob que condições equivalência bi-Lipschitz ambiente implica isotopia bi-Lipschitz ambiente, e a análise desse problema pode representar um grande avanço na conexão entre geometria Lipschitz e teoria dos nós, visto que no caso normalmente mergulhado estudado nessa tese, tais equivalências geram a mesma classificação.

Por fim, convém notar que as regiões delimitadas por triângulos sincronizados foram cruciais para a resolução do problema de classificação bi-Lipschitz ambiente de superfícies normalmente mergulhadas, uma vez que é sempre possível decompor convenientemente o ambiente em tais objetos, que são as envoltórias de suporte dos triângulos amassáveis. Para superfícies não normalmente mergulhadas, entretanto, tal decomposição com envoltórias de suporte não existem. Porém, o autor acredita existir um conceito análogo ao dessas envoltórias onde o lema de isotopia bi-Lipschitz ainda pode ser utilizado e onde possamos decompor a superfície num número finito dessas regiões, determinando assim um teorema de finitude para a classificação bi-Lipschitz ambiente em superfícies semialgébricas em  $\mathbb{R}^3$ . A homologia moderadamente descontínua, descrita em (BOBADILLA *et al.*, 2022), mostra-se uma ferramenta extremamente promissora nesse sentido.



## REFERÊNCIAS

- BIRBRAIR, L. Local bi-lipschitz classification of 2-dimensional semialgebraic sets. **Houston Journal of Mathematics**, v. 25, p. 20, 1999.
- BIRBRAIR, L.; BRANDENBURSKY, M.; GABRIELOV, A. Lipschitz geometry of surface germs in  $\mathbb{R}^4$ : metric knots. **Selecta Mathematica**, v. 29, n. 3, p. 43, 2023.
- BIRBRAIR, L.; COSTA, J.; FERNANDES, A.; RUAS, M. K-bi-lipschitz equivalence of real function-germs. **Proceedings of the American Mathematical Society**, v. 135, n. 4, p. 1089–1095, 2007.
- BIRBRAIR, L.; FERNANDES, A.; GABRIELOV, A.; GRANDJEAN, V. Lipschitz contact equivalence of function germs in  $\mathbb{R}^2$ . **Annali della Scuola normale superiore di Pisa: classe di scienze**, v. 18, p. 81–92, 2017.
- BIRBRAIR, L.; FERNANDES, A.; JELONEK, Z. On the extension of bi-lipschitz mappings. **Selecta Mathematica**, v. 27, n. 2, p. 15, 2021.
- BIRBRAIR, L.; GABRIELOV, A. Ambient lipschitz equivalence of real surface singularities. **International Mathematics Research Notices**, v. 2019, n. 20, p. 6347–6361, 2019.
- BIRBRAIR, L.; GABRIELOV, A. Surface singularities in  $\mathbb{R}^4$ : first steps towards lipschitz knot theory. *In*: NEUMANN, W.; PICHON, A. (ed.). **Introduction to Lipschitz geometry of singularities**. lecture notes of the International School on Singularity Theory and Lipschitz Geometry, Cuernavaca, June 2018: Springer, 2020, (Lecture Notes in Mathematics, 2280). p. 157–166.
- BIRBRAIR, L.; MENDES, R. Arc criterion of normal embedding. *In*: SANTOS, R. N. A. d. *et al.* (ed.). **Singularities and foliations**. geometry, topology and applications: BMMS 2/NBMS 3, Salvador, Brazil, 2015: Springer, 2018, (Springer Proceedings in Mathematics & Statistics, 222). p. 549–553.
- BIRBRAIR, L.; MOSTOWSKI, T. Normal embeddings of semialgebraic sets. **Michigan Mathematical Journal**, v. 47, n. 1, p. 125–132, 2000.
- BIRBRAIR, L.; SOBOLEVSKY, M. Normal embeddings of semialgebraic sets. **Annales de la Faculté des sciences de Toulouse: Mathématiques**, v. 8, n. 1, p. 35–44, 1999.
- BOBADILLA, J. F. D.; HEINZE, S.; PEREIRA, M. P.; SAMPAIO, J. E. Moderately discontinuous homology. **Communications on Pure and Applied Mathematics**, v. 75, n. 10, p. 2123–2200, 2022.
- COSTE, M. **An introduction to o-minimal geometry**. [S.l.]: Istituti editoriali e poligrafici internazionali Pisa, 2000.
- COSTE, M. **An introduction to semialgebraic geometry**. [S.l.]: Istituti editoriali e poligrafici internazionali Pisa, 2000.
- DAHLEH, M.; DAHLEH, M. A.; VERGHESE, G. Lectures on dynamic systems and control. **A+ A**, v. 4, n. 100, p. 1–100, 2004.
- DRIES, I. van den. **Tame topology and o-minimal structures**. [S.l.]: Cambridge university press, 1998. v. 248.

FERNANDES, A. Topological equivalence of complex curves and bi-lipschitz maps. **Michigan Mathematical Journal**, v. 51, n. 3, p. 593–606, 2003.

FERNANDES, A.; SAMPAIO, J. E.; SILVA, J. P. Hölder equivalence of complex analytic curve singularities. **Bulletin of the London Mathematical Society**, v. 50, n. 5, p. 874–886, 2018.

KERNER, D.; PEDERSEN, H. M.; RUAS, M. A. Lipschitz normal embeddings in the space of matrices. **Mathematische Zeitschrift**, v. 290, n. 1-2, p. 485–507, 2018.

KURDYKA, K. On a subanalytic stratification satisfying a Whitney property with exponent 1. In: COSTE, M.; MAHÉ, L.; ROY, M.-F. (ed.). **Real algebraic geometry**. proceedings of the conference held in Rennes, France, June 24-28, 1991: Berlin: Springer-Verlag, 1992. (Lecture Notes in Mathematics, 1524), p. 316–322.

KURDYKA, K.; ORRO, P. Distance géodésique sur un sous-analytique. **Rev. Mat. Univ. Complut. Madrid**, v. 10, n. Special Issue, suppl., p. 173–182, 1997.

LEE, J. **Introduction to topological manifolds**. [S.l.]: Springer Science & Business Media, 2010. v. 202.

LOJASIEWICZ, S. Triangulation of semi-analytic sets. **Annali della Scuola normale superiore di Pisa: classe di scienze**, v. 18, n. 4, p. 449–474, 1964.

MENDES, R.; SAMPAIO, J. E. On link of Lipschitz normally embedded sets. **arXiv preprint arXiv:2101.05572**, 2021. Disponível em: <https://arxiv.org/abs/2101.05572>. Acesso em: 03/12/2022.

MOSTOWSKI, T. Lipschitz equisingularity. **Warszawa: instytut matematyczny polskiej akademii**, 1985.

NEUMANN, W.; PICHON, A. Lipschitz geometry of complex curves. **Journal of Singularities**, v. 10, p. 225–234, 2014.

NEYMAN, A. Real algebraic tools in stochastic games. **Stochastic Games and Applications**, NATO Science Series C: Mathematical and Physical Sciences, v. 570, p. 57–75, 2003.

PARUSIŃSKI, A. Lipschitz stratification of subanalytic sets. **Annales scientifiques de l'École normale supérieure**, v. 27, n. 6, p. 661–696, 1994.

PHAM, F.; TEISSIER, B. Fractions lipschitziennes d'une algèbre analytique complexe et saturation de Zariski, par Frédéric Pham et Bernard Teissier. **HAL**, v. 1969, 1969.

SAMPAIO, J. E. Bi-lipschitz homeomorphic subanalytic sets have bi-lipschitz homeomorphic tangent cones. **Selecta Mathematica**, v. 22, p. 553–559, 2016.

SHIOTA, M. Geometry of subanalytic and semialgebraic sets. **Real Analytic and Algebraic Geometry**, p. 251, 1997.

VALETTE, G. The link of the germ of a semi-algebraic metric space. **Proceedings of the American Mathematical Society**, v. 135, n. 10, p. 3083–3090, 2007.